

UNIVERSIDAD DE SANTIAGO DE CHILE
FACULTAD DE INGENIERÍA
Departamento de Ingeniería Informática



Modelo elástico para sistemas de procesamiento de *stream* de eventos en tiempo real

Daniel Pedro Pablo Wladdimiro Cottet

Profesor guía: Nicolás Hidalgo Castillo

Profesora co-guía: Erika Rosas Olivos

Tesis de grado presentada en
conformidad a los requisitos
para obtener el grado de Magíster
en Ingeniería Informática

Santiago – Chile

2015

© **Daniel Pedro Pablo Wladdimiro Cottet** - 2015



• Algunos derechos reservados. Esta obra está bajo una Licencia Creative Commons Atribución-Chile 3.0. Sus condiciones de uso pueden ser revisadas en:
<http://creativecommons.org/licenses/by/3.0/cl/>.

*Gracias a la vida que me ha dado tanto.
Me ha dado la risa y me ha dado el llanto.
Así yo distingo dicha de quebranto,
los dos materiales que forman mi canto
y el canto de ustedes que es el mismo canto,
y el canto de todos, que es mi propio canto.*

AGRADECIMIENTOS

Agradezco a

TABLA DE CONTENIDO

| | |
|---|-------------|
| Índice de tablas | ix |
| Índice de ilustraciones | xiii |
| Índice de algoritmos | xv |
| Resumen | xvii |
| Abstract | xix |
| 1 Introducción | 1 |
| 1.1 Antecedentes y motivación | 1 |
| 1.2 Descripción del problema | 3 |
| 1.3 Solución propuesta | 4 |
| 1.4 Objetivos y alcance del proyecto | 5 |
| 1.4.1 Objetivo general | 5 |
| 1.4.2 Objetivos específicos | 5 |
| 1.4.3 Alcances | 5 |
| 1.5 Metodología y herramientas utilizadas | 6 |
| 1.5.1 Metodología | 6 |
| 1.5.2 Herramientas de desarrollo | 7 |
| 1.6 Organización del documento | 7 |
| 2 Marco Teórico | 9 |
| 2.1 Streaming | 9 |
| 2.2 Stream processing | 10 |
| 2.3 Sistemas de procesamiento de stream | 11 |
| 2.3.1 Simple Scalable Streaming System (S4) | 15 |
| 2.3.2 Storm | 15 |
| 2.4 Elasticidad | 16 |
| 2.5 Procesos estocásticos | 17 |
| 2.5.1 Cadena de Markov | 18 |
| 2.5.2 Trabajo relacionado | 21 |
| 2.6 Teoría de colas | 22 |
| 3 Balance de carga en SPS | 25 |
| 3.1 Perspectivas de balance de carga | 25 |
| 3.1.1 Recursos físicos | 25 |
| 3.1.2 Recursos lógicos | 26 |
| 3.1.3 Enfoque estático | 26 |
| 3.1.4 Enfoque dinámico | 28 |
| 3.2 Técnicas de balance de carga | 29 |
| 3.2.1 Planificación determinista | 29 |
| 3.2.2 Load Shedding | 30 |
| 3.2.3 Migración | 31 |
| 3.2.4 Fisión | 32 |
| 4 Diseño del modelo elástico | 35 |
| 4.1 Análisis del modelo elástico | 35 |
| 4.2 Recolección de los datos | 39 |
| 4.3 Algoritmo reactivo | 40 |
| 4.4 Algoritmo predictivo | 41 |

| | | |
|----------|--|------------|
| 4.5 | Administración del sistema | 45 |
| 5 | Experimentos y evaluación | 47 |
| 5.1 | Implementación del sistema | 47 |
| 5.2 | Diseño de los experimentos | 49 |
| 5.2.1 | Aplicación 1: Análisis de <i>tweets</i> en escenarios de desastres naturales | 51 |
| 5.2.2 | Aplicación 2: Contador de palabras en muestras de textos | 53 |
| 5.2.3 | Aplicación 3: Aplicación sintética | 54 |
| 5.3 | Evaluación | 55 |
| 5.3.1 | Aplicación 1: Análisis de <i>tweets</i> en escenarios de desastres naturales | 55 |
| 5.3.2 | Aplicación 2: Contador de palabras en muestras de textos | 64 |
| 5.3.3 | Aplicación 3: Aplicación sintética | 76 |
| 6 | Conclusiones | 87 |
| 6.1 | Detalles de la contribución | 87 |
| 6.2 | Discusiones | 88 |
| 6.3 | Trabajo futuro | 90 |
| | Bibliografía | 96 |
| | Anexos | 96 |
| A | Conformación de matriz de transición | 97 |
| B | Clases para la implementación del sistema de monitoreo | 99 |
| C | Modificaciones al código fuente de S4 | 103 |
| D | Configuración para la comunicación de S4 | 105 |

ÍNDICE DE TABLAS

| | | |
|-----------|--|-----|
| Tabla 5.1 | Período de tiempo que duerme la hebra asignada al PE. | 54 |
| Tabla D.1 | Parámetros de la configuración para la comunicación de S4. | 105 |

ÍNDICE DE ILUSTRACIONES

| | | |
|-------------|--|----|
| Figura 2.1 | Flujo de datos entre el servidor y los clientes. | 9 |
| Figura 2.2 | Ejemplo de modelo de SPS. | 12 |
| Figura 2.3 | Modelo push de procesamiento. | 14 |
| Figura 2.4 | Modelo pull de procesamiento. | 15 |
| Figura 2.5 | Elasticidad en un SPS. | 17 |
| Figura 2.6 | Proceso de Markov. | 19 |
| Figura 2.7 | Cadena de Markov. | 19 |
| Figura 2.8 | Ejemplo de cadena de Markov. | 20 |
| Figura 2.9 | Ejemplo de un sistema basado en teoría de colas. | 23 |
| Figura 3.1 | Load shedding en un SPS. | 31 |
| Figura 3.2 | Técnica de migración en un SPS. | 32 |
| Figura 3.3 | Técnica de fisión en un SPS. | 33 |
| Figura 3.4 | Ejemplo de replicación de los operadores (Fernandez et al., 2013). | 34 |
| Figura 4.1 | Ejemplo de replicación del modelo propuesto. | 36 |
| Figura 4.2 | Enfoque de un SPS con conceptos de teoría de colas. | 37 |
| Figura 4.3 | Estructura del modelo elástico. | 39 |
| Figura 4.4 | Comportamiento de la tasa de procesamiento de un operador. | 42 |
| Figura 4.5 | Cadena de Markov dado el modelo propuesto del sistema. | 43 |
| Figura 5.1 | Distribución de la carga entre las réplicas. | 50 |
| Figura 5.2 | Aplicación 1. | 52 |
| Figura 5.3 | Aplicación 2. | 54 |
| Figura 5.4 | Aplicación 3. | 55 |
| Figura 5.5 | Estadísticas del PE Stopword en la primera aplicación con un envío constante de la fuente de datos con uso del monitor. | 58 |
| Figura 5.6 | Estadísticas del PE Stopword en la primera aplicación con un envío constante de la fuente de datos sin uso del monitor. | 58 |
| Figura 5.7 | Estadísticas del PE Language en la primera aplicación con un envío constante de la fuente de datos con uso del monitor. | 59 |
| Figura 5.8 | Estadísticas del PE Language en la primera aplicación con un envío constante de la fuente de datos sin uso del monitor. | 59 |
| Figura 5.9 | Estadísticas del PE Counter en la primera aplicación con un envío constante de la fuente de datos con uso del monitor. | 60 |
| Figura 5.10 | Estadísticas del PE Counter en la primera aplicación con un envío constante de la fuente de datos sin uso del monitor. | 60 |
| Figura 5.11 | Estadísticas del PE Mongo en la primera aplicación con un envío constante de la fuente de datos con uso del monitor. | 61 |
| Figura 5.12 | Estadísticas del PE Mongo en la primera aplicación con un envío constante de la fuente de datos sin uso del monitor. | 61 |
| Figura 5.13 | Tiempo promedio de procesamiento de un evento en la primera aplicación con un envío constante de la fuente de datos usando monitor. | 62 |
| Figura 5.14 | Tiempo promedio de procesamiento de un evento en la primera aplicación con un envío constante de la fuente de datos no usando monitor. | 62 |
| Figura 5.15 | Cantidad total de eventos procesados en la primera aplicación con un envío constante de la fuente de datos usando monitor. | 62 |
| Figura 5.16 | Cantidad total de eventos procesados en la primera aplicación con un envío constante de la fuente de datos no usando monitor. | 62 |
| Figura 5.17 | Estadísticas del PE Stopword en la primera aplicación con un envío variable de la fuente de datos con uso del monitor. | 65 |

| | |
|---|----|
| Figura 5.18 Estadísticas del PE Stopword en la primera aplicación con un envío variable de la fuente de datos sin uso del monitor. | 65 |
| Figura 5.19 Estadísticas del PE Language en la primera aplicación con un envío variable de la fuente de datos con uso del monitor. | 66 |
| Figura 5.20 Estadísticas del PE Language en la primera aplicación con un envío variable de la fuente de datos sin uso del monitor. | 66 |
| Figura 5.21 Estadísticas del PE Counter en la primera aplicación con un envío variable de la fuente de datos con uso del monitor. | 67 |
| Figura 5.22 Estadísticas del PE Counter en la primera aplicación con un envío variable de la fuente de datos sin uso del monitor. | 67 |
| Figura 5.23 Estadísticas del PE Mongo en la primera aplicación con un envío variable de la fuente de datos con uso del monitor. | 68 |
| Figura 5.24 Estadísticas del PE Mongo en la primera aplicación con un envío variable de la fuente de datos sin uso del monitor. | 68 |
| Figura 5.25 Cantidad promedio de eventos procesados en cada período en la primera aplicación con un envío variable de la fuente de datos usando monitor. | 69 |
| Figura 5.26 Cantidad promedio de eventos procesados en cada período en la primera aplicación con un envío variable de la fuente de datos no usando monitor. | 69 |
| Figura 5.27 Cantidad total de eventos procesados en la primera aplicación con un envío variable de la fuente de datos usando monitor. | 69 |
| Figura 5.28 Cantidad total de eventos procesados en la primera aplicación con un envío variable de la fuente de datos no usando monitor. | 69 |
| Figura 5.29 Estadísticas del PE Split en la segunda aplicación con un envío constante de la fuente de datos con uso del monitor. | 72 |
| Figura 5.30 Estadísticas del PE Split en la segunda aplicación con un envío constante de la fuente de datos sin uso del monitor. | 72 |
| Figura 5.31 Estadísticas del PE Counter en la segunda aplicación con un envío constante de la fuente de datos con uso del monitor. | 73 |
| Figura 5.32 Estadísticas del PE Counter en la segunda aplicación con un envío constante de la fuente de datos sin uso del monitor. | 73 |
| Figura 5.33 Estadísticas del PE Merge en la segunda aplicación con un envío constante de la fuente de datos con uso del monitor. | 74 |
| Figura 5.34 Estadísticas del PE Merge en la segunda aplicación con un envío constante de la fuente de datos sin uso del monitor. | 74 |
| Figura 5.35 Cantidad total de eventos procesados en la segunda aplicación con un envío constante de la fuente de datos no usando usando monitor. | 75 |
| Figura 5.36 Cantidad total de eventos procesados en la segunda aplicación con un envío constante de la fuente de datos no usando no usando monitor. | 75 |
| Figura 5.37 Estadísticas del PE Split en la segunda aplicación con un envío variable de la fuente de datos con uso del monitor. | 77 |
| Figura 5.38 Estadísticas del PE Split en la segunda aplicación con un envío variable de la fuente de datos sin uso del monitor. | 77 |
| Figura 5.39 Estadísticas del PE Counter en la segunda aplicación con un envío variable de la fuente de datos con uso del monitor. | 78 |
| Figura 5.40 Estadísticas del PE Counter en la segunda aplicación con un envío variable de la fuente de datos sin uso del monitor. | 78 |
| Figura 5.41 Estadísticas del PE Merge en la segunda aplicación con un envío variable de la fuente de datos con uso del monitor. | 79 |
| Figura 5.42 Estadísticas del PE Merge en la segunda aplicación con un envío variable de la fuente de datos sin uso del monitor. | 79 |
| Figura 5.43 Cantidad total de eventos procesados en la segunda aplicación con un envío variable de la fuente de datos usando monitor. | 80 |
| Figura 5.44 Cantidad total de eventos procesados en la segunda aplicación con un envío variable de la fuente de datos no usando monitor. | 80 |

| | | |
|-------------|--|----|
| Figura 5.45 | Porcentaje de utilización de la CPU en la tercera aplicación usando monitor. | 81 |
| Figura 5.46 | Porcentaje de utilización de la CPU en la tercera aplicación no usando monitor. | 81 |
| Figura 5.47 | Consumo de memoria RAM en la tercera aplicación usando monitor. | 81 |
| Figura 5.48 | Consumo de memoria RAM en la tercera aplicación no usando monitor. | 81 |
| Figura 5.49 | Cantidad de eventos procesados en la tercera aplicación usando monitor. | 81 |
| Figura 5.50 | Cantidad de eventos procesados en la tercera aplicación no usando monitor. | 81 |
| Figura 5.51 | Estadísticas del primer PE en la tercera aplicación con un envío constante de la fuente de datos con uso del monitor. | 82 |
| Figura 5.52 | Estadísticas del primer PE en la tercera aplicación con un envío constante de la fuente de datos sin uso del monitor. | 82 |
| Figura 5.53 | Estadísticas del segundo PE en la tercera aplicación con un envío constante de la fuente de datos con uso del monitor. | 83 |
| Figura 5.54 | Estadísticas del segundo PE en la tercera aplicación con un envío constante de la fuente de datos sin uso del monitor. | 83 |
| Figura 5.55 | Estadísticas del tercer PE en la tercera aplicación con un envío constante de la fuente de datos con uso del monitor. | 84 |
| Figura 5.56 | Estadísticas del tercer PE en la tercera aplicación con un envío constante de la fuente de datos sin uso del monitor. | 84 |

ÍNDICE DE ALGORITMOS

| | | |
|---------------|---|----|
| Algoritmo 4.1 | Algoritmo reactivo del modelo elástico. | 41 |
| Algoritmo 4.2 | Cálculo de la distribución estacionaria de la cadena de Markov de un operador ϕ | 44 |
| Algoritmo 4.3 | Algoritmo predictivo del modelo elástico. | 45 |
| Algoritmo 4.4 | Administración de réplicas de un operador ϕ dado su comportamiento en el modelo elástico. | 46 |
| Algoritmo 5.1 | Distribución de carga entre las réplicas de un operador. | 49 |
| Algoritmo A.1 | Algoritmo para la conformación de la matriz de transición. | 97 |

RESUMEN

En el mundo actual de la información, grandes cantidades de datos son generados cada segundo desde las más diversas fuentes: redes sociales, redes de sensores, buscadores Web, entre otros. Extraer información de dichos datos muchas veces requiere que este análisis sea llevado a cabo en tiempo real, debido que el análisis que se deben realizar depende de la temporalidad. Para lograr procesar estas grandes cantidades de datos, existen sistemas especializados llamado sistemas de procesamiento *stream* (SPS), los cuales pueden procesar en tiempo real los datos que van llegando por una o más fuentes de datos. Estos sistemas están basados en grafos, cuyos vértices realizan operaciones según el flujo de dato que van llegando por las aristas del grafo. Debido a esto, existe un problema con la topología del grafo de la aplicación, dado que ésta al iniciar el sistema posee una determinada forma, la cual puede ser que no se adapte a la cantidad de flujo de datos entrante, pudiendo generar sobrecargas en un operador. Dado esto, se planteó un sistema de distribución de carga que optimice el rendimiento de cada operador. Para esto se diseñó un algoritmo reactivo, usando la técnica de fisión, y otro predictivo, usando cadena de Márkov, para poder detectar sobrecargas en un operador, de tal manera de indicarlo y optimizar el rendimiento del sistema. Los resultados obtenidos de los experimentos realizados en el SPS S4, se encuentra una mejora de hasta de tres veces más en el procesamiento de los eventos, con un costo asociado a un aumento de 0,0119% del uso de la CPU, pero una disminución de un 1,5187% en el consumo de memoria RAM con el experimento realizado. De esta manera, se cumplió con un sistema que optimizara el rendimiento de un SPS, con un bajo *overhead* de implementación.

Palabras Claves: SPS; Elasticidad; Distribución de carga; Balance de carga; Algoritmos reactivos; Fisión; Algoritmos predictivos; Cadena de Márkov

ABSTRACT

In the actual world of information, great quantities of data are generated every second from the most diverse sources: social networks, sensor networks, web searchers, among others. Extract information from that data requires a real-time analysis, because the analysis depends of the temporality. To process this big quantity of data, there are specialized systems called stream processing streams, which can process data from diverse sources in real time. This systems are based on graphs, which vertices operate depending of the incoming stream of data through their edges. Because of this, exists a big problem with the application graph topology, because when the system starts it has a shape that cannot be changeable and adaptable to the incoming streams of data generating overhead on one operator. Because of this, a distribution load system has been proposed to optimize the performance of each operator. For two algorithm has been designed, reactive algorithm using the fision technique, and a predictive algorithm using Markov chains to detect overheads on an operator and to indicate and optimize the system performance. The obtained results from the test in S4 show an improvement of 3 times more on the events processing, with an asociated cost of a 0.0119

Keywords: SPS; Elastic; Load balancing; Reactive Algorithm; Fision; Predictive Algorithm; Markov chain

CAPÍTULO 1. INTRODUCCIÓN

1.1 ANTECEDENTES Y MOTIVACIÓN

La gran contribución de información en la Internet se ha debido al origen de la Web 2.0 donde ésta se caracteriza por la participación activa del usuario, siendo reflejado en el auge de blogs, redes sociales u otras aplicaciones Web (Oberhelman, 2007).

Con el paso del tiempo, más y más información es generada por distintas interacciones generadas por los usuarios. Por lo que, analizar o extraer esta información no es una tarea fácil, más aún cuando muchas de estas interacciones deben ser analizadas en tiempo real, dada su dependencia temporal. Por esta última características es que sistemas tradicionales de procesamiento basados en MapReduce (Lin & Dyer, 2010) o *bash processing* (Hawwash & Nasraoui, 2014) no son los ideales para analizar esta información.

Es así como con el tiempo se han ido creando distintos sistemas de procesamiento capaces de lidiar con las restricciones de tiempo, debido al interesante funcionamiento que poseen, las que se caracterizan por ser capaces de procesar grandes flujos de datos en tiempo real (Chen & Zhang, 2014). La necesidad de procesar información en tiempo real surge dado que muchas aplicaciones, donde sus usuarios requieren de respuestas rápidas y actualizadas que le permitan tomar decisiones en períodos cortos de tiempo. Dentro de los ejemplos existentes se encuentran; análisis de sentimientos de los mensajes de usuarios, análisis de los precios de la bolsa de valores, recopilación de información en caso de emergencia, entre otros. Este tipo de aplicaciones son críticas para sus usuarios, debido que proveen de información actualizada que permite mejorar entre otros casos la toma de decisiones (Wenzel, 2014).

Un ejemplo de esto, son las aplicaciones que analizan redes sociales en caso de un desastre natural, donde grandes cantidades de información son generadas, y se requiere procesar esta información lo más cercano al tiempo real para obtener información que permita un trabajo de recuperación más eficiente dado el suceso (Andrade et al., 2014). De esta manera, se puede construir un sistema que pueda procesar los datos realizando un análisis de la percepción

de la gente, búsqueda de personas desaparecidas o evaluadores de necesidades. Con esta información, se puede establecer sectores críticos, facilitar la búsqueda de personas, distribución de alertas, o detección de necesidades, lo cual sería crucial para tomar decisiones en esos momentos.

Por otra parte, también son utilizado estos sistemas de procesamiento para llevar a cabo predicciones en la bolsa de comercio, de esta manera, se crean sistemas de procesamiento que apliquen modelos matemáticos y permiten predecir el comportamiento para el siguiente día en el mercado. Con estos sistemas, la ganancia que existe por parte de las personas interesadas puede aumentar considerablemente, por lo que ha generando un alto interés en el desarrollo e investigación en esta área.

También se aplica en casos de seguridad en redes, donde se permite realizar un monitoreo de las actividades ocurridas en la red. Esto es útil para empresas o ministerios que poseen información privilegiada, y en caso que alguien desee realizar respaldos o eliminar información sin consentimiento de los encargados, puede detectarse la persona y generarse una alarma de preventiva a las autoridades. Como la información es procesada en tiempo real, ayuda a detectar a tiempo las posibles acciones de usuarios maliciosos. Dentro de las aplicaciones que existen sobre este tema, son los análisis de logs de los sistemas, con cuya información se puede verificar si existe algún *bug*, error o anomalía, además de ver si existe algún intruso o violación al sistema.

Para dar soporte a estas aplicaciones existen los SPS (Sistemas de Procesamiento de *Stream*) tales como S4 (Neumeyer et al., 2010), Storm (Storm, 2014), Samza (Samza, 2014), entre otros. El paradigma de procesamiento de estos sistemas se basa en grafos, donde las vértices son operaciones realizadas al flujo de datos que es enviado por las distintas aristas. Para la generación de una aplicación, el usuario debe diseñar una topología de procesamiento componente por las tareas u operaciones deseadas. Cada grafo o topología tiene *input* desde una fuente de datos, y un *endput* del flujo de salida proveniente del último operador. Aunque poseen bastante flexibilidad para la creación de diversas aplicaciones, por la facilidad de crear distintas topologías, no lo tiene para adaptarse en el tiempo a las condiciones del tráfico entrantes,

esto debido a que las topologías de procesamiento generadas son estáticas. Dada la naturaleza dinámica de las interacciones, pueden surgir problemas de distribución de carga en la topología asociada a la aplicación.

El problema de sobrecarga conlleva a una baja en el rendimiento, produciendo una pérdida de recursos, tiempo e información. Abordar este problema es crítico, puesto que al realizar una optimización en el sistema, implica una disminución en el tiempo de procesamiento, y mayor precisión en los resultados por parte de la aplicación.

Lo anterior lo podemos entender de mejor manera con el siguiente ejemplo: se posee un tiempo t para procesar n datos, de disminuir el tiempo de procesamiento total de los datos, se tiene que en el mismo tiempo t se procesarán una cantidad $n+m$ de datos, donde m son los datos adicionales a analizar debido a la mejora del rendimiento. Como existe un aumento en la cantidad de datos procesados, la información obtenida puede ser más precisa, dado que se posee una mayor cantidad de datos. Por ejemplo, al procesar una mayor cantidad de transacciones en la bolsa de comercio, se puede poseer una predicción más precisa de cómo se comporta la bolsa a futuro. Desde otro punto de vista, se efectúa una mejora en los recursos utilizados, habiendo una disminución de recursos ociosos.

1.2 DESCRIPCIÓN DEL PROBLEMA

Dada la rigidez de la topología, debido que ésta no varía en el transcurso del procesamiento, y el carácter altamente dinámico del tráfico, dado los posibles *peaks* que pueden alterar el tráfico entrante, pueden generarse problemas de balance de carga entre los operadores de la topología, sobrecargando alguno de estos y comprometiendo el rendimiento del sistema.

1.3 SOLUCIÓN PROPUESTA

La solución propuesta consiste en el diseño de modelo elástico para los sistemas de procesamiento de *stream*, el cual permita adaptar el grafo de procesamiento a las variaciones del tráfico. Para esto se propone implementar cuatro módulos que componen la estructura del sistema de distribución de carga: monitor de carga, analizador de carga, predictor de carga y administrador de réplicas.

El monitor de carga está encargado de recuperar el nivel de carga de cada uno de los operadores. Esta información es entregada a los módulos de analizador y predictor de carga, los cuales están encargados de medir el nivel de carga del operador, y según eso modificar la cantidad de réplicas necesarias. Cada uno de estos módulos trabaja de forma independiente y poseen distintos enfoques: proactivo y reactivo.

El analizador de carga aplica un enfoque reactivo, el cual analiza el tráfico de los operadores en el tiempo actual, y cuantifica su carga. El estado de la carga de cada operador depende de un umbral, por lo que según este solicita al administrador de réplica incrementar o disminuir la cantidad de réplicas del operador.

El predictor de carga aplica un enfoque proactivo, el cual analiza la carga de los distintos operadores en una ventana de tiempo, y predice la carga para la siguiente ventana. Con esta información el administrador de réplicas determina la mejor configuración de los operadores para dicho período.

El administrador de réplicas por su parte se alimenta de la información entregada por los dos módulos anteriores, y en base a esto, toma una decisión respecto a los recursos asignados al operador. En otras palabras, verifica cuántas réplicas son necesarias dada la cantidad de tráfico.

1.4 OBJETIVOS Y ALCANCE DEL PROYECTO

1.4.1 Objetivo general

Diseño, construcción y evaluación de un modelo elástico de procesamiento para flujos de eventos en tiempo real.

1.4.2 Objetivos específicos

1. Diseñar e implementar un algoritmo reactivo que permita analizar en el momento la carga de los operadores.
2. Diseñar e implementar un algoritmo de predicción que permita estimar la carga de los operadores.
3. Diseñar e implementar un algoritmo que permita la administración del número de operadores del grafo de procesamiento de forma elástica.
4. Diseñar y construir experimentos que permitan validar la hipótesis formulada.
5. Evaluar y analizar el rendimiento del sistema a través de aplicaciones generadas sobre sistemas de procesamiento de *stream*.

1.4.3 Alcances

Dentro de los alcances y limitaciones que se tienen en el proyecto son:

- La evaluación de la solución presentada se implementará sobre un solo sistema de procesamiento de *stream*.
- Los datos emitidos de la fuente de datos son homogéneos, teniendo una tasa de servicio similar.

- La distribución de flujo de datos es a nivel de operadores y no de nodos físicos, por lo que no se analizó la carga de estos últimos.
- Los algoritmos propuestos no incluyen técnicas que garanticen el procesamiento de todo el flujo de datos.
- En la evaluación de los algoritmos propuestos se consideró el costo de comunicación de manera igualitaria para todos los operadores.

1.5 METODOLOGÍA Y HERRAMIENTAS UTILIZADAS

1.5.1 Metodología

Dado el carácter de investigación de la propuesta de tesis, se propone utilizar el método científico para la realización de ésta. Dentro de las etapas propuesta por (Hernández Sampieri et al., 2010) están:

1. Formulación de la hipótesis: “La utilización de un modelo elástico de procesamiento que permitirá aumentar la cantidad de eventos procesados, y con ello la precisión de los resultados”.
2. Elaboración del marco teórico: Exponer las investigaciones que existen sobre problemas de sobrecarga en los operadores de SPS. Así mismo, los conceptos fundamentales de estos sistemas.
3. Seleccionar el diseño apropiado de investigación: Diseñar el experimento para el problema de balance de carga a nivel lógico en un SPS, vale decir, los algoritmos de predicción y distribución. Cada ejecución de los experimentos se basan según los principios de un SPS.
4. Analizar los resultados: De deberá analizar los resultados según las estadísticas entregadas y el modelo propuesto.

5. Presentar los resultados: Elaborar el reporte de investigación y presentar los resultados en gráficos y tablas.
6. Concluir en base a los resultados de la investigación.

1.5.2 Herramientas de desarrollo

Para el procesamiento de *stream* se utilizó Apache S4 0.6.0, por lo que fue necesario para su configuración Java SE Development Kit 7. Dentro esto, el lenguaje de programación de cada una de las estructuras del sistema desarrollado fue en Java, por lo que se trabajó sobre el IDE Eclipse Standard 4.4.2, y para el prototipo del modelo matemático se utilizó MATLAB 2014a. De forma complementaria, se utilizó Texmaker 4.1 para la confección de los distintos informes requeridos y la documentación correspondiente al trabajo.

1.6 ORGANIZACIÓN DEL DOCUMENTO

En el presente documento se divide en seis capítulos. En el primer capítulo se presenta la problemática y la solución propuesta, conjunto con los objetivos y la metodología utilizada. En el segundo capítulo se exponen los conceptos teóricos involucrados. Posteriormente, el tercer capítulo aborda los distintos enfoques y técnicas que se han brindado en la literatura para dar soluciones al problema planteado. Luego, el cuarto capítulo se describen el diseño de los algoritmos utilizados en el modelo propuesto, explicando las distintas decisiones que se tomaron para el diseño de éste. En el quinto capítulo se presentan los distintos experimentos realizados para evaluar el sistema diseñado, donde se explica su implementación y evaluación según los experimentos diseñados. Finalmente, el sexto capítulo se exponen las respectivas conclusiones obtenidas a partir del presente trabajo.

CAPÍTULO 2. MARCO TEÓRICO

2.1 STREAMING

Streaming es una técnica para la transferencia de datos de forma continua, de tal manera que sea temporal y secuencial, cuyo funcionamiento se basa en el envío de datos por parte de un ente externo a un sistema de procesamiento de información, donde en caso de estar ocupado el servicio, se dejan los datos en cola (Menin, 2002). Generalmente, esto es utilizado en la interacción con la Web, como redes sociales o reproducción *online* de contenido multimedia. En la Figura 2.1 se muestra un servidor que emana un flujo de datos que llega a distintos clientes, donde cada uno de ellos procesa la información entrante, y en caso de estar ocupado el procesamiento, se guarda en un *buffer* los datos para posteriormente ser procesados.

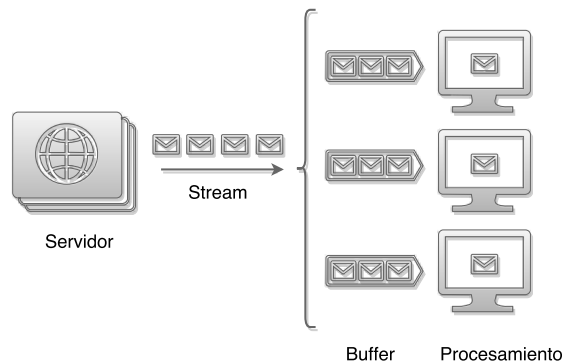


Figura 2.1: Flujo de datos entre el servidor y los clientes.

Este tipo de técnica es útil cuando se desea procesar información en tiempo real, siendo relevante la temporalidad de los datos, como la reproducción *online* de material multimedia. Los datos emanados por el *streaming* pueden ser utilizados para el análisis y procesamiento de un SPS (Sistema de Procesamiento de *Stream*). Un ejemplo de esto, es el *Streaming API* proporcionada por Twitter, donde esta información se puede utilizar para estudiar los *trending topic* o los *hashtag* más utilizados para casos específicos, como campañas electorales o desastres naturales.

2.2 STREAM PROCESSING

Stream processing es un paradigma de programación, el cual está orientado al procesamiento de un flujo de datos en tiempo real. Se centra en la programación de aplicaciones que puedan procesar la información en el momento, utilizando los recursos del sistema de forma paralela o distribuida para cumplir su objetivo, de tal manera que su procesamiento sea lo más cercano al tiempo real (Chakravarthy & Jiang, 2009).

Dentro de las aplicaciones existentes en el procesamiento de *stream*, están el monitoreo de signos vitales, detección de fraudes, reproducción de videos *online*, y para cada uno de ellos es necesario cumplir con ciertas características para el funcionamiento correcto del sistema. Para ello, se han propuesto ciertos requerimientos para el procesamiento continuo de datos (Andrade et al., 2014), los cuales son desglosados a continuación:

- **Procesamiento de grandes cantidades de datos:** esto significa que al tratar de procesar los datos, no se puede guardar en una base de datos y luego procesarlos, como en general lo realizan los sistemas de *batch processing*, por lo tanto es necesario otro mecanismo que pueda procesarlos mientras va llegando la información entrante. Por lo que utilizar *stream processing* soluciona este problema, dado que la información entrante es procesada a medida que van llegando los datos.
- **Limitaciones de ancho de banda y latencia:** se refiere a la comunicación que existe por parte del proveedor de datos, de tal manera que no sea una limitante en el procesamiento de los datos el ancho de banda o la latencia que existe. Esto es importante, dado que no sirve un sistema de estimación de la bolsa del mercado con una latencia considerable, de tal manera que envíe datos obsoletos. Siempre se debe mantener una baja latencia, para poseer los datos lo más cercano al tiempo real.
- **Procesamiento de datos heterogéneos:** en su mayoría, los datos poseen distintos formatos, contenidos y niveles de ruido, por lo que es necesario realizar una normalización de estos, de tal manera de estandarizar el procesamiento.

- **Proporcionar alta disponibilidad a largo plazo:** es importante poseer un constante flujo de información, que sea estable y persistente en el tiempo, de tal manera que esté procesando constantemente los datos para el propósito designado. Si analizamos el funcionamiento de los sistemas, estos pueden fallar, y los SPS no son la excepción, por ello es importante contar con un mecanismo de tolerancia a fallos que permita reducir la pérdida de información. De no existir, se puede perder información, comprometiendo la precisión de los resultados y requiriendo de un mayor tiempo para recolectar la información perdida o alcanzar un estado similar.

2.3 SISTEMAS DE PROCESAMIENTO DE STREAM

Entre los diferentes motores de procesamiento de datos masivos, existen los sistemas de procesamiento de *stream*, los cuales reciben grandes cantidades de datos que deben procesar de forma distribuida y en tiempo real, de ahora en adelante hablaremos de procesamiento *online* para hacer referencia al tiempo real. Para realizar esto, se requiere un cambio en el paradigma tradicional de *batch processing*, el cual almacena los datos, los que posteriormente son procesados de forma *offline* (Hawwash & Nasraoui, 2014). Este cambio implica el análisis sin almacenar los datos, por lo que estos fluyen mientras son procesados.

El paradigma utilizado se basa en grafos de procesamiento como muestra la Figura 2.2, donde los operadores corresponden a las vértices del grafo, como por ejemplo analizadores de sentimientos, filtros de palabras o algún algoritmo en particular, y las aristas corresponden a los flujos de datos entre un operador y otro (Shahrivari, 2014). Además de esto, los datos proporcionados son originados por un ente externo, ya sea *streaming* de redes sociales, estadísticas del monitoreo de un sistema, o transacciones en la bolsa de comercio, la cual entrega los datos iniciales a los primeros operadores del grafo (Appel et al., 2012).

Cabe destacar que los SPS son distribuidos, es decir, cada uno de los vértices del grafo son alojados en un nodo físico disponible en el ambiente en que se aloja el sistema, ya sea un *cluster*, un *grid* o un *cloud*. Para lograr la comunicación entre los operadores, se utilizan

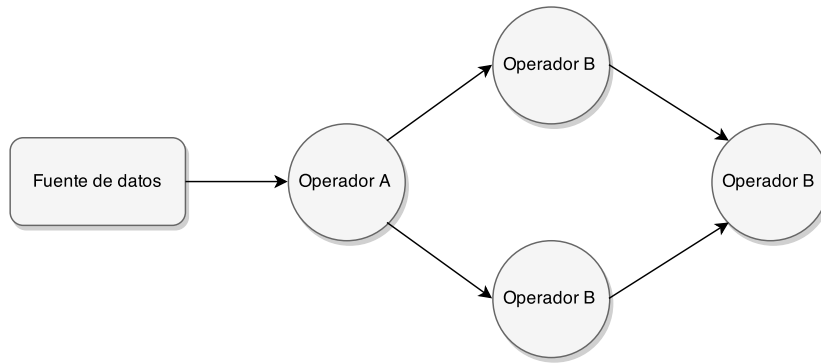


Figura 2.2: Ejemplo de modelo de SPS.

sistemas anexos especialmente diseñados para este tipo de tareas, como Apache ZooKeeper (Hunt et al., 2010). Este sistema es un servicio centralizado para mantener la información de configuración y sincronización de las aplicaciones distribuidas que se posean. Por lo tanto, de esta manera cada nodo al registrarse al servidor central, éste se encarga de señalar los nodos disponibles para la interacción entre ellos.

Las principales aplicaciones que se le dan a estos SPS, están orientadas al manejo de grandes cantidades de datos, las cuales deben ser procesadas para obtener información o estadísticas, como es el caso de detección de fraudes, recolección de información en caso de desastres o análisis de la interacción en las redes sociales. Para efectuar un procesamiento en tiempo real de los datos, (Stonebraker et al., 2005) establece los siguientes requerimientos:

- **Baja latencia:** este concepto está asociado con la comunicación fluida entre los distintos nodos del sistema, de tal manera que no existan altos *delay* o retrasos en el procesamiento.
- **Consultas SQL:** poder realizar consultas a una base de datos, sin perder las propiedades del SPS, como el procesamiento distribuido. Para esto, se debe realizar un cambio en la forma de ejecutar las consultas, debido que no sólo es necesario realizar la consulta, sino también que se puedan unir las respuestas entregadas de forma paralela, por esto es necesario diseñar un sistema que cumpla con operadores adicionales a los utilizados en las consultas tradicionales por sistemas centralizados.
- **Generar resultados predecibles:** cuando se realizan consultas en el sistema, existe la posibilidad que sean correctas sólo por un período de tiempo, debido a alguna falla en

el sistema que genere una pérdida en el estado del operador. Por lo tanto, es necesario garantizar que el resultado sea determinístico y persistente en el tiempo, ya sea respaldando la información u otro mecanismo, de tal manera que si se realiza una consulta, el resultado sea consistente u homólogo con el transcurso del tiempo.

- **Integrar almacenamiento y flujo de datos:** en general, cuando se trabaja con procesamiento de datos, es importante guardar estados en el sistema, de tal manera que los datos entrantes vayan verificando, modificando o eliminando la información que se posea. En un operador que cuente palabras, es necesario soportar variables que guarden las estadísticas de la información entrante. Otro tema importante es la uniformidad de los datos, como se había presentando en el tópico anterior de *Streaming*, siempre se va a trabajar con datos heterogéneos, por lo que se requiere estandarizar los para su procesamiento, de esta manera, no exista una discordancia en la información procesada.
- **Garantizar la seguridad y disponibilidad de los datos:** este requerimiento está orientado en poseer mecanismos de *checkpoint*, técnica utilizada para respaldar el estado del operador cada cierto período de tiempo, y tolerancia a falla, por lo que en caso de existir alguna anomalía, pueda volver el sistema a estar disponible y sin perder una cantidad considerable de información, ya sea en las estadísticas o estados del sistema.
- **Partición y escalabilidad automática de las aplicaciones:** es importante también distribuir la carga entre distintos procesadores o máquinas, deseando idealmente una escalabilidad incremental, esto significa que el flujo de datos sea entregado a los distintos recursos que se posean y en caso de necesitar más recursos, incrementar lo que se poseen (Tanenbaum & van Steen, 2007). Si bien no sucede siempre, se espera que esto sea automático y transparente.
- **Procesamiento y respuesta instantánea:** cuando se plantea el uso de los SPS, se apuesta por un sistema que entregue respuestas en un tiempo lo más cercano al real, este requerimiento hace necesario lidiar posibles sobrecargas de los operadores, las cuales afectan al rendimiento del sistema. Por lo tanto, se hace necesario abordar estos posibles

escenarios proveyendo una solución de bajo *overhead*, esto quiere decir con bajo costo de implementación o recursos necesarios para su funcionamiento, aumentando así la eficiencia y el rendimiento del sistema.

Cada sistema de procesamiento de *streaming* está basado en un modelo de procesamiento en particular. Por ejemplo, S4 utiliza el modelo de procesamiento *push* (Neumeyer et al., 2010), y Storm el modelo *pull* (Storm, 2014).

El primer modelo llamado *push*, consiste en el envío de datos desde el operador. La ventaja de este modelo empleado por S4 radica en la abstracción en el envío de datos, sin embargo no asegura el procesamiento de estos, debido a que no existe un mensaje de respuesta al ser entregado al operador. En la Figura 2.3 se puede ver el Operador A como envía los datos al Operador B, donde en caso que esté procesando un dato el Operador B, éste lo guarda en cola. Debido a la forma en como se realiza el envío del evento, éste no asegura que llegue efectivamente, debido a una falla en la comunicación, por lo que existe una abstracción en el envío de los eventos por parte del operador emisor.

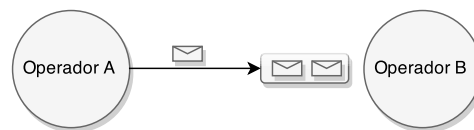


Figura 2.3: Modelo push de procesamiento.

Por otra parte, el segundo modelo llamado *pull*, se basa en la petición de datos a un operador, por lo que son enviados solo si son requeridos. Si bien este modelo asegura procesamiento de los datos, genera una menor abstracción al programador, dado que en el primer modelo sólo se indica a que operador deben ir los datos, en cambio en el segundo se debe indicar quién lo envía y quién lo recibe. En la Figura 2.4 se puede ver que existen dos operadores, donde en la Figura 2.4 (a) se solicita por parte del Operador B el envío de un dato para ser procesado, donde en la Figura 2.4 (b) el Operador A envía el dato para que posteriormente sea procesado por el Operador B.

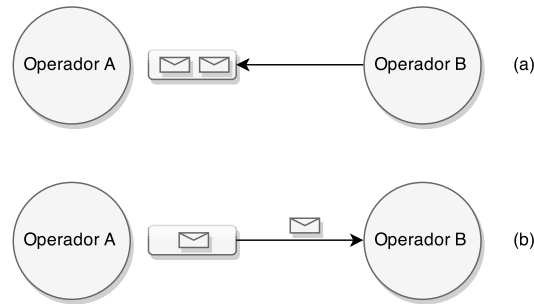


Figura 2.4: Modelo pull de procesamiento.

2.3.1 Simple Scalable Streaming System (S4)

S4 (Neumeyer et al., 2010) es un sistema de propósito general, distribuido y escalable que permite que aplicaciones puedan procesar flujos de datos de forma continua y sin restricciones. S4 está inspirado en MapReduce (Lin & Dyer, 2010), y fue diseñado en el contexto de minería de datos y algoritmos de aprendizaje de máquina en Yahoo! Labs para sistemas de publicidad *online*. Cada evento en S4 es descrito como un par (clave, atributo), cuyos pares pueden ir agregándose a medida que sea necesario. La unidad básica son los elementos de procesamiento (PEs, por sus siglas en inglés). Los PEs pueden emitir o pueden publicar resultados y son alojados en servidores llamados nodos de procesamiento, llamados PNs. Los PNs son responsables de escuchar eventos, rutear eventos a los PEs del nodo y despachar eventos a través de la capa de comunicación. Los eventos son encaminados usando una función de *hashing* sobre los valores de los atributos hacia el PE apropiado. Para este fin, en la capa de comunicación utiliza Apache ZooKeeper (Hunt et al., 2010), el cual provee manejo de *clusters* y reemplazo automático de nodos que fallan. S4 usa encaminamiento estático, es parcialmente tolerante a fallas, y no posee mecanismos de balanceo dinámico de carga.

2.3.2 Storm

Storm (Leibiusky et al., 2012) es una plataforma similar a S4, orientada a la computación de flujos de datos en tiempo real de forma escalable. El modelo de programación

está basado en dos primitivas básicas para la transformación de flujos de datos que deben ser implementados de acuerdo a la lógica de las aplicaciones: *Spouts* y *Bolts*. Un *Spout* es una fuente de flujo de datos y un *Bolt* hace una transformación de un solo paso sobre el flujo de datos, creando un nuevo flujo basado en la entrada que recibe. Transformaciones complejas requieren múltiples *Bolts*, los cuales crean topologías o grafos, el nivel más alto de abstracción en Storm. La plataforma soporta tolerancia a fallas a través de un proceso maestro llamado Nimbus (Miao et al., 2014), el cual garantiza el procesamiento de todos los mensajes a través del uso de una base de datos para su almacenamiento. Sin embargo, esta base de datos es su mayor desventaja respecto de S4 puesto que no es completamente distribuida. Storm define diferentes técnicas para el particionamiento de *streams* de datos y para la paralelización de *Bolts*, por lo tanto la asignación de máquinas para alguna actividad debe efectuarse de forma manual, lo que complica el desarrollo de aplicaciones. Al igual que S4, Storm usa Apache ZooKeeper (Hunt et al., 2010) en la capa de comunicación.

2.4 ELASTICIDAD

La propiedad de elasticidad en el área de *Cloud Computing* o *SPS*, está relacionado con la capacidad que el sistema tiene de adaptarse dinámicamente a las condiciones cambiantes del sistema, como por ejemplo el tráfico. Esto quiere decir que aumente o disminuya los recursos que se utilicen, para que funcione de manera eficiente.

En el caso de *Cloud Computing*, existen estudios que han trabajado con esta propiedad como (Gong et al., 2010; Nguyen et al., 2013; Lehrig et al., 2015), donde el sistema se comporta de forma elástica, determinando dinámicamente la cantidad de máquinas virtuales necesarias en el sistema. Por otra parte, en los SPS, existen trabajos como (Gedik et al., 2014; Ishii & Suzumura, 2011; Schneider et al., 2009; Madsen et al., 2014; Gulisano et al., 2012), en que el sistema de forma dinámica determina la cantidad de operadores necesarios para realizar una tarea en específico, como se ve representando en la Figura 2.5, donde la cantidad de operadores B cambia dinámicamente según el rendimiento del sistema.

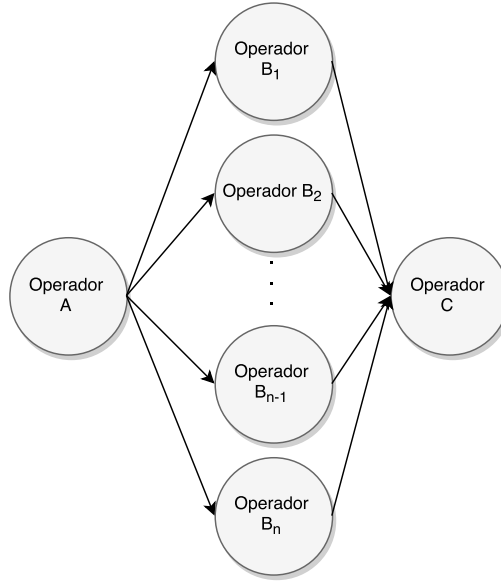


Figura 2.5: Elasticidad en un SPS.

Un ejemplo práctico de elasticidad es el supermercado, donde se debe considerar la cantidad de cajas necesarias para atender de manera eficiente los n clientes que van llegando en un período de tiempo. Si se estudia el período de la mañana, en general, se tiene un bajo flujo de personas que acude al supermercado, en comparación con la tarde, pero alto con la medianoche. Por lo tanto, en los horarios de la tarde es necesario poseer una mayor cantidad de cajas disponibles que en la mañana, disminuyendo la cantidad nuevamente cuando el horario bordea la media noche, adaptándose de forma elástica la cantidad de cajas disponibles en el supermercado.

En el trabajo realizado, se propone un sistema elástico dada la demanda de los distintos operadores. De esta manera, según el tráfico existente aumenta o disminuye los operadores, de tal manera que trabaje de manera dinámica y de forma óptima.

2.5 PROCESOS ESTOCÁSTICOS

Se define proceso estocástico como una colección de variables aleatorias X_t , con $t \in T$, las cuales están determinadas por algún comportamiento en el tiempo t . Esto significa que

cada variable estará tratada de forma discreta en el tiempo, sin poseer un proceso determinístico entre sus variables, es decir, que las variables dependan de la historia (Taylor & Karlin, 2014).

Por lo tanto, se puede definir un estado como el posible comportamiento que puede tener una variable aleatoria en el sistema. Un ejemplo de esto es un modelo que contemple tres estados: estable, inestable y ocioso, y según el valor de la variable aleatoria, vaya cambiando de un estado a otro. Un caso de estudio utilizando el concepto de estados son las cadenas de Markov, las cuales consideran distintos estados, donde cada uno representa un comportamiento del sistema (De Sapio, 1978).

Como se mencionó anteriormente, las cadenas de Markov son procesos estocásticos, las cuales se utilizan para soportar la predicción de carga en el modelo propuesto (Gong et al., 2010). De esta manera, se definen estados que son independientes en el transcurso del tiempo. Esto fue pensando con el fin de realizar análisis a futuro, tomando en consideración los datos *a priori*.

2.5.1 Cadena de Markov

Sea X_t el valor de una variable aleatoria X en un tiempo t , donde el conjunto de todos los valores posibles para X se llama espacio de estado (Ching & Ng, 2006). La variable aleatoria es un proceso de Markov si las probabilidades de transición entre dos estados cualquiera de Ω (definido como el universo de posibles estados), sólo depende del estado actual, como se denota en la Ecuación 2.1 y gráficamente en la Figura 2.6. Cabe destacar que este tipo de proceso es un caso específico de los procesos estocásticos.

$$P_r(X_{t+r} = S_j | X_0 = S_k; X_1 = S_l; \dots; X_t = S_i) = P_r(X_{t+1} = S_j | X_t = S_i) \quad (2.1)$$

Una cadena de Markov es una secuencia de variables aleatorias generadas por un proceso de Markov, como se denota en la Ecuación 2.2.

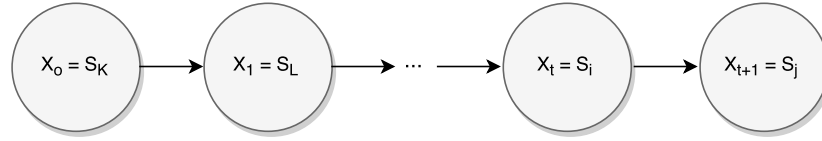


Figura 2.6: Proceso de Markov.

$$(X_0, X_1, X_2, \dots, X_{n-1}, X_n) \quad (2.2)$$

La Ecuación 2.3 se define por sus probabilidades de transición. En la Figura 2.7 se muestra un ejemplo de la transición del estado i al estado j , dada la probabilidad P_{ij} .

$$P_{ij} = P_r(i \rightarrow j) = P_r(X_{t+1} = S_j | X_t = S_i) \quad (2.3)$$

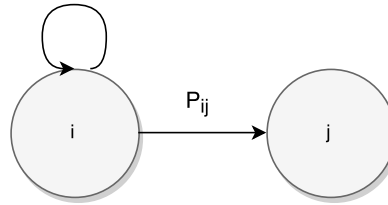


Figura 2.7: Cadena de Markov.

En la Ecuación 2.4 se presenta una matriz de transición de finitos estados, donde la probabilidad de pasar de un estado a otro está determinado por una posición de la matriz, tomando en consideración que la suma de todas las transiciones de un estado debe ser igual a 1.

$$P = \begin{bmatrix} P_{1,1} & P_{1,2} & \cdots & P_{1,n} \\ P_{2,1} & P_{2,2} & \cdots & P_{2,n} \\ \vdots & \vdots & \ddots & \vdots \\ P_{n,1} & P_{n,2} & \cdots & P_{n,n} \end{bmatrix} \quad \sum_{j=1}^n P_{ij} = 1; \forall i \quad (2.4)$$

En la Figura 2.8 se muestra un ejemplo de una cadena de Markov simple, donde se analiza la probabilidad del clima de mañana dado el clima de hoy día. Como se puede observar, no se considera la historia del clima en la semana, sólo en el caso actual, lo cual es aplicado en los procesos estocásticos. Dada las probabilidades que transite de un clima a otro, se puede ver en la Ecuación 2.5 la matriz de transición resultante.

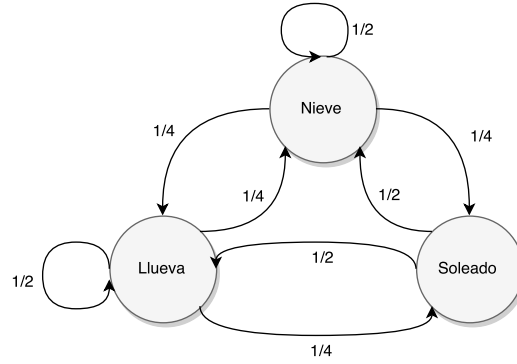


Figura 2.8: Ejemplo de cadena de Markov.

$$P = \begin{bmatrix} \frac{1}{2} & \frac{1}{4} & \frac{1}{4} \\ \frac{1}{2} & 0 & \frac{1}{2} \\ \frac{1}{4} & \frac{1}{4} & \frac{1}{2} \end{bmatrix} \quad (2.5)$$

Si se desea saber la probabilidad que la cadena esté en el estado S_i en el tiempo $t + 1$, está dada por la ecuación de Chapman-Kolmogórov (Papoulis, 1984):

$$\begin{aligned} \Pi_i(t+1) &= P_r(X_{t+i} = S_i) \\ &= \sum_k P_r(X_{t+i} = S_i / X_t = S_k) P_r(X_t = S_k) \\ &= \sum_k P_r(X_{t+i} = S_i / X_t = S_k) \Pi_k(t) \end{aligned} \quad (2.6)$$

En notación matricial:

$$\begin{aligned} \Pi_{(t+1)} &= \Pi_{(t)} P \\ \begin{bmatrix} \Pi_1 & \Pi_2 & \Pi_3 \end{bmatrix}_{(t+1)} &= \begin{bmatrix} \Pi_1 & \Pi_2 & \Pi_3 \end{bmatrix}_{(t)} \begin{bmatrix} P_{1,1} & P_{1,2} & \cdots & P_{1,n} \\ P_{2,1} & P_{2,2} & \cdots & P_{2,n} \\ \vdots & \vdots & \ddots & \vdots \\ P_{n,1} & P_{n,2} & \cdots & P_{n,n} \end{bmatrix} \end{aligned} \quad (2.7)$$

Usando recurrencia, se puede calcular la distribución estacionaria como se muestra la Ecuación 2.8, la cual indica el comportamiento a futuro de la cadena de Markov, dado los estados y transiciones que éste posee.

$$\begin{aligned}\Pi(t) &= \Pi(t-1)P \\ &= \Pi(t-2)P^2 \\ &= \Pi(0)P^t; \Pi(0) : \text{distribución inicial}\end{aligned}\tag{2.8}$$

2.5.2 Trabajo relacionado

Existen modelos predictivos que están basados en modelos matemáticos, los cuales simulan el comportamiento del sistema, ya sea del flujo o de la carga de un operador, de tal manera que pueda predecir cual es su estado en un tiempo futuro. En general, para poder realizar una predicción se analizan las variables en una ventana de tiempo, para posteriormente aplicar un modelo matemático que prediga la variación del sistema en la próxima ventana de tiempo que se tiene estipulada.

Dentro de las aplicaciones que se han realizado con modelos predictivos, se encuentra PRESS (Gong et al., 2010). En este sistema orientado a *Cloud Computing* (Birman, 2012), analiza la cantidad de recursos disponibles, ya sea la memoria disponible o el uso promedio de CPU en las máquinas virtuales que se disponen en el *Cloud*. Para realizar la predicción del estado del sistema, se aplica un modelo basado en cadenas de Markov, tomando sus estados como ventanas de tiempo en un determinado período. De esta manera, se analiza el estado del sistema en un tiempo en específico, para analizar si posee correlación con algún estado de la cadena de Markov, para posteriormente ver la transición de ese estado a otro y generar la matriz de transición. Posteriormente, con la ecuación de Chapman-Kolmogorov, se calcula la distribución estacionaria de la matriz de transición, de tal manera de saber en que estado estará en la próxima ventana de tiempo, para finalmente analizar si es necesario algún cambio en el sistema.

Dentro de la misma línea de modelos predictivos, existe el sistema AGILE (Nguyen et al., 2013) para *Cloud Computing* que modifica las máquinas virtuales de forma elástica en un *Cloud*. Lo que se realiza en este trabajo es analiza series temporales aplicando la transformada

de Fourier (Falk et al., 2012) a la carga de CPU en una ventana de tiempo determinada, donde la función resultante se analiza con distintas frecuencias, de tal manera de solicitar la predicción de la próxima ventana de tiempo a cada una de las funciones creadas. De esta manera, se sintetizan todas predicciones realizadas por cada función para analizar el comportamiento del sistema en la próxima ventana de tiempo, y ver si es necesario aumentar o disminuir recursos de éste.

2.6 TEORÍA DE COLAS

La teoría de colas se centra en el estudio matemático de las colas existentes en un sistema, cuyo caso de estudio era el desbordamiento de peticiones por parte del cliente al servidor (Breuer & Baum, 2005). En la Figura 2.9 se muestra un ejemplo de un sistema basado en teoría de colas, donde existe n productores que envían cierto flujo de datos a los m servidores disponibles, y en caso de no estar disponibles, se genera una cola de espera en el sistema.

- **Productor:** es quién provee la fuente de entrada para el servidor, de tal manera que procese según la necesidad que se posea.
- **Cola o línea de espera:** la cual está encargada de almacenar la información emanada por el productor en caso que los servidores estén ocupados, para que posteriormente sean procesados.
- **Servidor:** es quién procesa la información disponible en la cola, de tal manera que entre una fuente de salida con los datos o información deseada.

Además de esto, se tienen ciertos componentes importantes en el sistemas, definidos a continuación:

- **Tasa de llegada:** denotado λ , es la cantidad de datos, eventos o información que van llegando por un determinado período de tiempo, la cual está determinada por los productores que existan en el sistema.

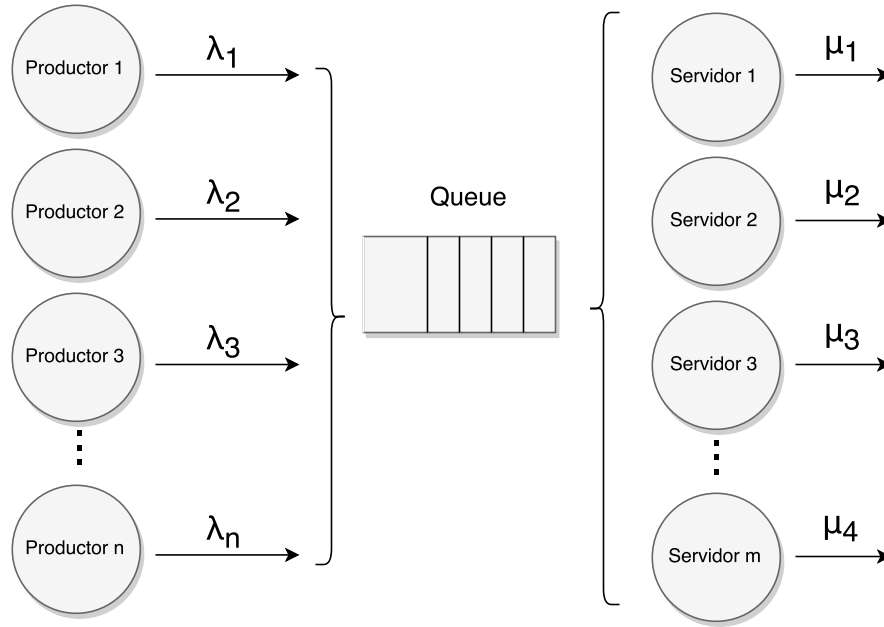


Figura 2.9: Ejemplo de un sistema basado en teoría de colas.

- **Tasa de procesamiento:** denotado μ , es la cantidad de datos, eventos o información que salen del sistema, producto del servicio provisto por cada servidor.
- **Tasa de rendimiento:** denotado ρ , es el porcentaje de utilización del sistema, donde $\rho = \frac{\lambda}{\mu}$, siendo un sistema estable si $\rho < 1$, dado que la capacidad de procesamiento es mayor que la tasa de llegada.
- **Disciplina de la cola:** significa el método utilizado para extraer los datos encolados en el sistema, para esto puede aplicarse los métodos *FIFO*, *LIFO*, *RSS*, entre otros.

Este tipo de modelos se puede aplicar a los SPS, debido que el operador emisor o la fuente de datos es el productor, y el operador receptor es el servidor del sistema. Por lo que existe un problema interesante a analizar debido a las posibles sobrecargas en los operadores. Por ejemplo, si se tiene un operador con una tasa de llegada λ y una tasa de servicio μ , donde $\mu < \lambda$, se tiene un sistema inestable, debido que se procesa más lento de lo que llegan los datos. Esto genera colas por lo que es necesario un aumento del rendimiento del sistema, debido que $\rho > 1$, donde se define $\rho = \frac{\lambda}{s\mu}$, siendo s la cantidad de servicios disponibles, en este caso, la cantidad de réplicas del operador. Tomando este tipo de consideraciones, en caso que el operador posea un $\rho > 1$ el sistema es inestable, vale decir es necesario realizar una modificación en la cantidad

de réplicas existentes de ese operador en el SPS, de tal manera de mejorar el rendimiento del sistema.

CAPÍTULO 3. BALANCE DE CARGA EN SPS

3.1 PERSPECTIVAS DE BALANCE DE CARGA

Dentro de la literatura se han encontrado distintas perspectivas al problema de balance de carga en un SPS, las cuales consideran los recursos físicos como fuente del problema de la sobrecarga del sistema, y otro enfoque que considera los recursos lógicos como el foco del problema.

3.1.1 Recursos físicos

En esta perspectiva se toma en consideración la sobrecarga del sistema dado las limitantes físicas que éste posea, ya sea por condiciones de los recursos disponibles o por el ambiente de desarrollo. Para esto, se consideran distintos parámetros como umbrales, los cuales si son sobrepasados debe aplicarse alguna estrategia para aliviar la carga del sistema. Estos umbrales pueden ser el nivel *Service Level Objective* (SLO) (Sturm et al., 2000), porcentaje de CPU utilizada o disponibilidad de la memoria (Dong & Akl, 2006).

Una de las soluciones con la perspectiva anterior es lo propuesto en Borealis (Xing et al., 2005), donde considera la cantidad de carga de los nodos en ventanas de tiempo pre-determinadas, las cuales son manejadas por un coordinador centralizado. Este coordinador se encarga de analizar los recursos del sistema, y en caso que se sobrepase el umbral propuesto, se debe migrar los operadores que estén en ese nodo para luego ser enviados a otro nodo candidato con menor cantidad de carga. Esta estrategia no soluciona el problema de rendimiento del sistema, sino de la máquina, debido que sólo mueve el problema de una máquina a otra. Para elegir al nodo candidato, se realiza un análisis de correlación que existe entre el operador y el nodo candidato, de esta manera, no necesariamente va a ser enviado a otro nodo con menor carga, sino también el más cercano. Dentro de los problemas que pueden existir en este sistema radican en la conexión entre los distintos nodos, por lo que para las pruebas se considera un buen

ancho de banda, de tal manera que aparente una red sin limitaciones de este tipo.

Otra de las soluciones que se han propuesto es lo realizado por Flood (Alves et al., 2010), la cual propone un DPS (*Distributed data stream processing*) que considera ciertos factores físicos para agregar o eliminar máquinas virtuales en Amazon EC2 (Services, 2015). Para esto, se posee un administrador que considera las estadísticas en tiempo de ejecución como la cantidad de CPU utilizada, latencia o memoria disponible, las cuales considera para ver en que rango está de los umbrales establecidos, y posteriormente agregar o eliminar recursos de manera elástica al sistema según un algoritmo reactivo implementando.

3.1.2 Recursos lógicos

A diferencia de la perspectiva de recursos físicos, en esta perspectiva lógica se consideran los componentes lógicos del sistema, es decir, el foco está en los operadores y su carga de trabajo. Las distintas soluciones que se presentan, analizan componentes como el flujo de datos o el tamaño de la cola de un operador, tomando esos parámetros y definiendo umbrales en los algoritmos implementados para realizar mejoras en el sistema.

Dado esta perspectiva, se han presentando dos tipos de enfoques: el estático y el dinámico (Gupta & Bepari, 1999). El primer enfoque está centrado en un modelo definido y fijo antes de la inicialización del sistema, sin considerar el estado del mismo. En cambio, el segundo enfoque está basado en un modelo que analiza el sistema según su estado en el transcurso de su ejecución.

3.1.3 Enfoque estático

Este enfoque se ha implementando en distintos sistemas de procesamiento de *stream*, donde no se depende del estado del sistema (Storm, 2014; S4, 2014). De esta manera, no existe una interrupción en la ejecución o un cambio debido al estado del sistema (Casavant & Kuhl, 1988). Por lo tanto, no se considera variables como la carga o cola del operador, sólo se

aplican técnicas que administren el flujo de los datos en el sistema.

Storm utiliza distintas técnicas de distribución de las tuplas en los operadores según la política que se desee, todas tomando un enfoque estático (Storm, 2014). Dentro de las políticas que existen están *Shuffle grouping*, *Fields grouping*, *Partial Key grouping*, *All grouping*, *Global grouping*, *None grouping*, *Direct grouping* y *Local grouping*.

La política de *Shuffle grouping* se enfoca en distribuir las tuplas de forma homogéneas en los n operadores que se encuentren en el grafo, utilizando la planificación *Round-Robin* (Brucker, 2004), de esta manera la cantidad de tuplas se distribuye de forma homogénea en el sistema. Una de las principales fallas es que la tasa de procesamiento de las tuplas no siempre es la misma, por lo tanto puede existir una sobrecarga en un operador en particular, dado que éste recibe una mayor cantidad de tuplas que requieren un mayor tiempo de procesamiento. Otra de las políticas utilizada es *Fields grouping*, la cual determina ciertas llaves a un operador determinado. Por ejemplo, se contiene un flujo de datos que se determinan por el identificador de los usuarios, de ser así, desde cierto rango de letras corresponden a cierto operador, de tal manera de dividir equitativamente según la cantidad de caracteres existentes. Si bien genera un determinismo en el procesamiento de las llaves, puede existir una sobrecarga de un operador en particular, debido a que una llave se repite con mayor frecuencia que otras, lo cual es demostrado en la ley de potencia (Rushton, 2010).

Por otra parte, se encuentra el funcionamiento de S4, cuya política es similar a la de *Fields grouping* de Storm, la diferencia es que un operador no le corresponde un conjunto de llaves, sino que posee una llave única. Esto quiere decir que cada llave se le asigna un operador, y en caso de no existir un operador para el valor de esa llave, se crea un nuevo operador de manera automática. Debido a la infinidad de combinaciones de llaves que pueden generarse, S4 recomienda aplicar una función *consistent hashing* (Wang & Loguinov, 2007). Esta técnica provee dinamismo en la cantidad de operadores en el sistema, pero al igual que la *Fields grouping* puede sobrecargar un operador, debido que una llave posee mayor frecuencia que las otras, como se expresa en la ley de potencia, debido que un porcentaje de llaves es más usada que otras, como es el caso de las palabras utilizadas en el diccionario (Rushton, 2010).

Una ventaja del enfoque estático es el bajo costo de la implementación de los métodos, lo cual es beneficioso para sistemas con bajos recursos. Por otra parte, una desventaja existente es la existencia de puntos críticos en la topología, es decir, que un operador recibe más carga que sus pares, por lo que no se asegura que la cantidad de flujo sea repartido de forma homogénea. Si bien, no es una solución óptima, es un buen complemento para un modelo con el enfoque dinámico.

3.1.4 Enfoque dinámico

Este enfoque está basado en el estado del sistema, siendo esto el parámetro base para optimizar su rendimiento (Casavant & Kuhl, 1988). Esto significa que si el sistema posee una sobrecarga o alta latencia entre nodos, es necesario realizar un cambio en la lógica del sistema con el fin de solucionar el problema. En este contexto se consideran dos modelos: reactivo y predictivo.

Reactivo: este modelo está basado en el análisis de carga en el sistema a través de un monitor (Gulisano et al., 2012), el cual recibe periódicamente las variables de cada uno de los operadores, y en caso que sobrepase un umbral, se aplica una técnica para aumentar el rendimiento bajo una métrica dada. El umbral puede estar basado en el tiempo de procesamiento, el tamaño de la cola u otra variable del operador (Bhuvanagiri et al., 2006). Por ejemplo, en el trabajo de (Schneider et al., 2009) se considera el rendimiento de cada operador, por lo que en caso de existir congestión en un operador, se procede a replicarlo, de tal manera que exista un operador adicional que puede recibir un flujo de datos y realizar la misma operación que el operador sobrecargado en paralelo.

Si bien estas soluciones en su mayoría son eficientes y poseen buen rendimiento, uno de los principales problemas es que no analiza el comportamiento a futuro, debido que sólo analiza y resuelve la situación en el momento. Otro problema son los falsos positivos, debido que puede ser que en un momento exista un *peak* de tráfico, pero esto era sólo un caso particular del instante, por lo que llevar a cabo la replicación del operador es un costo innecesario.

Predictivo: este modelo está basado en modelos matemáticos que calculan o estiman el comportamiento a futuro del sistema, dada cierta información que se posee del sistema, como flujo entrante o carga de la CPU. Si bien no existen modelos predictivos para SPS, si los existen en otras áreas, como se presentó en la Sección 2.5.2 con cadenas de Markov y análisis de series temporales en *Cloud Computing*.

3.2 TÉCNICAS DE BALANCE DE CARGA

Existen distintas técnicas de balance de carga que utilizan alguno de los dos modelos presentados anteriormente, las cuales están enfocados a mejorar el rendimiento del sistema en caso de existir una sobrecarga (Hirzel et al., 2013). Dentro de las técnicas existentes se encuentran la planificación determinista (Xu et al., 2014; Dong et al., 2007), *load shedding* (Sheu & Chi, 2009), migración (Xing et al., 2005) y fisión (Gulisano et al., 2012; Ishii & Suzumura, 2011; Gedik et al., 2014; Fernandez et al., 2013), si bien existen más, sólo se trataron estas porque se consideran las más relevantes y que han sido trabajadas en la literatura relacionada al dominio del problema.

3.2.1 Planificación determinista

La planificación determinista se centra en los conocimientos *a priori* del sistema, esto significa que se consideran las variables del entorno que se poseen y respecto a esto se toma una decisión de como debe actuar el sistema.

En el área de *Stream processing* se han realizado diferentes análisis de la estimación de frecuencia de *data stream* en el sistema. Para poder realizar esto, se han considerado modelos matemáticos, tomando ventanas de tiempo de la frecuencia predicha y la real, para posteriormente generar con los datos una función que represente la frecuencia estimada del operador, es decir, el tráfico esperado que llegará al operador en la ejecución del sistema

(Ganguly, 2009). Pero no sólo se han considerado modelos matemáticos, sino también algoritmos que determinan la frecuencia del sistema dado el flujo de datos que se podría recibir (Bhuvanagiri et al., 2006).

En otras áreas como red de sensores, se utiliza esta técnica en el envío de estadísticas de dispositivos móviles, los cuales manejan información *a priori* de donde están los sensores, de tal manera de determinar según la intensidad de la frecuencia, localización o clima, a dónde debe enviar la señal para que se recolecte la información correspondiente (Dong et al., 2007).

Una de las limitaciones de la técnica, es que si bien realiza una predicción determinista de la frecuencia, no necesariamente es correcta a futuro. Esto se debe a que puede analizarse respecto al promedio, pero pueden surgir *peaks* o procesos inesperados del tráfico en el transcurso de la ejecución que pueden generar una sobrecarga en el sistema. Por lo tanto, la estimación al realizarse *a priori*, sólo considera al inicio del sistema o ventanas de tiempo, por lo que puede existir un porcentaje de error considerable. Por otra parte, se considera que esta técnica posee mejor rendimiento si es que la frecuencia o función analizada es estacionaria, caso que raramente ocurre en el tráfico de internet o redes sociales, debido que suceden eventos externos que influyen en el tráfico analizado (Karp et al., 2003).

3.2.2 Load Shedding

En los SPS también se utiliza la técnica de *load shedding*, que consiste en descartar eventos del sistema en caso de existir una sobrecarga, ya sea un máximo en el tamaño de la cola, tasa de rendimiento u otro factor. En la Figura 3.1 se observa que existe un operador A, el cual recibe datos en un período de tiempo, debido a la cola que existe por parte del sistema, se considera utilizar un operador denominado *Shedding*, que en caso de existir un flujo de datos mayor al umbral propuesto, va a descartar los eventos que excedan el umbral. Por ejemplo, en la transmisión de *video streaming*, al enviar el flujo de información existe un administrador que está analizando el contenido a procesar, por lo que en caso de llegar datos de baja calidad,

se descartados por éste. De esta manera, al existir menor cantidad de ruido, existe un mejor procesamiento del video, teniendo una mejor calidad en la visualización de los videos, dado que en su mayoría se procesan datos de alta calidad (Sheu & Chi, 2009).

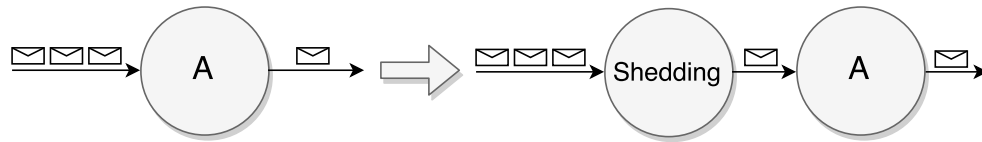


Figura 3.1: Load shedding en un SPS.

En el mundo de los SPS, varios poseen este tipo de estrategia, como por ejemplo S4 (S4, 2014), donde se establece una cota superior de eventos en cola, y en caso que su cola sea igual al límite establecido, los eventos entrantes serán descartados. Otro sistema que aplica esta técnica es Aurora (Abadi et al., 2003), el cual se basa en procesamiento de datos por ventanas de tiempo, por lo que en caso de existir una ventana de tiempo con una mayor cantidad de eventos de lo estipulado, se descarta el exceso de eventos.

Si bien esta técnica es simple y de bajo costo, siendo pensada para la disminución rápida de carga, existe una baja en la precisión y fiabilidad del procesamiento de los datos. Por ejemplo, en el caso de la transferencia de video no es trascendental, dado que son pocos los pixeles perdidos, pero en una recopilación y análisis de estadísticas, esto da una menor precisión de la información obtenida por el sistema, dado que puede perderse información que indique comportamientos de los datos estudiados.

3.2.3 Migración

La técnica de migración está basada en el traspaso de un operador de un nodo a otro, según el estado del sistema. En la Figura 3.2 se puede apreciar dos nodos, los cuales poseen tres y dos operadores respectivamente, pero debido a una sobrecarga del nodo 1, se realiza una migración de un operador al nodo 2, ya que este se encuentra con menor carga, de esta manera, se reparten homogéneamente la carga.

Si bien no existe una implementación que utilice la perspectiva según los recursos

lógicos, si existe una que utiliza la perspectiva según los recursos físicos como es el caso de Borealis, el cual fue explicado anteriormente (Xing et al., 2005). Una de las principales críticas que se realiza a esta técnica, es que puede existir una falla en la comunicación del operador, donde no existe un mecanismo para evitar la pérdida de los datos. Debido a lo anterior, es que se propone el uso de *buffer* que tengan respaldos de la información, aumentando los costos del sistema (Pittau et al., 2007).

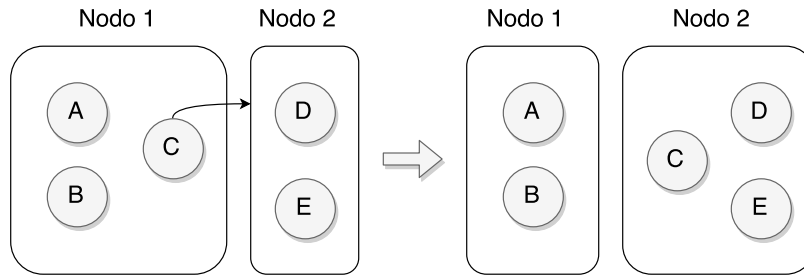


Figura 3.2: Técnica de migración en un SPS.

3.2.4 Fisión

Otra técnica utilizada en el balance de carga es la fisión, o también llamada replicación, que permite paralelizar el procesamiento, la cual consiste en crear una réplica paralela del operador, sin perder el funcionamiento y estado, en caso de existir una sobrecarga en el operador. En Figura 3.3 se presenta un operador A, el cual en primera instancia recibe un flujo de entrada q_1 y genera un flujo de salida q_2 . Sin embargo, dado que este operador se sobrecarga se crean dos operadores extras, los cuales pasarán por una fase de *Split* y posteriormente por una fase de *Merge*. Estas fases son necesarias para distribuir y juntar la información respectivamente, y en general son de bajo costo, por lo que no es necesario replicar. En caso de ser necesario replicar el operador *Merge*, debe existir un *merge* de las distintas réplicas de éste, lo cual hace más complejo el diseño del sistema. En ciertos SPS se posee el planteamiento que el *split* y el *merge* son operadores que deben ser realizados por el programador, y no de forma automática por el sistema, como S4 o Storm. Una de las características que se posee de esta técnica es que permite generar un sistema elástico, donde se puede aumentar o disminuir la cantidad de

operadores según los requerimientos del sistema.

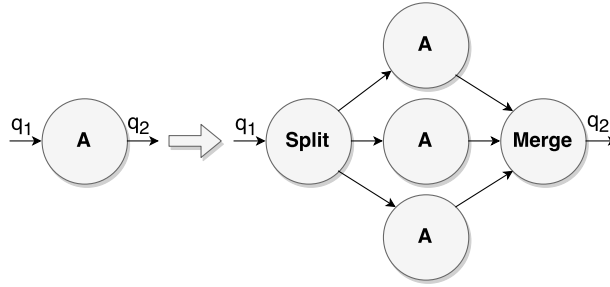


Figura 3.3: Técnica de fisión en un SPS.

Una aplicación que utiliza la técnica de fisión bajo el enfoque estático, es la paralelización de tareas de Storm (Leibiusky et al., 2012). Aquí se debe indicar en la topología del grafo la cantidad de operadores necesarios para realizar una tarea. De esta manera, por cada tarea se asigna un proceso, el cual tiene a su disposición n hebras según la cantidad de operadores que se desea para cumplir dicha tarea.

Otro sistema que utiliza esta técnica, bajo un enfoque dinámico, es *StreamCloud* (Gulisano et al., 2012). Aquí según la cantidad de consultas realizadas al sistema se aumenta o disminuye la cantidad de operadores que cumplen las tareas que se solicitan. Para esto, es necesario un operador que distribuya los datos, denominado *split*, y uno que junte la información entregadas por las réplicas del operador, denominado *merge*. Por lo que este sistema sólo soporta ciertas operaciones, de tal manera que se creen de forma automática los operadores de *split* y *merge*. De esta manera, no existe problemas con los operadores con estado, como lo son los contadores y algoritmos de ordenamiento, dado que automáticamente realiza el procedimiento de separación y unión de los datos. Una de las características principales de este sistema, es aplicar el concepto de elasticidad, que aumenta y disminuye la cantidad de operadores según lo requerido por el sistema. Otros trabajos como (Gedik et al., 2014; Schneider et al., 2009) también aplican este método, y paralelizan las tareas de forma elástica, y con parámetros similares, sólo que su implementación es distinta, debido que este anterior propone utilizar *Cloud* para el uso del SPS, en cambio los otros proponen el uso sobre *clusters* de computadores. De esta manera, el enfoque se basa en la paralelización de las tareas entre las distintas máquinas, a diferencia del sistema utiliza *Cloud*, donde aumenta o disminuye la cantidad de máquinas según la necesidad

del sistema.

En (Fernandez et al., 2013), aplican fisión en el caso que exista un cuello de botella en un operador. Para la detección de estas situaciones, se posee un monitor, el cual está consultando en un período de tiempo corto, el estado de cada uno de los operadores. De esta manera, en caso que un operador sobrepase el umbral de carga establecido, el cual está determinado por la utilización de CPU. En la Figura 3.4 se puede ver un sistema, en el cual el operador u está enviando un flujo de datos al operador o . Una vez o se sobrecarga (cuello de botella), este se debe replicar, hasta reducir la carga hasta un umbral deseado, en otras palabras, llegó a la cantidad de réplicas necesarios, y ya no es necesario replicar más.

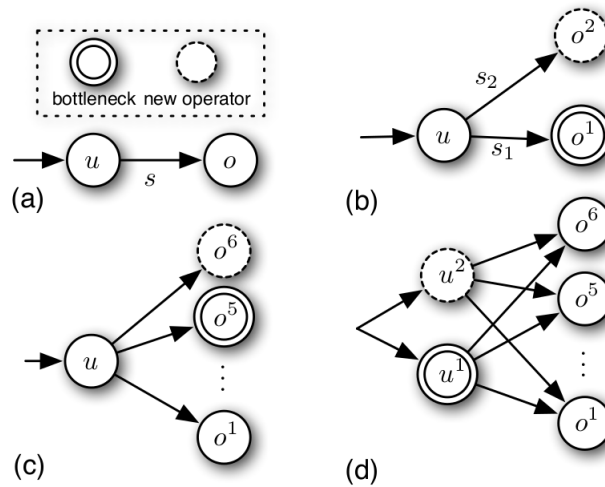


Figura 3.4: Ejemplo de replicación de los operadores (Fernandez et al., 2013).

Dentro de las desventajas existentes por parte de estos trabajos realizados, es que no utilizan la historia del operador para analizar el comportamiento a futuro de la carga. El uso de sistemas de predicción puede estabilizar el sistema cuando existen *peaks* en el tráfico, debido que estos son detectados en el pasado, y se verifica si pueden ocurrir en el futuro, por lo que de ser así, se modifica el sistema en base a lo predicho.

CAPÍTULO 4. DISEÑO DEL MODELO ELÁSTICO

Como se hizo mención en el Capítulo 1, el problema de la sobrecarga en un SPS está dado por el carácter estático del diseño de la aplicación, una vez comenzado la ejecución de ésta. Esto quiere decir, que en el momento que el sistema está en ejecución, no existen un mecanismo que permita adaptar los recursos a las necesidades actuales del sistema, por lo que se vuelve ineficiente, pudiendo generar sobrecargas en los operadores que lo componen.

Bajo un escenario como este, es necesario un sistema dinámico, que pueda adaptar su estructura, dependiendo de la carga y el flujo de datos recibidos. Considerando esta problemática, se diseñó un sistema que se adapta de manera automática a las condiciones de tráfico y carga, logrando optimizar su rendimiento, sin comprometer de manera significativa el rendimiento del sistema.

4.1 ANÁLISIS DEL MÓDELO ELÁSTICO

Dentro del análisis realizado en la arquitectura del sistema implementado, se utiliza una perspectiva basado en los recursos lógicos del sistema según el enfoque dinámico, las cuales fueron explicadas en la Sección 3.1, para el balance de carga del SPS. El presente trabajo no se enfoca en el análisis del comportamiento de cada uno de los nodos físicos del sistema, sino que más bien en el estado de cada uno de los operadores del grafo diseñado, siendo un problema de carácter lógico y no físico.

Respecto al estudio de las distintas técnicas implementadas, es necesario utilizar una que no pierda o minimice la pérdida de datos, que fuera capaz de adaptarse a las condiciones dinámicas del tráfico, y que introduzca un bajo *overhead* al sistema, de tal manera que sea escalable. Bajo estas restricciones, se considera que la mejor opción es utilizar la técnica de fisión, utilizando el modelo de replicación de Fernández (Fernandez et al., 2013), donde basándose en el nivel de carga del operador se genera o no una réplica para este. Dentro de las hipótesis, se plantea que el costo de un operador es menor a la formación de las colas de datos en el sistema,

lo cual puede variar según la arquitectura del SPS implementando.

En la Figura 4.1 se muestra un ejemplo de la replicación propuesta, donde en la Figura 4.1 (a) se presentan tres operadores, donde en el operador B existe una sobrecarga representada por una doble circunferencia, por lo que es necesario replicar el operador. En la Figura 4.1 (b) se presenta el operador ya replicado, pero todavía persiste la sobrecarga en éste, por lo que se vuelve a realizar el mismo procedimiento, hasta que finalmente converge a la cantidad óptima de réplicas deseadas en el sistema en el período de tiempo analizado, como se muestra en la Figura 4.1 (c).

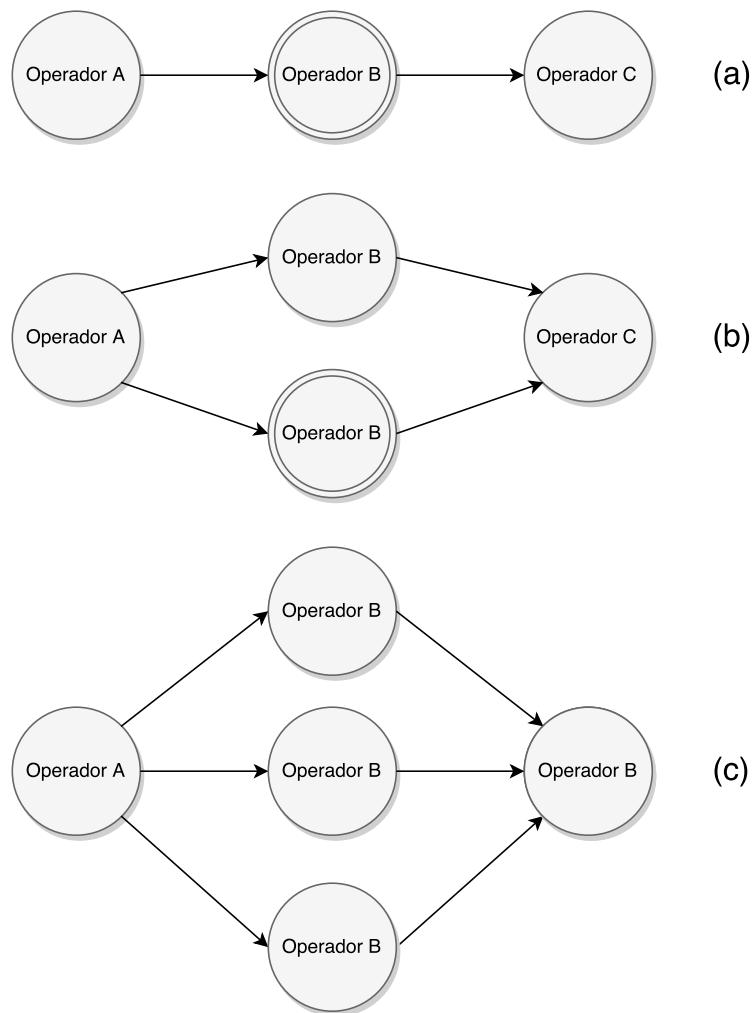


Figura 4.1: Ejemplo de replicación del modelo propuesto.

Para la detección del nivel de carga de un operador es necesario contar con un modelo basado en umbrales que permita determinar cuando está o no sobrecargado un operador.

Para modelar esta situación se utilizan conceptos de teoría de colas (Bose, 2013). Dado que los SPS utilizan un paradigma orientado a grafos, se puede obtener tanto la tasa de llegada (λ) como la tasa de servicio (μ) de cada uno de los operadores que lo componen, como se ve representando en la Figura 4.2. Aquí la tasa de procesamiento de un operador influye directamente en la tasa de llegada del siguiente operador en el grafo. Al utilizar estos conceptos, se calcula la tasa de rendimiento (ρ), la cual está definida por la tasa de llegada, de procesamiento y la cantidad de réplicas del operador ($\rho = \frac{\lambda}{\mu s}$), cuyo valor representa el factor de utilización del sistema, donde se define un sistema estable si y sólo si $\rho < 1$.

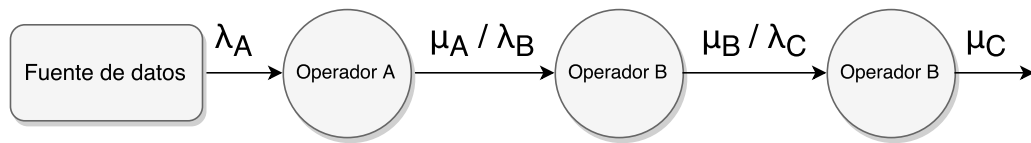


Figura 4.2: Enfoque de un SPS con conceptos de teoría de colas.

Tomando en consideración el enfoque dinámico en el algoritmo de balance de carga y la elasticidad que se pretendía por parte del modelo, es que se trataron tres posibles estados en el sistema: ocioso, estable e inestable. El primer estado corresponde a un exceso en la cantidad de recursos asignados. El segundo está definido por el rendimiento óptimo del sistema. Y por último, el tercero hace referencia a un sistema sobrecargado, donde es necesario una mayor cantidad de recursos por parte de éste. Los posibles estados de cada operador, son la base para el análisis y predicción de la carga en el sistema de distribución de la misma.

Para el modelo propuesto, se consideraron dos tipos de algoritmos: predictivo, enfocado en el futuro basado en la historia del operador, y reactivo, analizando el comportamiento del momento. Este diseño tiene la finalidad de analizar dos factores: los *peaks* existentes en la historia del operador, dado el algoritmo predictivo, y analizar el comportamiento en el momento, haciendo uso del algoritmo reactivo, de tal manera de solucionar los comportamientos que no son detectados con la predicción.

Es importante denotar que dependiendo del tipo de caso es que un algoritmo va a funcionar mejor. Por ejemplo, si existe una variación muy alta en un período de tiempo considerable, el algoritmo predictivo puede detectar este tipo de *peaks*. De esta manera, la

predicción es más asertiva que el análisis en el momento. Pero en casos que no exista este tipo de casos, y sólo hayan variaciones en ciertos instantes de la ejecución, se encuentra el algoritmo reactivo para analizar el estado del operador.

Además de lo anterior, se considera que es necesario trabajar con los dos algoritmos en temporalidades distintas, es decir, en cierto período de tiempo se va a utilizar el reactivo y en otro el predictivo. Esto quiere decir que mientras se obtienen las n muestras para realizar el cálculo de predictivo, el algoritmo reactivo está realizando un análisis de los distintos operadores.

Como se diseñaron dos tipos de algoritmos que se complementan, es necesario considerar un algoritmo que administre cual de los dos algoritmos se va a utilizar según el período analizado, como también la cantidad de réplicas que deben crearse o eliminar según el resultado del algoritmo utilizado.

Dado lo anterior, se ha diseñado un modelo elástico de distribución de carga con cuatro componentes: monitor de carga, analizador de carga, predictor de carga y administrador de réplicas, que se pueden apreciar en la Figura 4.3.

Monitor de carga: está encargado de recolectar las estadísticas del sistema, tanto para el algoritmo reactivo, como para el historial del algoritmo predictivo.

Analizador de carga: analiza la cantidad de carga de un operador en un período de tiempo determinado según el algoritmo reactivo, y respecto a esto se indica el estado del operador. Para esto, se considera la tasa de rendimiento del operador, y según el valor que posea se determina el estado, el cual puede ser ocioso, estable o inestable.

Predictor de carga: es el módulo del algoritmo predictivo, que analiza la historia de un operador en una ventana de tiempo determinada, utilizando como muestra la tasa de rendimiento del operador, para posteriormente realizar una cadena de Markov según los posibles estados del sistema. Posteriormente, para la predicción de la carga del operador, se calcula la distribución estacionaria (Papoulis, 1984), el cual entrega la probabilidad que el operador se encuentre en cada uno de los posibles estados.

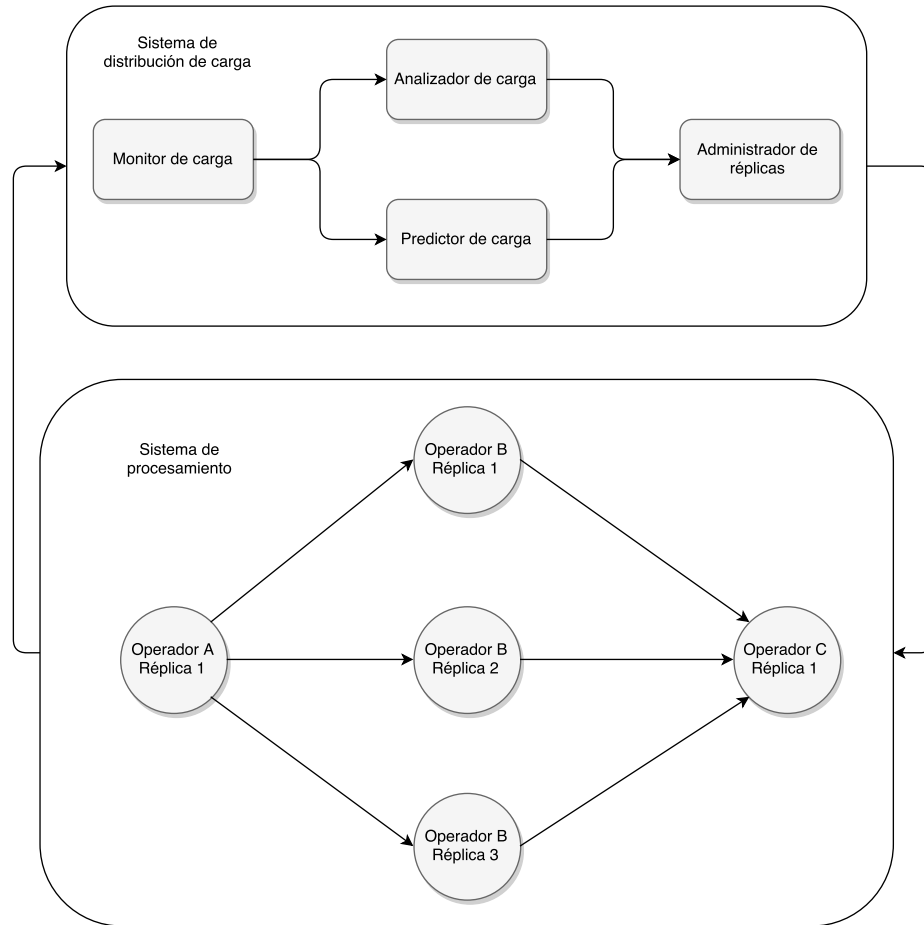


Figura 4.3: Estructura del modelo elástico.

Administrador de réplicas: se encarga de determinar cual es el algoritmo a utilizar en cada período de tiempo, ya sea reactivo o predictivo, y la administración de las réplicas utilizando como entrada la información prevista por el analizador y predictor de carga.

En las siguientes secciones se profundiza en el diseño propuesto para cada uno de estos módulos.

4.2 RECOLECCIÓN DE LOS DATOS

Como se había mencionado anteriormente, el monitor de carga está encargado de recolectar los datos necesarios para el funcionamiento del modelo elástico, tanto el historial para el algoritmo predictivo, como la tasa de rendimiento para el algoritmo reactivo. Para esto se

consideraron ventanas de tiempo de un segundo para la recolección de muestras para el análisis predictivo, y cinco segundos para el análisis reactivo.

La recolección de muestras para el algoritmo predictivo se realiza cada un segundo, debido que se considera tiempo suficiente para obtener una muestra representativa del operador. De esta manera, se espera que existan cien muestras para que se ejecute el algoritmo predictivo, por lo que existe una ventana de tiempo de cien segundos entre cada ejecución del algoritmo. La cantidad de muestras fue determinado según la literatura, debido que se consideraba un número apropiado para realizar una predicción del operador (Ching & Ng, 2006), de tal manera de no existir una deficiencia en la cantidad de muestras para la predicción deseada.

Por otra parte, para la obtención de muestras para el algoritmo reactivo, se consideraron muestras obtenidas en períodos de cinco segundos. La muestra está compuesta por la tasa de rendimiento del operador en ese período, la cual es utilizada por el algoritmo reactivo para determinar el estado del operador según los umbrales propuestos. Dentro de las consideraciones realizadas para la recolección de datos para el algoritmo reactivo, está el considerar que la tasa de servicio (μ) es homogénea con el transcurso del tiempo, considerando que los datos procesados son homogéneos, por lo tanto, se considera el valor promedio en el procesamiento de los datos.

Cabe destacar que cuando el algoritmo predictivo se ejecuta, no es necesaria la recolección de los datos del período, debido que el algoritmo reactivo no se ejecuta en el mismo período que el predictivo. Sólo la recolección del historial es realizada en todo momento, dado que éstas son guardadas para posteriormente ser analizadas por el algoritmo predictivo.

4.3 ALGORITMO REACTIVO

El diseño del algoritmo reactivo se basa en el tipo de análisis del estado del operador en un período determinado, siendo definido su estado por una variable del operador, el cual depende del rango en que se encuentre dado los umbrales que se poseen. En este diseño analiza según la tasa de rendimiento (ρ), donde el estado del operador depende del valor que éste posea

según los parámetros del algoritmo.

En el Algoritmo 4.1 se puede ver el algoritmo que analiza el estado de un operador según su tasa de rendimiento; que en el caso que sea mayor a 1, su estado es inestable, menor a 0.5, significa que está en estado ocioso, y en otro caso, significa que está estable. Estos datos posteriormente son considerados por el administrador de réplicas, el cual analiza el comportamiento que debe tener el sistema según lo indicado por el algoritmo.

Algoritmo 4.1: Algoritmo reactivo del modelo elástico.

Entrada: Tasa de procesamiento ρ del operador ϕ .

Salida: Estado del operador, donde -1 significa estado ocioso, 0 estable y 1 inestable.

```
1: if  $\rho_\phi > 1$  then  
2:   return 1  
3: else if  $\rho_\phi < 0,5$  then  
4:   return -1  
5: else  
6:   return 0  
7: end if
```

En la Figura 4.4 se puede ver el estado de un operador según la tasa de procesamiento. En los primeros 90 segundos la tasa del operador es mayor al límite superior, lo cual indica que el sistema es inestable, es decir, el operador posee sobrecarga. Posteriormente, en el segundo 100, la tasa de rendimiento empieza a disminuir, ya sea por una optimización sobre los recursos lógicos o una disminución de la tasa de llegada, por lo que ahora el operador ya no se encuentra sobrecargado (inestable), sino se encuentra entre el límite inferior y superior, cuyo rango define al operador como un sistema estable.

4.4 ALGORITMO PREDICTIVO

Para la confección del algoritmo predictivo se realizó un análisis según las cadenas de Markov (Ching & Ng, 2006), por lo que se tuvieron que seguir las siguientes etapas:

- Definir muestras en tiempos discretos, las cuales cambian con el tiempo según un proceso estocástico. Las muestras se definieron como la tasa de procesamiento (λ) del operador, la cual dependiendo de su valor, otorgar un estado al operador.

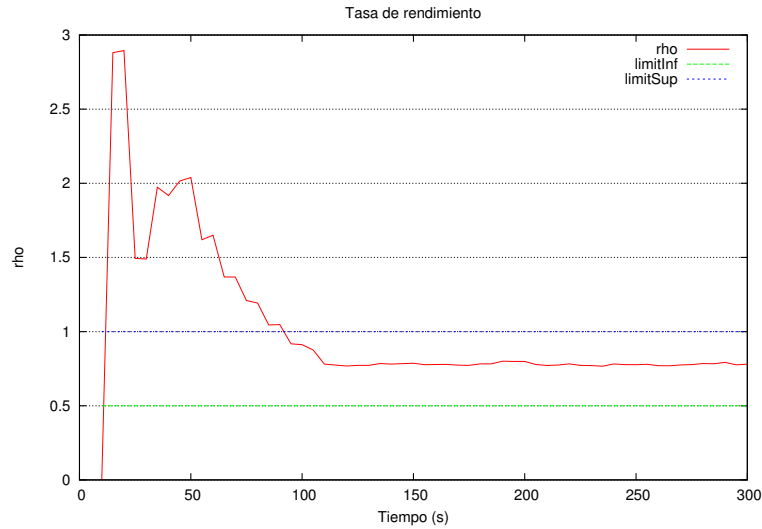


Figura 4.4: Comportamiento de la tasa de procesamiento de un operador.

- Determinar los estados finitos que se van a utilizar para la conformación de la cadena, que son los estados que se puede encontrar el operador: ocioso, estable o inestable.
- Obtener una cantidad representativa de muestras para la construcción de la cadena de Markov en el período analizado. Estas muestras son independientes entre un período y otro, por lo que los valores de la cadena de Markov cambian en cada período de tiempo. Para la implementación del algoritmo, se consideraron cien muestras por cada período, cuyos intervalos son de cien segundos, valor establecido en base al trabajo de (Gong et al., 2010).

Tomando las bases anteriores, se ha diseñado una cadena de Markov en base a tres posibles estados: ocioso, estable e inestable, como se muestra en la Figura 4.5. Cada uno de los estados posee una probabilidad de transición hacia algún estado, cuyas probabilidades están definidas por las muestras obtenidas en el período de tiempo analizado.

Por lo tanto, para cada operador se construye una cadena de Markov según el historial obtenido en la ventana de tiempo, cuyo período es de 100 segundos. Para la conformación de la cadena de Markov se consideraron las muestras de la historia de los operadores, por lo que la transición de una muestra a otra presenta una transición, las cuales dieron origen a la matriz de transición. En el Anexo A se presenta el algoritmo que se ha empleado para construir esta matriz. En la ecuación 4.1 se muestra la matriz de transición que se obtiene de la

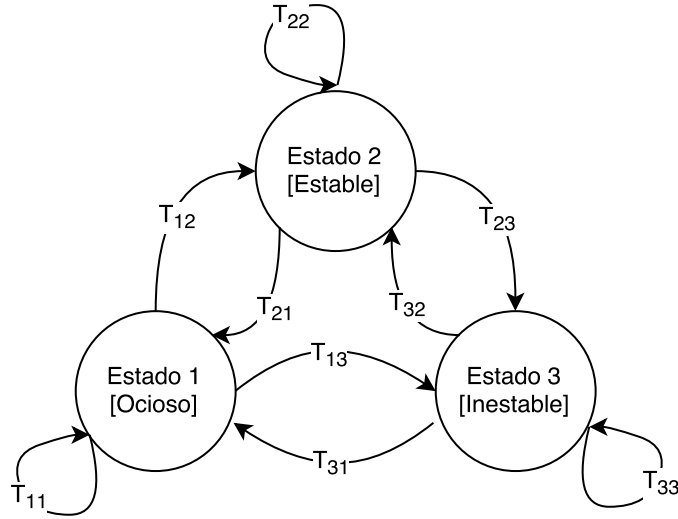


Figura 4.5: Cadena de Markov dado el modelo propuesto del sistema.

cadena de Markov de la Figura 4.5.

$$P = \begin{bmatrix} T_{1,1} & T_{1,2} & T_{1,3} \\ T_{2,1} & T_{2,2} & T_{2,3} \\ T_{3,1} & T_{3,2} & T_{3,3} \end{bmatrix} \quad (4.1)$$

Obtenida la matriz de transición se puede calcular la distribución estacionaria de la cadena de Markov, la cual indica las probabilidades que en el futuro el operador esté en cada uno de los posibles estados, ya sea ocioso, estable o inestable. Para este cálculo se utiliza la ecuación de Chapman-Kolmogórov (Papoulis, 1984) descrita en la Sección 2.5.1.

El Algoritmo 4.2 describe el cálculo de la distribución estacionaria, cuya entrada es la matriz de transición de un operador del SPS.

Antes de realizar el cálculo, es importante analizar si efectivamente existen transiciones en todos los estados, debido a que existe la posibilidad que no haya una transición a un estado en particular en un período de tiempo dado. Por ejemplo, puede ocurrir que en una ventana de tiempo nunca se ha alcanzado el estado ocioso en el sistema, pero si el estable o inestable. Como el cálculo de la distribución estacionaria requiere un estado de inicio, se ha verificado si efectivamente existe o no el estado, y en caso no existir, el estado de inicio será alguno existente.

La cantidad de iteraciones que debe realizarse para el cálculo correspondiente, es un parámetro entrada del algoritmo. Es importante destacar que entre mayor es la cantidad de iteraciones, mayor es la precisión en el valor de la predicción. Esto implica a su vez un mayor tiempo de cómputo, por lo que se ha considerado un punto medio, de tal manera de lograr un bajo margen de error, pero con bajo costo en el tiempo de ejecución. La cantidad de iteraciones escogida para la implementación fue de 100.000.

Algoritmo 4.2: Cálculo de la distribución estacionaria de la cadena de Markov de un operador ϕ .

Entrada: Γ Matriz de transición del operador ϕ , v cantidad de iteraciones deseadas y última muestra m de las muestras de ρ

Salida: Δ Distribución estacionaria de la cadena de Markov del operador ϕ .

```
1:  $i \leftarrow 0$  //Estado inicial de iteración
2: if  $\rho_m < 0,5$  then
3:    $i \leftarrow 0$ 
4: else if  $0,5 \leq \rho_m \leq 0,5$  then
5:    $i \leftarrow 1$ 
6: else
7:    $i \leftarrow 2$ 
8: end if
9:  $\tau \leftarrow \text{Arreglo}[3]$  //Contador para la normalización de los datos
10: for  $k = 0$  a  $v$  do
11:    $u = \text{randomUniform}(0, 1)$ 
12:    $\sigma = 0$ 
13:   for  $j = 0$  a  $3$  do
14:      $\sigma = \sigma + \Gamma_{i,j}$ 
15:     if  $u \leq \sigma$  then
16:        $\tau_j ++$ 
17:        $i \leftarrow j$ 
18:       break
19:     end if
20:   end for
21: end for
22:  $\Delta \leftarrow \text{Arreglo}[3]$  //Distribución estacionaria de la cadena de Markov del operador  $\phi$ 
23: for  $k = 0$  a  $3$  do
24:    $\Delta_k \leftarrow \tau_k / v$ 
25: end for
26: return  $\Delta$ 
```

Obtenida la distribución estacionaria, se procede a analizar las probabilidades obtenidas y como es el comportamiento del operador. Para esto, se ha considerado que las probabilidades tuvieron una desviación estándar superior a 0.25, lo que indice que que la probabilidad mayor de la distribución estacionaria no posee incertidumbre (Soong, 2004), porque en caso que no supere la desviación estándar, puede ser que dos probabilidades sean muy

parecidas y la probabilidad no sea un comportamiento determinante. El Algoritmo 4.3 detalla el análisis que se realiza a la distribución estacionaria, siendo en primer lugar el análisis estadístico de las probabilidades, y en segundo lugar la obtención del estado con mayor valor de las probabilidades, retornando finalmente el estado del operador. Cabe destacar que el primer estado se ha considerado ocioso, el segundo estable, y el tercero inestable.

Algoritmo 4.3: Algoritmo predictivo del modelo elástico.

Entrada: Δ Distribución estacionaria de la cadena de Markov del operador ϕ .

Salida: Estado a futuro del operador, donde -1 significa estado ocioso, 0 estable y 1 inestable.

```

1: if  $\sigma(\Delta_1, \Delta_2, \Delta_3) > 0,25$  //Desviación estándar de las probabilidades de la distribución
   estacionaria then
2:    $i \leftarrow getStateMax(\Delta)$  //Obtención del estado con mayor probabilidad
3:   if  $i = 1$  then
4:     return -1
5:   else if  $i = 2$  then
6:     return 0
7:   else
8:     return 1
9:   end if
10: end if
11: return 0

```

4.5 ADMINISTRACIÓN DEL SISTEMA

El último componente del modelo es el administrador de réplicas, cuya función es administrar la cantidad de réplicas en cada uno de los operadores según los recursos disponibles en el sistema y según el estado que adopte un operador, ya sea a futuro o en el momento.

Para esto, se ha diseñado un administrador que ejecuta uno de los algoritmos (reactivo o predictivo) según el período del ciclo que se encuentre el sistema. Cada ciclo posee 20 períodos, donde los primeros 19 corresponden al algoritmo reactivo y el último corresponde al algoritmo predictivo. Cada período posee un intervalo de 5 segundos, de esta manera, cada ciclo tendrá un intervalo de 100 segundos, la cantidad necesaria para obtener las muestras para el algoritmo reactivo, suponiendo que cada muestra es obtenida cada 1 segundo.

En el Algoritmo 4.4 está el procedimiento de administración, donde primero se analiza que tipo de algoritmo se debe ejecutar según el período del ciclo. En caso de realizarse el

Algoritmo 4.4: Administración de réplicas de un operador ϕ dado su comportamiento en el modelo elástico.

Entrada: Operador ϕ a analizar y ι período en que se encuentra el modelo elástico.**Salida:** Cantidad de réplicas a modificar del operador.

```
1: if  $\iota \bmod 20 \neq 0$  then
2:    $\delta_\iota \leftarrow \text{AlgoritmoReactivo}(\phi)$ 
3:   if  $\delta_\iota$  and  $\delta_{\iota-1}$  son estado inestable then
4:     if No excede la cantidad máxima de réplicas en el sistema then
5:        $\delta_\iota \leftarrow$  estado estable
6:       return Crear una réplica del operador  $\phi$ 
7:     end if
8:   else if  $\delta_\iota$  and  $\delta_{\iota-1}$  son estado ocioso then
9:     return Remover una réplica del operador  $\phi$ 
10:  end if
11: else
12:    $\delta_\iota \leftarrow \text{AlgoritmoPredictivo}(\phi)$ 
13:   if  $\delta_\iota$  es estado inestable then
14:     if No excede la cantidad máxima de réplicas en el sistema then
15:       return Crear cinco réplicas del operador  $\phi$ 
16:     end if
17:   else if  $\delta_\iota$  es estado ocioso then
18:     return Remover cinco réplicas del operador  $\phi$ 
19:   end if
20: end if
21: return No hacer nada al operador  $\phi$ 
```

algoritmo reactivo, se analiza si existen dos alertas consecutivas del mismo estado del operador, ya sea ocioso o inestable, y de ser así, realizar una modificación a la cantidad de réplicas del operador. Además, se cambia el estado del operador a estable, de tal manera de no considerar ese período para el próximo análisis reactivo, esto se realiza para dejar un margen de descanso para el algoritmo reactivo. Por otra parte, de ejecutarse el módulo predictivo, se analiza cual fue la predicción, por lo que si el estado es ocioso el sistema disminuye la cantidad de réplicas y si es inestable las aumenta. Como el proceso de predicción se realiza con menor frecuencia y posee mayor cantidad de cómputo, se ha considerado que se debe crear o remover mayor cantidad de réplicas que en el módulo reactivo, aprovechando así el análisis de la historia del operador.

Dentro de las consideraciones que se tuvieron para el diseño del administrador, fue la cantidad máxima de réplicas que podían realizarse. Dado que una de las limitantes de este trabajo fue que sólo se utilizó una máquina, y por ende la cantidad de recursos limitados, aumentar la cantidad de réplicas indefinidamente genera una sobrecarga en los recursos disponibles por parte de la máquina.

CAPÍTULO 5. EXPERIMENTOS Y EVALUACIÓN

5.1 IMPLEMENTACIÓN DEL SISTEMA

Para la implementación del sistema propuesto, se ha utilizado como base el sistema de procesamiento de *stream* S4 (S4, 2014), cuyo modelo fue explicado en la Sección 2.3. El desarrollo del sistema de distribución de carga propuesto se ha implementando en Java, modificándose el código fuente de S4, para incluir las funcionalidades de la solución propuesta, de tal manera que fuera automático y transparente para el usuario del SPS.

El sistema diseñado fue añadido al proyecto S4, siendo un paquete denominado *monitor* que contiene las clases *S4Monitor*, *MarkovChain*, *MonitorMetrics*, *StatusPE* y *TopologyApp*. La primer clase corresponde a la implementación de las funcionalidades del sistema de distribución de carga, ya sea la recepción de los datos del sistema, ejecución del algoritmo reactivo o predictivo y administración de las réplicas de cada operador. La segunda clase implementa el modelo de cadena de Markov usando el algoritmo predictivo, donde se encuentra tanto la conformación de la matriz de transición como el cálculo de la distribución estacionaria. La tercera clase se utiliza para recolectar las estadísticas de cada operador, y analizar los experimentos. Finalmente, la cuarta y quinta clases son utilizadas para la implementación del sistema de distribución de carga, siendo la primera el estado de cada PE y la segunda la topología que posee el grafo creado por el usuario, los cuales pueden verse con más detalle en el Anexo B.

Para la ejecución del SPS en conjunto con el monitor, se debe en primer lugar registrar los PEs. Para esto, se ha implementado una función que tiene como parámetro dos PEs, donde el primero es el PE emisor y el segundo el receptor. Esta información es importante para obtener la topología del grafo, dado que con esto se puede realizar un análisis del rendimiento de los PEs.

Además de lo anterior, para el análisis de cada uno de los PEs, se ha añadido los atributos correspondientes a la cantidad de eventos entrantes y salientes cada un segundo y cinco segundos en la clase del PE. Esto es utilizado posteriormente para las estadísticas deseadas para

el algoritmo reactivo y predictivo. La tasa de llegada es considerada desde el momento en que se recibe el evento desde el PE emisor, y la tasa de servicio es considerada desde el momento que se termina de realizar la ejecución de la tarea en el PE. Además, se ha agregado un atributo booleano, el cual indica si el PE debe aumentar o disminuir la cantidad de réplicas que posee al iniciar el sistema.

Para el funcionamiento del sistema de distribución de carga se ejecutan dos tareas en la aplicación de S4: una tarea que guarda las muestras para el historial del operador y otra que envía las estadísticas del operador, las cuales poseen un intervalo de ejecución de 1 y 5 segundos respectivamente. La primera tarea analiza cada uno de los PEs, tomando en consideración las estadísticas de eventos entrantes y salientes, para obtener la tasa de llegada (λ) y servicio (μ), para posteriormente calcular la tasa de rendimiento en la ventana de tiempo analizada, guardando así la muestra en el historial. La segunda tarea obtiene las estadísticas de cada uno de los PEs, la tasa de llegada (λ) y servicio (μ), dado los eventos entrantes y salientes, cantidad de eventos totales e historial del PE, los cuales son enviados al monitoreo de carga, para ejecutar el algoritmo que corresponda según la ventana de tiempo. Finalmente el módulo de administración de réplicas aumenta o disminuye las réplicas necesarias en cada operador. El código de la implementación se puede observar en el Anexo C.

En el caso del envío de las estadísticas, después de ser enviadas, se consulta el estado de cada uno de los operadores, y en caso de ser necesario, se realiza las modificaciones en el sistema, ya sea para crear o eliminar réplicas de un operador. Por lo que se consulta la cantidad de réplicas que estima el sistema de distribución de carga deben existir, y en caso de ser un número de réplicas mayor que el actual, se crea la cantidad de réplicas faltantes. Por otra parte, si el número de réplicas estimado es menor, se eliminan las réplicas sobrantes, por lo que se finaliza la ejecución de las réplicas sobrantes y posteriormente las remueve. En caso que el operador se haya identificado con el atributo único significa que no puede aumentar ni disminuir la cantidad de réplicas asignadas a éste. Este tipo de atributos es necesario para operador que al replicar es necesario un operador auxiliar para juntar las respuestas que entrega cada réplica, de esta manera, el operador es único y no es necesario unir sus respuestas. Los códigos asociados

a los de creación o eliminación de réplicas se encuentran adjuntos en el Anexo C.

Dado que en el diseño se propuso un mecanismo de balance de carga basado en la técnica de replicación, fue necesario modificar S4, de manera de poder manejar las réplicas de los operadores. Se ha implementado el SPS de tal manera de poder manejar un algoritmo que escogiera la réplica que tuviera menor tamaño en la cola de espera al momento de enviar un dato, y así siempre escoger al operador con menor carga, y en caso que posean el mismo tamaño, utilizar la primera réplica disponible.

En la Figura 5.1 se explica gráficamente la distribución de la carga. En la Figura 5.1 (a) el operador A envía un evento al operador B, el cual posee tres réplicas, siendo las colas de menor las que están en la réplica 2 y 3. Dado que el tamaño de las colas son iguales, se escoge la primera réplica disponible, es decir, la réplica 2. Posteriormente, como la réplica 2 aumenta su cola, la réplica 3 es la que posee menor cantidad de eventos en cola, como se demuestra en la Figura 5.1 (b), por lo tanto, es la réplica candidata a recibir el evento enviado. Finalmente, en la Figura 5.1 (c) todas las réplicas poseen el mismo tamaño de la cola, por lo tanto, se procede a enviar a la primera réplica.

En el Algoritmo 5.1 se describe la distribución de carga planteada anteriormente, la cual fue implementada en S4 para realizar los experimentos según lo diseñado en el planteamiento de los algoritmos.

Algoritmo 5.1: Distribución de carga entre las réplicas de un operador.

Entrada: Evento ϵ y operador ϕ .

Salida: Envío del evento a la réplica disponible del operador ϕ .

1: $\theta \leftarrow \min \text{TamanoCola}(\phi)$ //Se escoge la réplica que posea menor cola

2: $\text{envioEvento}(\epsilon, \theta)$

5.2 DISEÑO DE LOS EXPERIMENTOS

Para los experimentos se diseñaron tres aplicaciones, una que realiza operaciones con estado, otra que realiza operaciones sin estado, y otra aplicación sintética. En el caso que la aplicación posea estado, significa que el operador guarda variables al procesar con el transcurso

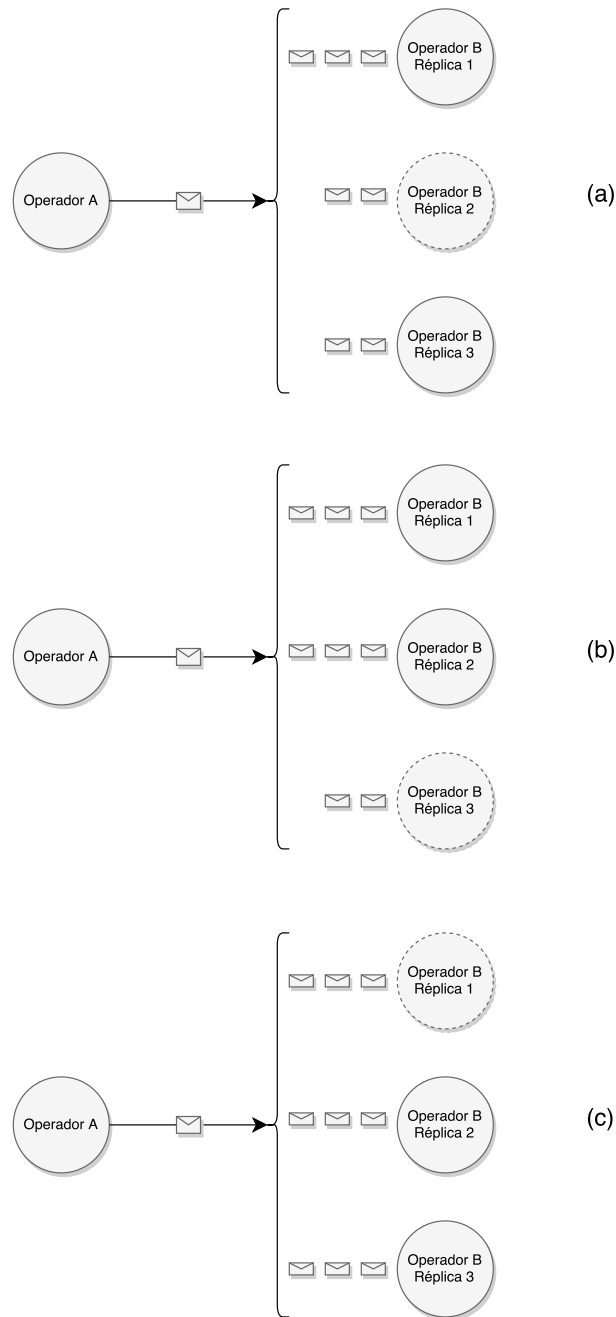


Figura 5.1: Distribución de la carga entre las réplicas.

del tiempo, las cuales van a ser entregadas cada cierto tiempo o al finalizar la ejecución del sistema. Este tipo de aplicaciones son las más utilizadas, dado que utilizan contadores o variables globales, las cuales son necesarias para el análisis de los datos. Un ejemplo de esto, es un sistema que cuenta las palabras de un texto y que envía la cantidad de palabras contadas cada cierto tiempo. Si bien, las aplicaciones sin estado no son tan utilizadas, se consideraron

importantes para la validación del modelo, dado que son las aplicaciones más simples y básicas de diseñar y ejecutar. Por otra parte, la aplicación sintética se refiere a un sistema cuyos operadores sólo generan tiempo de demora artificial, en el caso de este experimento, se deja durmiendo la hebra asignada al operador un período determinado de tiempo.

Para la generación del *stream* de la fuente de datos para la primera y segunda aplicación, se ha utilizado 4.5 millones de *tweets*¹, los cuales fueron recolectados entre los días 27-28 de Febrero y 1-2 de Marzo de 2010, tanto en inglés, portugués y español. Estos contenían información correspondiente a la interacción entre los usuarios durante el terremoto ocurrido el 27 de Febrero en Chile.

Por otra parte, para el envío de los datos se realizaron de dos maneras: constante y variable. El envío de datos constantes consiste en enviar 100 eventos por segundo durante todo el experimento. El envío de datos variable consiste en enviar 50 eventos por segundos el primer tercio del experimento, para luego aumentar a 100 eventos por segundo en el segundo tercio, y finalmente, disminuir a 50 eventos por segundos el último tercio de la ejecución.

5.2.1 Aplicación 1: Análisis de *tweets* en escenarios de desastres naturales

La primera aplicación fue orientada a un escenario de desastres naturales, donde se genera un grafo que realice un filtrado de palabras, identificación del idioma y conteo de palabras. Ninguno de los operadores posee estado, por lo tanto son independientes. Para la duración de esta prueba se ha considerado un tiempo de 70 minutos. El objetivo de esta aplicación, es comprobar que el sistema diseñado puede funcionar con aplicaciones sin estado, las cuales son las más básicas y sencillas de diseñar en SPS, y que tienen utilidad cuando se hacen análisis directo del flujo de datos.

La aplicación consta del flujo de datos, cuyos datos son la muestra de *tweets* de prueba, y cuatro operadores, los cual son denominados *Stopword*, *Language*, *Counter* y *MongoDB*.

¹Un *tweet* es una publicación o actualización de estado realizada en la red social *Twitter*. Como tal, un *tweet* es un mensaje cuyo límite de extensión son 140 caracteres. Puede contener letras, números, signos y enlaces.

Stopword: es el operador encargado de leer el *tweet* y remover las palabras no relevantes para el análisis de éste, usando una bolsa de palabras (*stopwords*). De esta manera, se puede analizar el texto usando las palabras más representativas de éste y así entregar información más precisa.

Language: es el operador encargado de identificar el lenguaje existente en el *tweet*, para esto se utiliza una librería *Apache Tika* (Mattmann & Zitting, 2011). Con ésta se puede realizar un filtro del idioma de los tweets, de tal manera que en caso de ser requerido, sólo continúen los de un idioma en específico, en nuestro caso el español.

Counter: es el operador encargado de contar la cantidad de palabras que existen en el *tweet* según una bolsa de palabras proporcionada por el programador. Para esta prueba se ha utilizado una bolsa de 26.000 palabras en español. Con esto se pueden detectar los *tweets* que poseen mayor cantidad de palabras claves asociados a una temática o evento en particular.

MongoDB: es el operador encargado de guardar en la base de datos el evento según los atributos que posee, ya sea por el *tweet* original, sin *stopword*, idioma y cantidad de palabras claves existentes en él. Para esto, se ha utilizado el motor de base de datos no relacional *MongoDB* (Chodorow, 2013).

En la Figura 5.2 se muestra un ejemplo de la aplicación con sus distintos operadores y relaciones. Las flechas muestran la dirección del flujo de datos emitido por la fuente y los operadores.

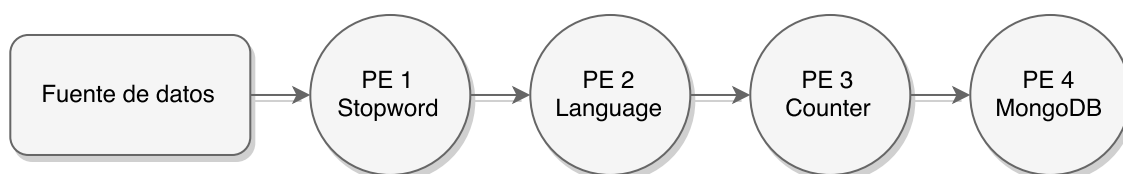


Figura 5.2: Aplicación 1.

5.2.2 Aplicación 2: Contador de palabras en muestras de textos

La segunda aplicación consiste en un contador de palabras, el cual cuenta la cantidad de veces que se repite una palabra en un conjunto de datos según una bolsa de palabras establecida por el usuario. Esta aplicación se considera con estado, debido que debe existir un contador en el operador, de tal manera de contar la cantidad de veces que se repite cierta palabra de la bolsa de palabras en los datos entrantes. Con esta aplicación es posible analizar posteriormente las palabras más frecuentes emitidas por los usuarios de la red social según un listado de palabras claves. Para la duración de esta prueba se ha considerado un tiempo de 70 minutos. El objetivo de esta aplicación era validar el sistema diseñado con aplicaciones con estado, las cuales son las más aplicadas, debido que se realizan análisis generales de los datos, como el caso de los *trending topics* o frecuencia de palabras.

La aplicación consta del flujo de datos, cuyos datos de entrada son la muestra de *tweets* de prueba, y tres operadores, denominados *Split*, *Counter* y *Merge*.

Split: es el operador encargado de dividir el *tweet*, y enviar un arreglo con las palabras que posee al operador *Counter*.

Counter: es el operador encargado de llevar las estadísticas de los contadores de cada palabra. Cuando recibe un evento, el operador aumenta el contador de las palabras que corresponde al arreglo de palabras enviado. Las estadísticas son enviadas cada 10 segundos al operador *Merge*, de tal manera de no enviar flujo constante al siguiente operador y sobrecargar al operador.

Merge: es el operador encargado de unir las distintas estadísticas enviadas por las distintas réplicas del operador *Counter*, sumando los valores que corresponde a las palabras enviadas.

En la Figura 5.3 se muestra un ejemplo de la segunda aplicación con sus distintos operadores y sus relaciones, de igual manera que en el caso anterior, las flechas reflejan el flujo de datos. Cabe destacar que el único operador que puede replicarse es el *Counter*, debido que el operador *Split* y *Merge* son operadores que soportan la replicación del operador *Counter*, como

se explicó en las técnicas de balance de carga en la Sección 3.2.4.

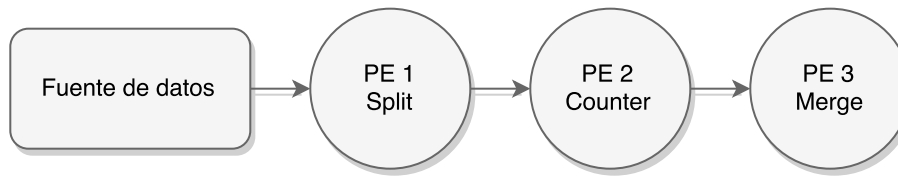


Figura 5.3: Aplicación 2.

5.2.3 Aplicación 3: Aplicación sintética

La tercera aplicación consta de tres operadores sintéticos, los cuales duermen a la hebra asignada al operador un determinado período de tiempo. De esta manera, se genera un tiempo de espera artificial, simulando el comportamiento de un operador real. El objetivo de este tipo de aplicación, es analizar los costos que posee el sistema implementando.

La Tabla 5.1 muestra el período de tiempo que duerme cada PE a su hebra asignada. Los tiempos que se consideraron para esta prueba son para generar una sobrecarga en el primer y segundo operador, de tal manera que después afecten al tercer operador. Para la duración de esta prueba se ha considerado un tiempo de 15 minutos.

Tabla 5.1: Período de tiempo que duerme la hebra asignada al PE.

| PE | Tiempo (ms) |
|----|-------------|
| 1 | 20 |
| 2 | 30 |
| 3 | 15 |

En la Figura 5.4 se muestra un ejemplo de la tercera aplicación con sus distintos operadores y sus relaciones, de igual manera que en los casos anteriores, las flechas reflejan el flujo de datos.

5.3 EVALUACIÓN

Para la ejecución de los experimentos, se ha utilizado un servidor con sistema operativo Ubuntu 14.04.2 LTS, cuyo procesador es un Intel Xeon CPU E5-2650 v2 de 2.60GHz y con 32 GB de RAM. Cabe recalcar, que el lenguaje de programación es Java, debido a la integración del sistema propuesto en el SPS utilizado. La configuración del S4 es detallada en el Anexo D.

5.3.1 Aplicación 1: Análisis de *tweets* en escenarios de desastres naturales

En la primera aplicación se ha procedido a realizar dos experimentos, donde el primero consta de un envío constante de eventos, y el segundo un envío variable. En ambos experimentos, se consideraron dos pruebas, donde la primera consiste en la ejecución de la aplicación en un sistema SPS que usa el sistema de distribución de carga, y la segunda sin el uso de éste, por lo que cada par de figuras son la comparación de la aplicación con y sin monitor respectivamente.

Para el análisis de los experimentos, se ha considerado la cantidad promedio de eventos procesados en un período, la cantidad total de eventos procesados y las estadísticas de cada PE en el transcurso de la ejecución de la aplicación.

Las Figuras 5.5 y 5.6 corresponden al primer experimento y muestran las estadísticas del primer operador del grafo, con y sin monitor en la carga de los operadores, respectivamente, ambas con un envío constante de eventos desde la fuente de datos. Se puede observar que en el primer gráfico se presenta una tasa de llegada (λ) constante, a diferencia del segundo gráfico,

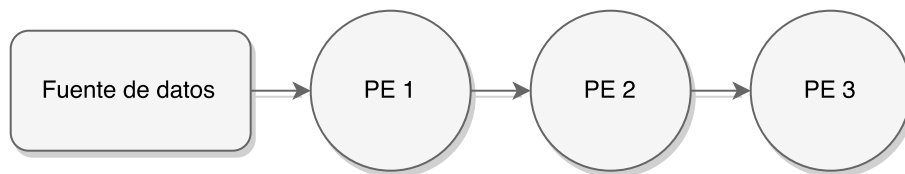


Figura 5.4: Aplicación 3.

donde en el segundo 2600 presenta una variación.

Lo anterior se debe a la acumulación de eventos en el *buffer* del operador, por lo que al llenarse, bloquea la recepción de eventos. De esta manera, se debe esperar que se liberen eventos del *buffer*, pero como la tasa de rendimiento es baja, al desencolarse, inmediatamente llega otro evento que vuelve a llenarlo, por lo que la cola se mantiene constante después del segundo 2600. Es por esto, que la tasa de llegada disminuye aproximadamente al mismo valor de la tasa de procesamiento.

Por otra parte, la tasa de rendimiento (ρ) graficada en la Figura 5.5 se estabiliza dentro de los primeros 100 segundos, debido que el sistema de distribución de carga detecta el operador sobrecargado y lo replica, a diferencia de la Figura 5.6, en el cual el operador posee una tasa de rendimiento inestable que fluctúa entre 1 y 2, hasta el segundo 2600, donde disminuye debido que la tasa de llegada es menor. Cabe destacar que este operador posee un alto costo computacional, debido que existe una gran cantidad de palabras que debe analizar para cada una de las palabras del *tweet*, por lo que es necesario crear otra réplica.

En las Figuras 5.7 y 5.8 se puede ver el siguiente operador de la topología del grafo, el cual no presenta sobrecarga, a excepción del segundo 2400, donde en el caso sin monitor disminuye considerablemente la tasa de procesamiento del PE. Si analizamos las Figuras 5.6 y 5.8, empiezan aproximadamente desde el rango de tiempo (2400s, 2600s) los problemas de procesamiento de los operadores, por lo tanto, se puede deducir que si el problema surge en un operador no es un problema aislado, sino que también influye a los siguientes operadores.

Se puede observar como con el transcurso de los primeros 100 segundos en la Figura 5.9, fue aumentando la cantidad de réplicas hasta llegar a 5, el cual es su óptimo, para ir procesando la cantidad de eventos actuales y disminuir la cola existente en el sistema. Esto en contraposición a la Figura 5.10, donde la inexistencia de replicación, genera una cola la cual se mantiene constante en el segundo 2400.

Finalmente, se encuentra el último operador, el cual no presenta grandes problemas de procesamiento tanto en las Figuras 5.11 y 5.12. Esto es debido a que el tiempo de procesamiento es bajo y nunca llega una cantidad de eventos considerable para existir una

sobrecarga. Además, es importante destacar que en la Figura 5.12 se registra una menor tasa de llegada, con un promedio de 83 % menos de eventos que un SPS ejecutado con el sistema de distribución de carga.

Por otra parte, también se ha analizado la cantidad promedio de eventos procesados en cada período, la cual está graficada en las Figuras 5.13 y 5.14. Como se puede apreciar, en los primeros 50 segundos se puede ver una mejora considerable en la cantidad de eventos procesados, donde posteriormente se procesan aproximadamente 480 eventos por período en el sistema con monitor, a diferencia del SPS sin monitor, que procesa 90 eventos por período aproximadamente, procesándose 5 veces más eventos. Esta mejora se debe a la replicación de los operadores que poseen mayor sobrecarga, por lo que al aumentar la cantidad de réplicas, aumenta la tasa de procesamiento, lo significa mayor cantidad de flujo para el próximo operador.

Así también, se puede observar en las Figuras 5.15 y 5.16 la cantidad total de eventos procesados en el transcurso de la ejecución en cada uno de los operadores, con y sin uso del monitor respectivamente. En el primer gráfico los cuatro operadores del SPS van aumentando la cantidad total de eventos procesados linealmente y la misma pendiente, tan sólo existe una menor cantidad de eventos procesados en el tercer PE, lo cual se traslada al cuarto PE, debido a que al procesar menor cantidad de eventos en el tercer PE, llega menor cantidad de datos al cuarto PE. En este gráfico se llega a un total de 401.618 eventos procesados. En cambio, en el segundo gráfico las curvas de cantidad de eventos procesados son muy distintas entre los distintos operadores, lo cual se ve reflejado desde la cantidad de eventos procesados en el primer operador hasta la cantidad total de eventos procesados por el sistema, la cual es 67.141, procesando 6 veces más eventos que los procesados durante el mismo período de tiempo por la aplicación con el uso del sistema de monitoreo.

En el segundo experimento se puede apreciar que en las Figuras 5.17 y 5.18, se muestra el comportamiento del primer operador con un envío variable de la fuente de datos. En las estadísticas se observa que existe un comportamiento estable hasta el segundo 1100, con y sin uso del monitor. Esto se debe a que el operador no posee gran cantidad de demanda dada la tasa de llegada, la cual varía en el segundo 1100, debido al aumento de la cantidad de eventos

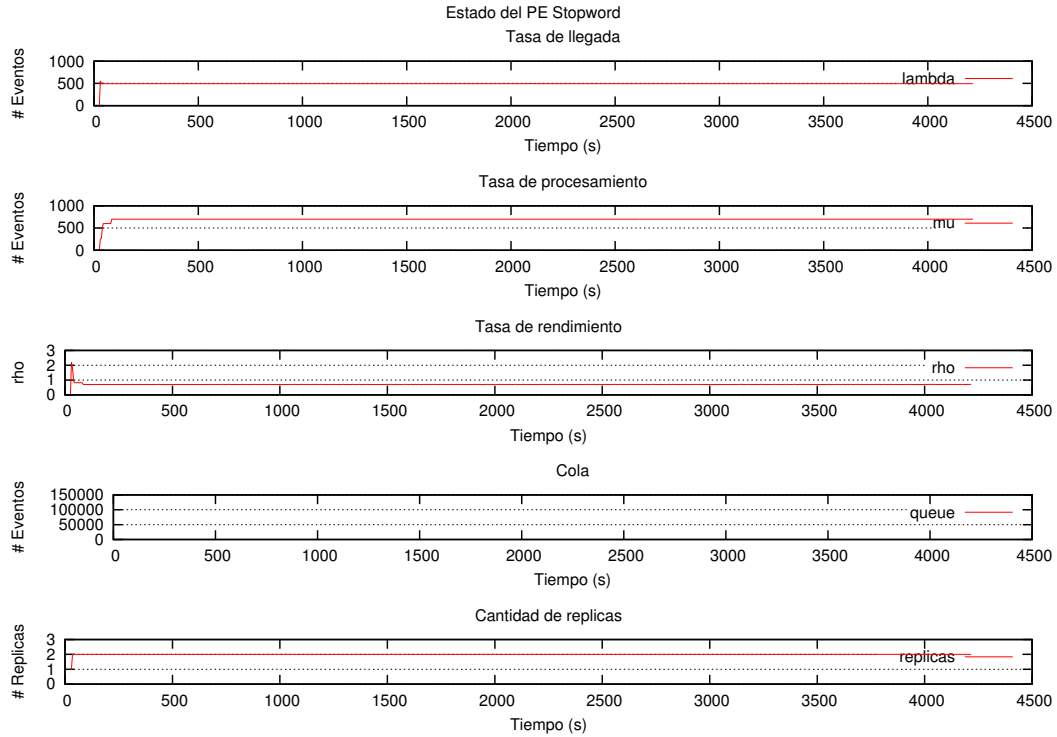


Figura 5.5: Estadísticas del PE Stopword en la primera aplicación con un envío constante de la fuente de datos con uso del monitor.

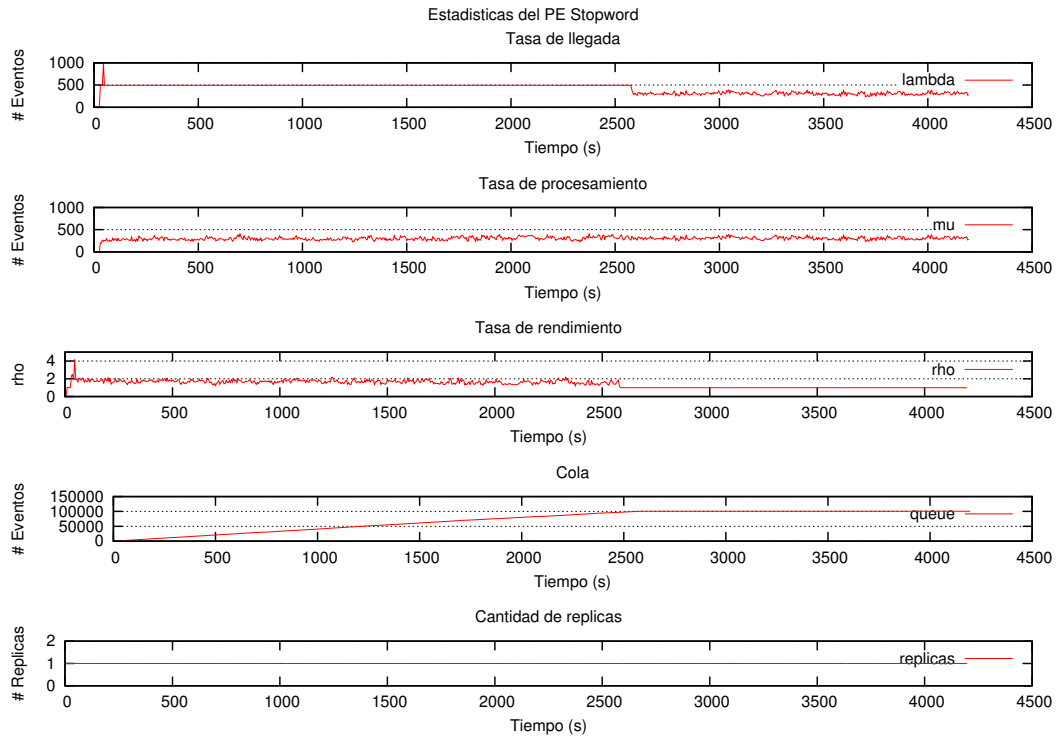


Figura 5.6: Estadísticas del PE Stopword en la primera aplicación con un envío constante de la fuente de datos sin uso del monitor.

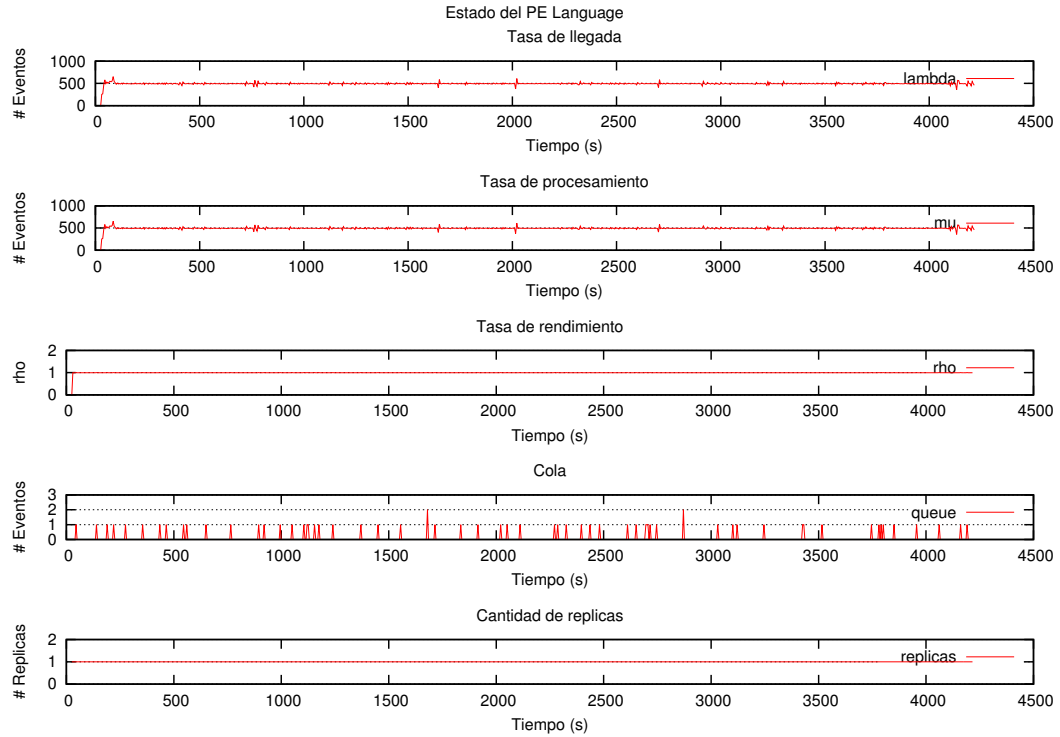


Figura 5.7: Estadísticas del PE Language en la primera aplicación con un envío constante de la fuente de datos con uso del monitor.

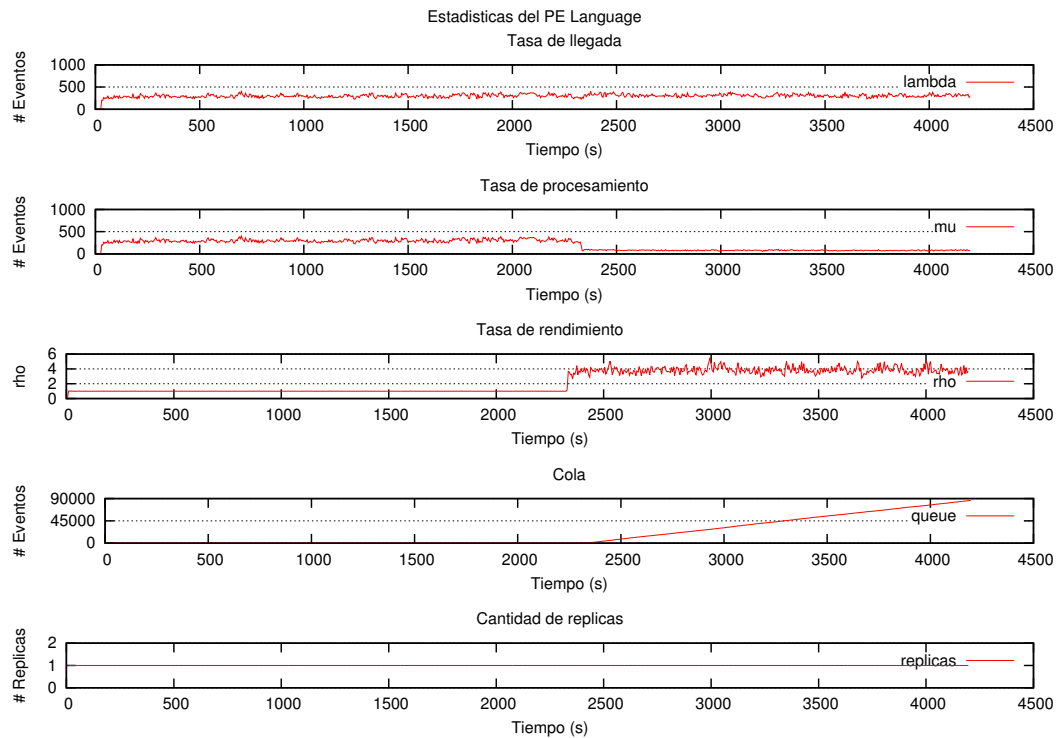


Figura 5.8: Estadísticas del PE Language en la primera aplicación con un envío constante de la fuente de datos sin uso del monitor.

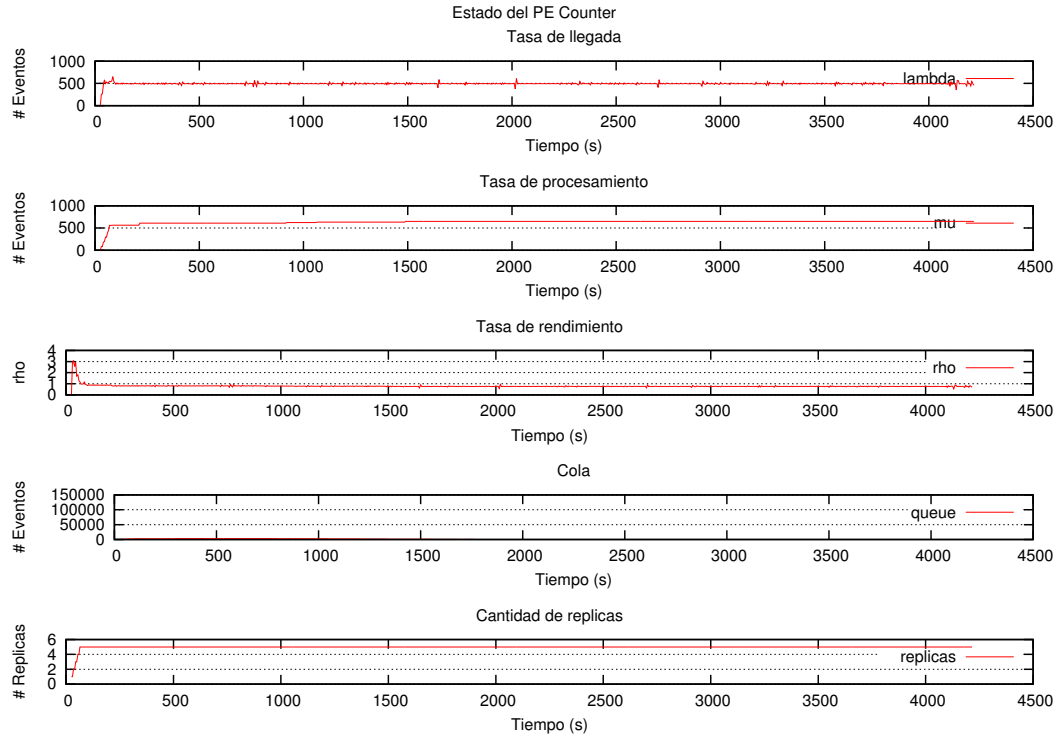


Figura 5.9: Estadísticas del PE Counter en la primera aplicación con un envío constante de la fuente de datos con uso del monitor.

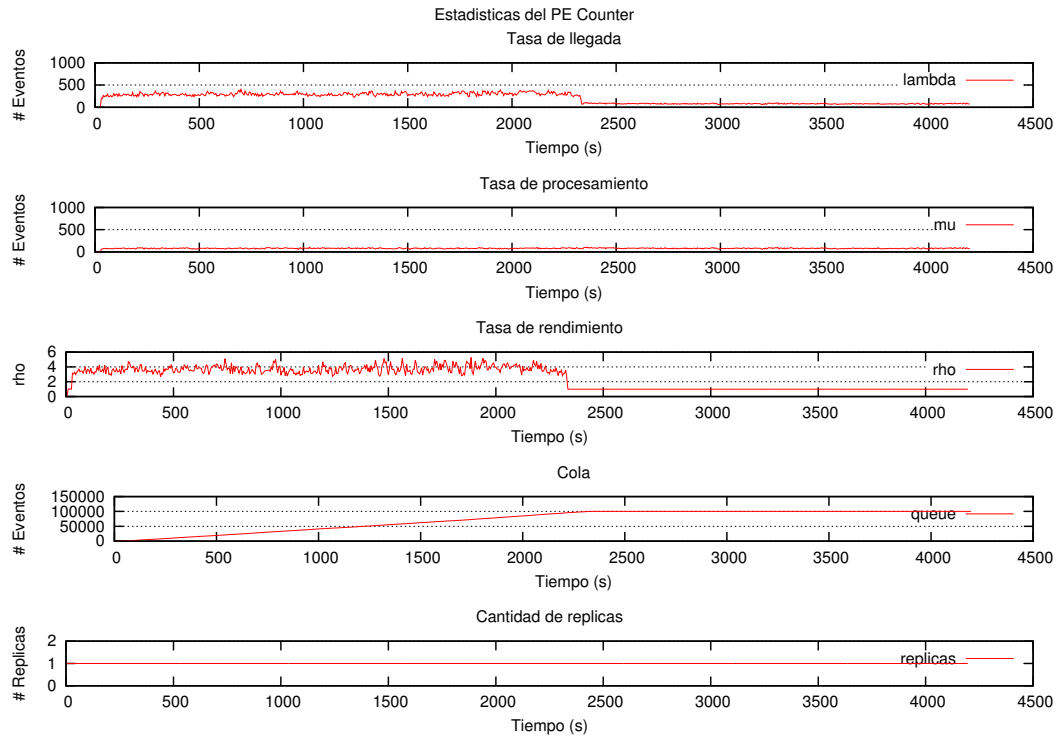


Figura 5.10: Estadísticas del PE Counter en la primera aplicación con un envío constante de la fuente de datos sin uso del monitor.

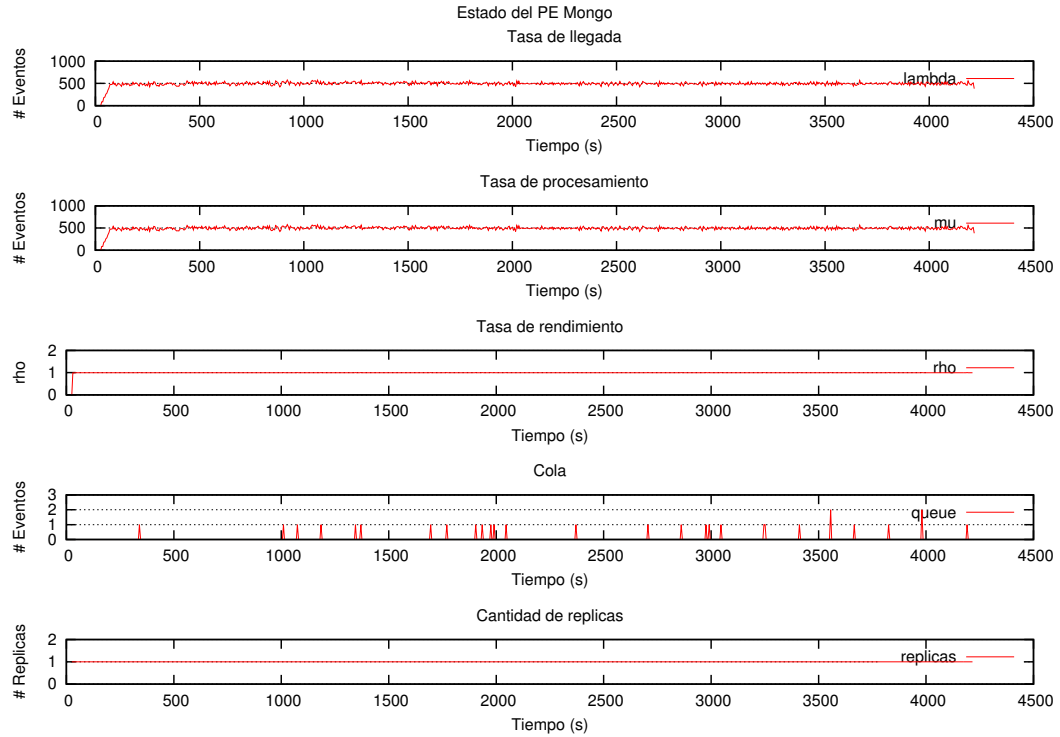


Figura 5.11: Estadísticas del PE Mongo en la primera aplicación con un envío constante de la fuente de datos con uso del monitor.

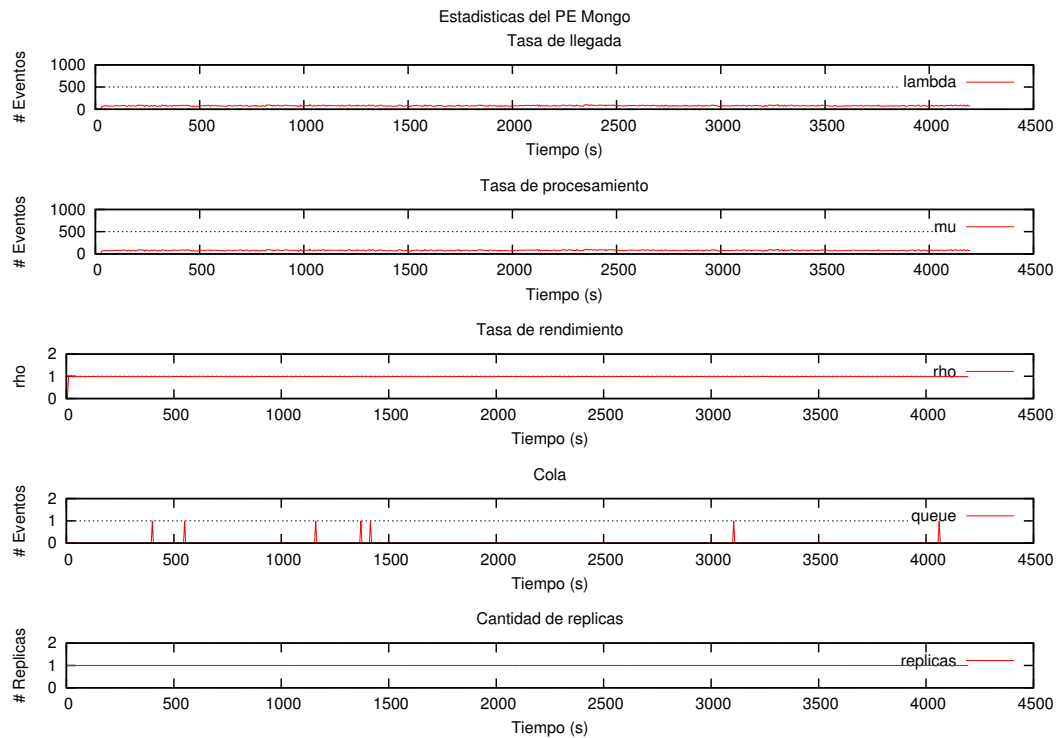


Figura 5.12: Estadísticas del PE Mongo en la primera aplicación con un envío constante de la fuente de datos sin uso del monitor.

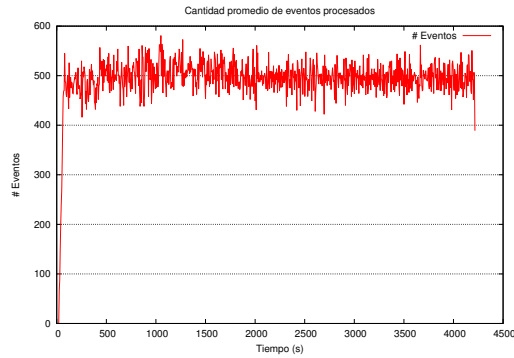


Figura 5.13: Tiempo promedio de procesamiento de un evento en la primera aplicación con un envío constante de la fuente de datos usando monitor.

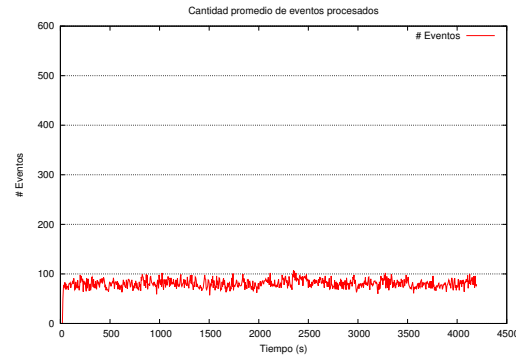


Figura 5.14: Tiempo promedio de procesamiento de un evento en la primera aplicación con un envío constante de la fuente de datos no usando monitor.

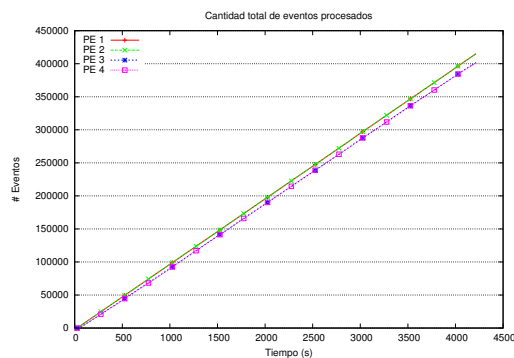


Figura 5.15: Cantidad total de eventos procesados en la primera aplicación con un envío constante de la fuente de datos usando monitor.

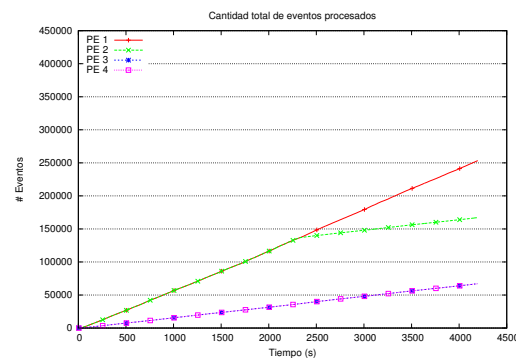


Figura 5.16: Cantidad total de eventos procesados en la primera aplicación con un envío constante de la fuente de datos no usando monitor.

entrantes. Esto implica que el operador debe procesar mayor cantidad de datos, aumentando así la cantidad de réplicas del mismo. Luego en el segundo 3200 disminuye la tasa de llegada, por lo que la tasa de rendimiento vuelve a ser estable en el sistema con y sin monitor, ya que es menor la cantidad de eventos que deben ser procesados, lo que significa también la disminución de una réplica en el sistema con uso del monitor.

El comportamiento variable del flujo de entrada sólo se puede apreciar con mayor detalle en el primer operador cuando no se utiliza monitor, debido que la tasa de llegada del segundo depende de la tasa de procesamiento del primero, y como no existe un aumento de la tasa de procesamiento, sólo aumenta hasta lo que puede procesar con un sólo operador. En las Figuras 5.19 y 5.20 se puede apreciar la diferencia entre las tasas de llegada, debido a que en el

primer gráfico, existe una variación de la tasa de llegada, dado el uso del sistema de monitoreo. Esto se debe a que el primer operador no procesa todos los eventos entrantes, e implica que la tasa de llegada es constante en el segundo operador. Independiente del uso o no del monitor, no existe una sobrecarga en el operador, por lo que el comportamiento siempre es estable del operador.

Luego, en las Figuras 5.21 y 5.22 se presenta el tercer operador, en el cual existe una sobrecarga desde el inicio del sistema. Esto se debe a la gran cantidad de palabras que debe comparar, por lo que al realizar la iteración para verificar si existe o no una palabra, requiere un alto costo computacional. En el primer gráfico se puede analizar que en los primeros 100 segundos, el operador aumenta a tres réplicas, estabilizándose el rendimiento del mismo. En cambio, en el sistema sin monitoreo existe una tasa de servicio es constante, por lo que la tasa de rendimiento es inestable en el transcurso de todo el experimento. También se muestra una disminución en la cantidad de réplicas en el segundo 3200, y esto se debe que la cantidad de réplicas necesarias para el sistema es menor, dado que el envío de datos de la fuente de datos ha disminuido, y por ende la tasa de llegada del PE también.

Dentro de los análisis importantes que se pueden realizar al gráfico de la Figura 5.21, es que en el primer tercio de la prueba con uso del monitor, la cantidad óptima de operadores fue 4, pero en el último tercio fue de 5, siendo que ambos poseen la misma tasa de llegada. Esto se debe a que al existir 7 réplicas en el segundo tercio y disminuir la tasa de llegada, se detectaron operadores ociosos. Dado que el ρ del operador es menor a 0.5, por lo tanto para encontrarse a un estado estable, es necesario converger a 0.5, por lo que al estabilizarse el operador, su ρ tiende a estar más cerca de 0.5 que de 1. De esta manera, las tasas de rendimiento son distintas en el primer y último tercio, por lo que puede darse que las réplicas del primer tercio sea mayor que el último tercio.

Por último, en el cuarto operador se puede apreciar en las Figuras 5.23 y 5.24 el comportamiento con y sin monitor. En ambos casos se muestra una tasa de rendimiento estable, la diferencia está en la tasa de llegada que posee cada uno de los sistemas, donde en el primer gráfico la tasa de llegada es variable, y en el segundo es constante, por lo que existe una menor

tasa de servicio, lo que significa una menor cantidad de eventos procesados.

Como se ha expuesto anteriormente, la cantidad de datos procesados en el sistema sin monitor es menor, y esto se puede apreciar en la cantidad promedio de eventos procesados en cada período como se muestra en las Figuras 5.25 y 5.26. En el primer gráfico existe un promedio de 225 eventos por período, el cual aumenta a un promedio de 438 eventos por período en el segundo 1100, a raíz de un aumento del flujo de la fuente de datos, para que luego disminuya a un promedio de 332 eventos por período en el segundo 3200, debido a la disminución del flujo. En cambio, en el segundo gráfico la cantidad promedio de eventos procesados es constante, debido que no existe optimización alguna en el sistema, por lo que en todo el experimento se procesan 98 eventos por período aproximadamente. Dado esto, en el primer tramo existe una mejora de 2 veces más eventos, luego en el segundo tramo una mejora de 4 veces más, y por último, tercer tramo una mejora de 3 veces más.

Finalmente, la cantidad total de eventos procesados en cada experimento, se puede ver en las Figuras 5.27 y 5.28. En el primer gráfico se observa variaciones en la curva en el segundo 1100 y 3200, lo cual son los segundos en los cuales hubo un cambio en el flujo de la fuente de datos, por lo que aumenta y disminuye respectivamente la tasa de llegada. En cambio, en el segundo gráfico no se aprecia esto, debido que independiente de la tasa de llegada, el procesamiento del sistema es constante, sin adaptarse el sistema a la carga que posea cada operador con el transcurso del tiempo. El sistema con uso del monitor procesa un total de 303,156, contra 82,770 eventos en total sin uso del monitor, lo cual significa un aumento de 3 veces más eventos procesados.

5.3.2 Aplicación 2: Contador de palabras en muestras de textos

En la segunda aplicación se ha procedido a realizar dos experimentos, los cuales eran similares a los anteriores experimentos, donde el primero consta un envío constante del eventos, y el segundo un envío variable. En ambos experimentos, se consideraron dos pruebas, donde la primera consiste en la ejecución de la aplicación en un sistema SPS que use el sistema

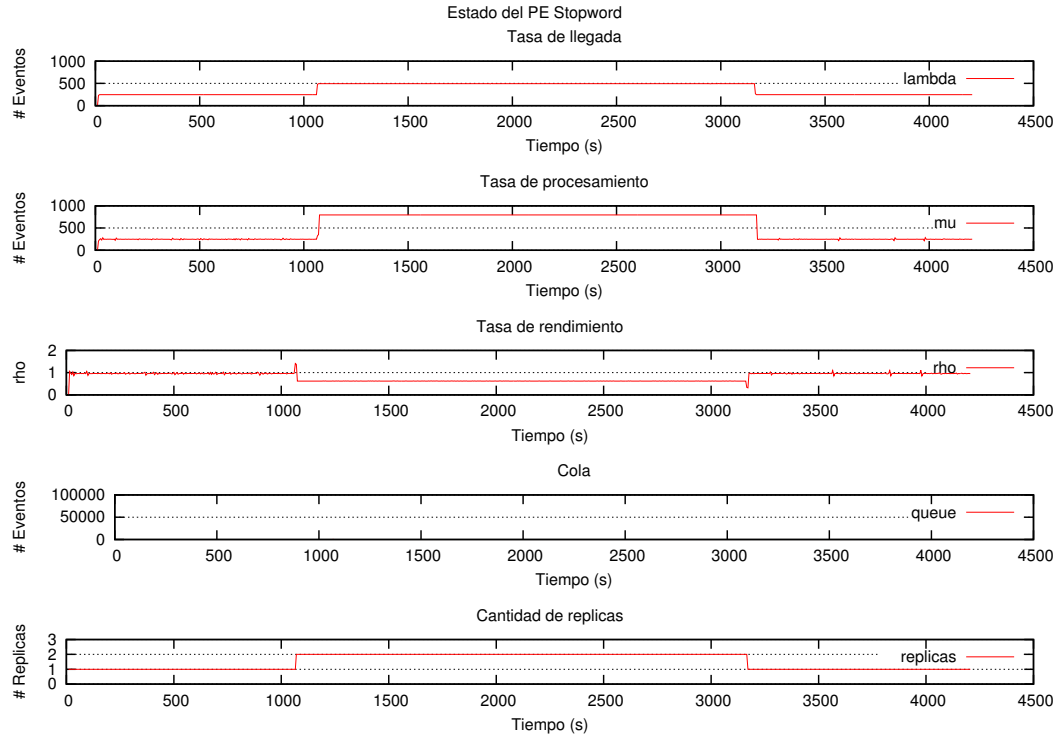


Figura 5.17: Estadísticas del PE Stopword en la primera aplicación con un envío variable de la fuente de datos con uso del monitor.

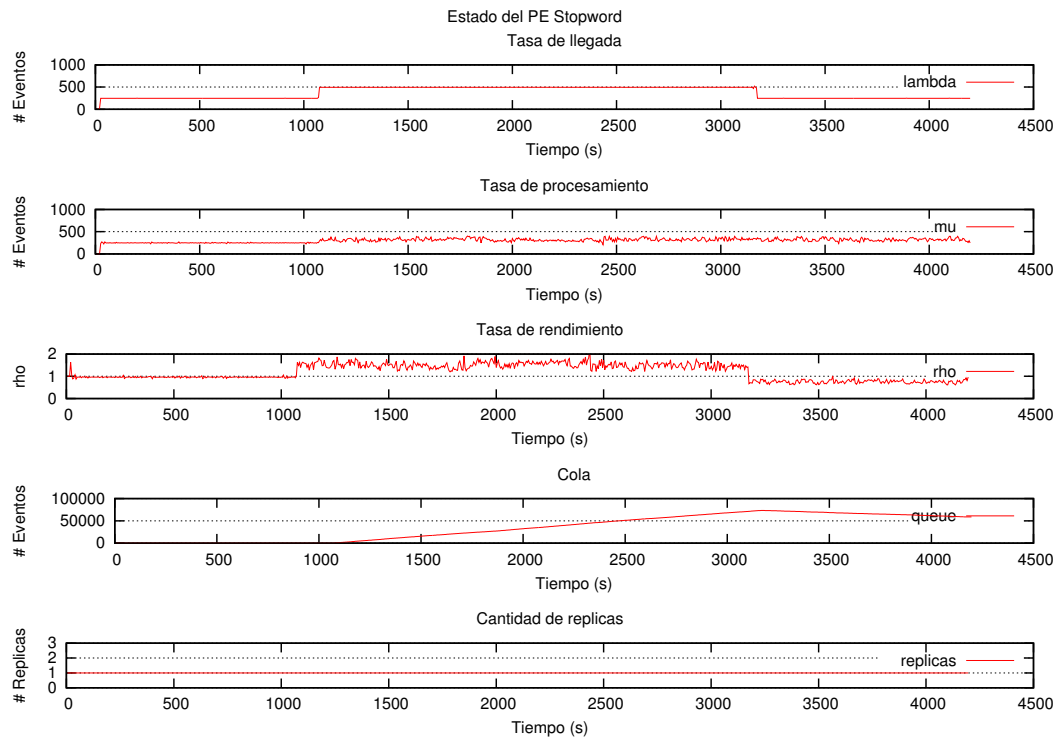


Figura 5.18: Estadísticas del PE Stopword en la primera aplicación con un envío variable de la fuente de datos sin uso del monitor.

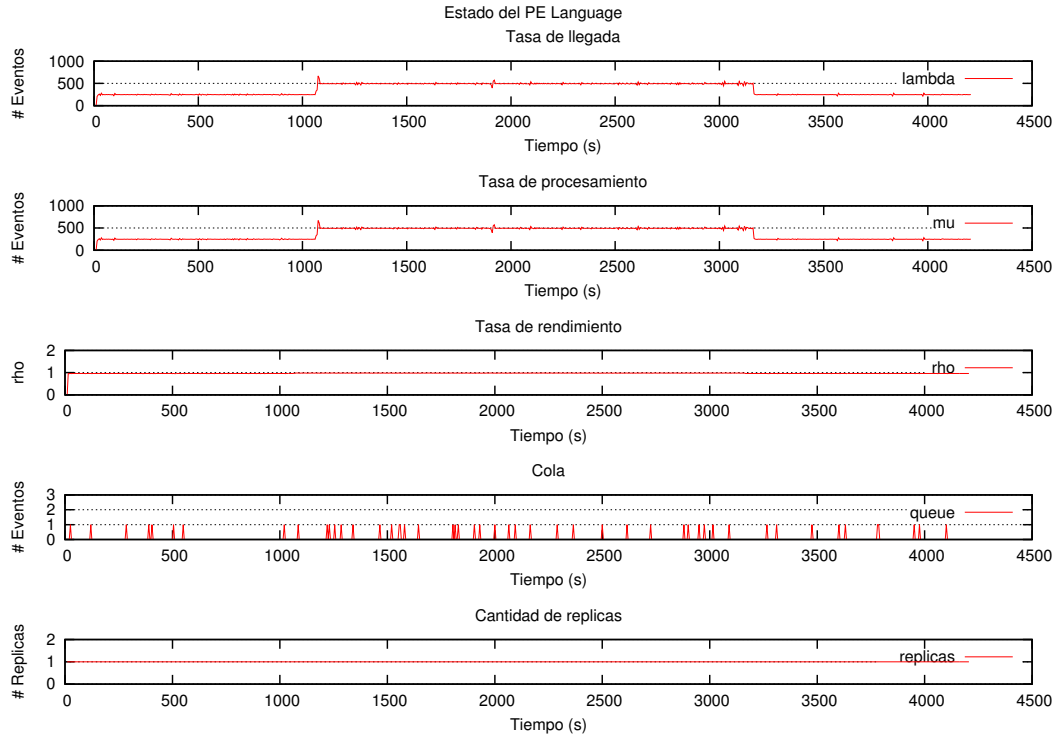


Figura 5.19: Estadísticas del PE Language en la primera aplicación con un envío variable de la fuente de datos con uso del monitor.

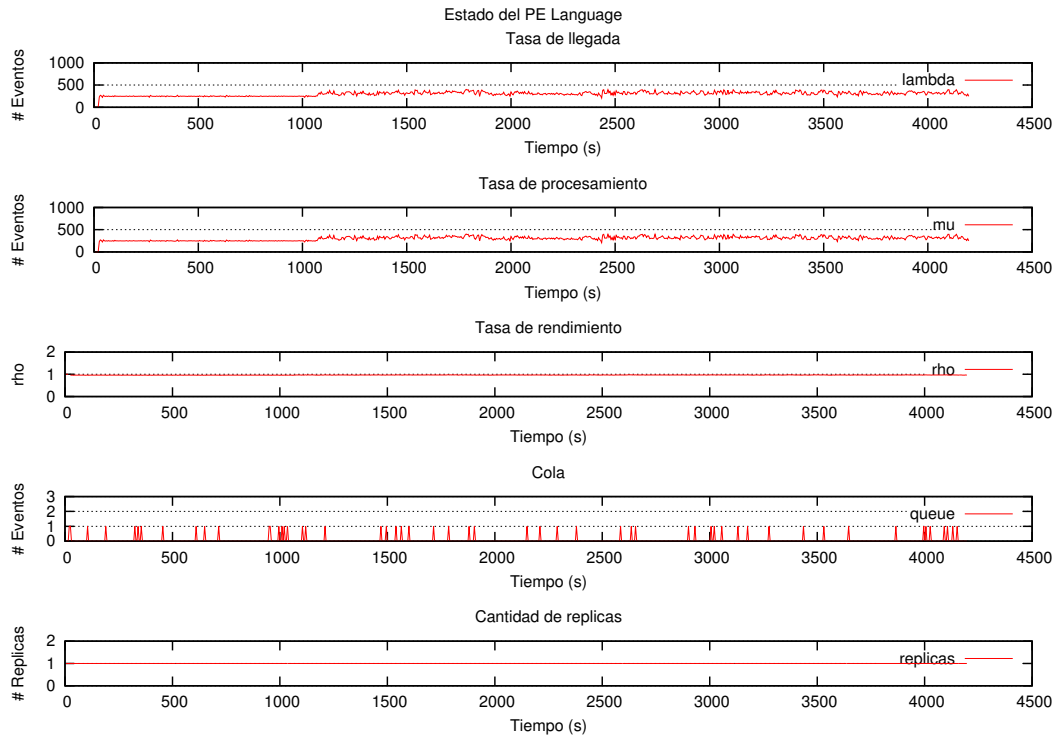


Figura 5.20: Estadísticas del PE Language en la primera aplicación con un envío variable de la fuente de datos sin uso del monitor.

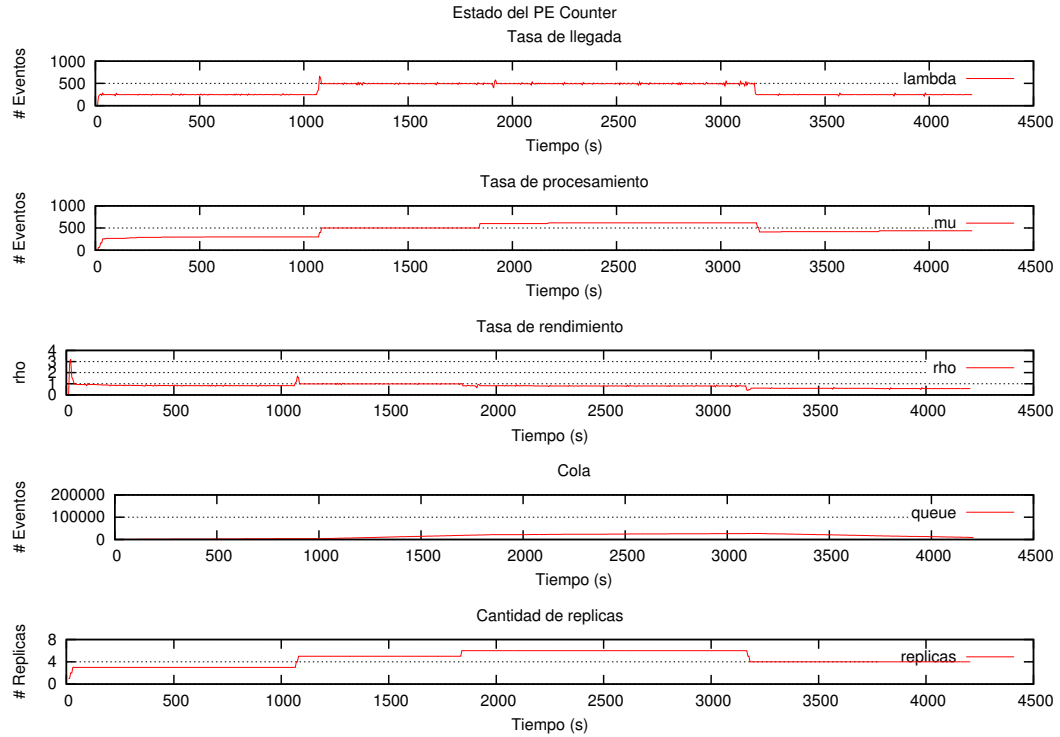


Figura 5.21: Estadísticas del PE Counter en la primera aplicación con un envío variable de la fuente de datos con uso del monitor.

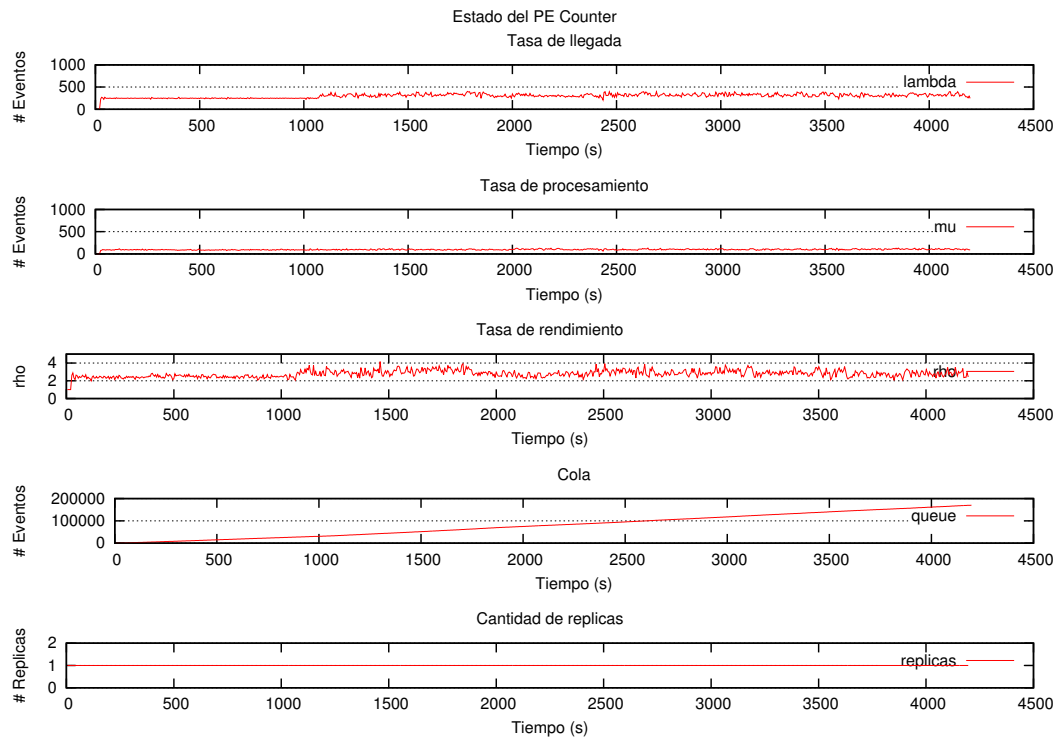


Figura 5.22: Estadísticas del PE Counter en la primera aplicación con un envío variable de la fuente de datos sin uso del monitor.

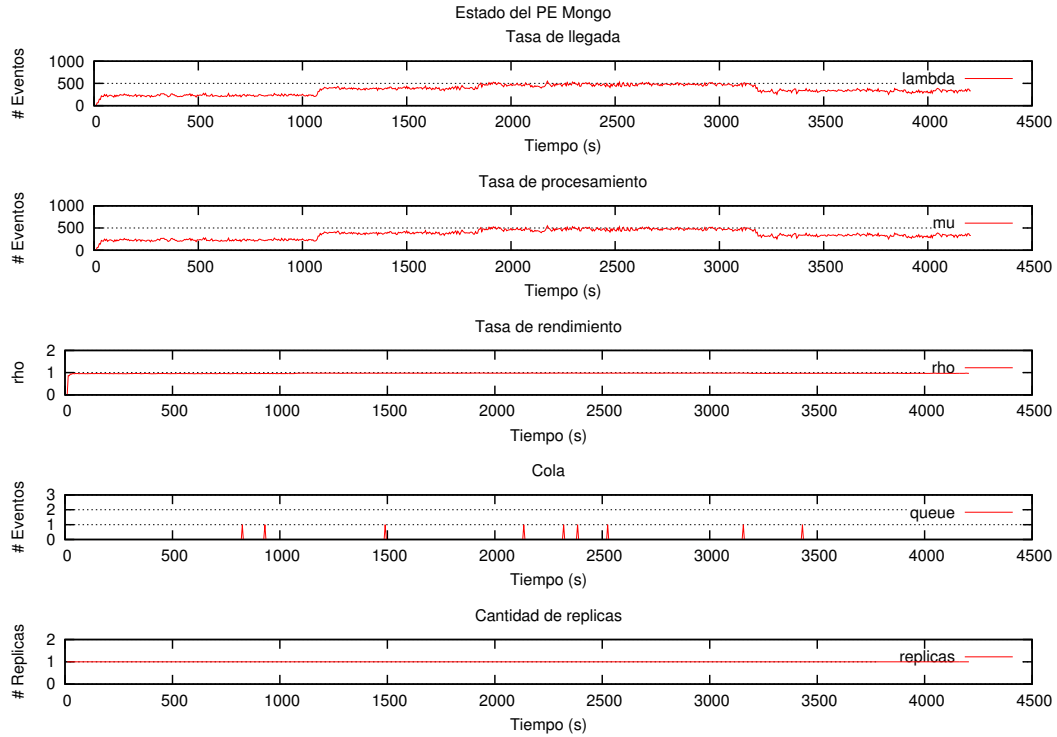


Figura 5.23: Estadísticas del PE Mongo en la primera aplicación con un envío variable de la fuente de datos con uso del monitor.

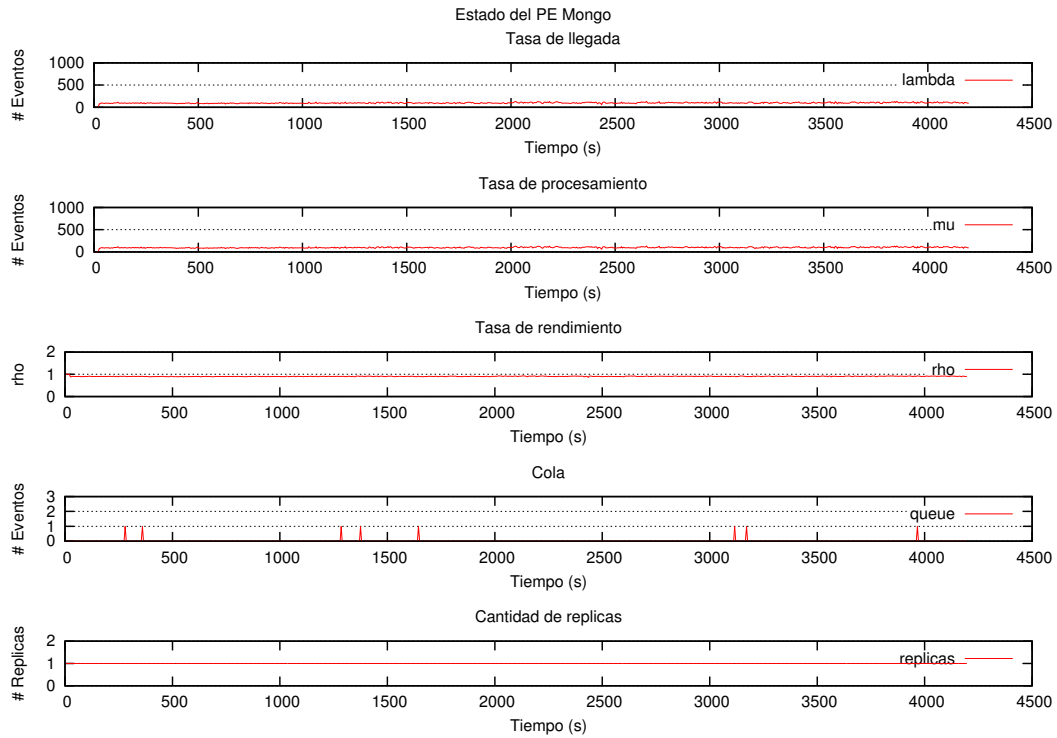


Figura 5.24: Estadísticas del PE Mongo en la primera aplicación con un envío variable de la fuente de datos sin uso del monitor.

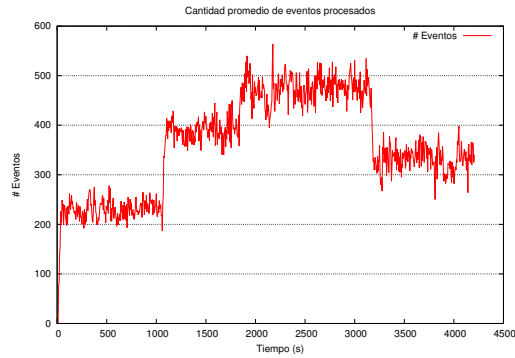


Figura 5.25: Cantidad promedio de eventos procesados en cada período en la primera aplicación con un envío variable de la fuente de datos usando monitor.

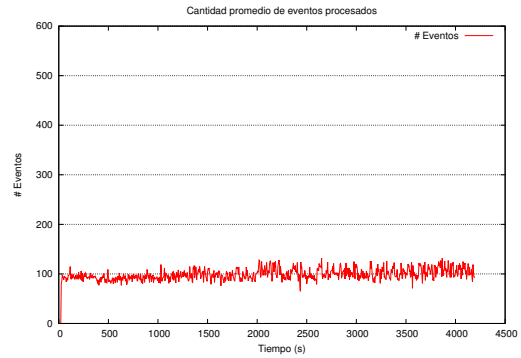


Figura 5.26: Cantidad promedio de eventos procesados en cada período en la primera aplicación con un envío variable de la fuente de datos no usando monitor.

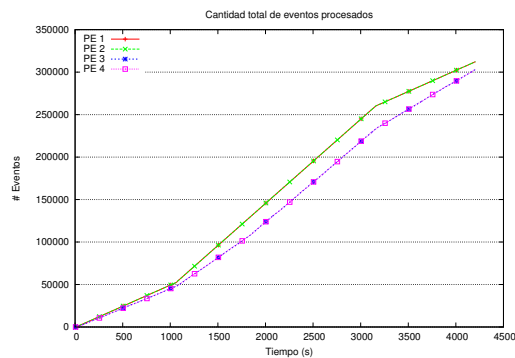


Figura 5.27: Cantidad total de eventos procesados en la primera aplicación con un envío variable de la fuente de datos usando monitor.

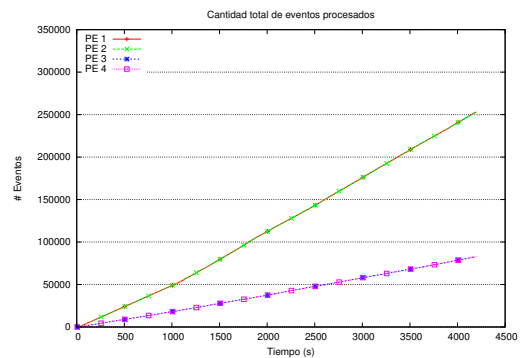


Figura 5.28: Cantidad total de eventos procesados en la primera aplicación con un envío variable de la fuente de datos no usando monitor.

de distribución de carga, y la segunda sin el uso de éste, por lo que cada par de figuras es la comparación de la aplicación con y sin monitor respectivamente.

Para ambos experimentos, se ha considerado la cantidad total de eventos y las estadísticas de cada PE en el transcurso de la ejecución de la aplicación.

En las Figuras 5.29 y 5.30 observan las estadísticas del PE Split con y sin monitor respectivamente con un flujo constante de eventos. En el primer gráfico la tasa de llegada (λ) de los primeros 200 segundos se encuentran ciertos *peak*, los cuales se deben al retraso en la toma de estadísticas, producto de la replicación del PE Counter como se aprecia en la Figura 5.31. Independiente del uso del monitor, se observa que el comportamiento entre los dos PEs es prácticamente igual, y eso se debe a la baja carga que posee el PE. Esto se debe a que este

operador es auxiliar, dado que al ser PE Counter un operador con estado, por lo que el costo de separar las palabras y enviarlo a las distintas réplicas del siguiente operador es de bajo costo computacional.

En cambio, en las Figuras 5.31 y 5.32 se observa una diferencia en los rendimientos del PE. Esto se debe a que este operador posee una carga una alta carga, dado el gran tamaño de la bolsa de palabras para comparar con las palabras del *tweets*. Debido a esto, al generar las réplicas, se produce una mejora considerable del operador en los primeros 100 segundo.

En este caso, el predictor se activa, dado que se realiza un aumento de 9 a 14 réplicas. Si bien, la cantidad de réplicas fue mayor a lo necesario, dado que el promedio de tasa de procesamiento posterior al segundo 100 es de 0.63, no se considera el operador en estado ocioso, por lo que no se disminuye la cantidad de réplicas.

Dentro de las observaciones importantes a destacar, se encuentra el procesamiento del PE Counter, el cual al procesar los eventos, deja algunos en cola para posteriormente ser procesados, independiente si se añaden más réplicas. Esto se puede observar en la cola que se muestra en la Figura 5.31, la cual no disminuye independiente de replicar más operadores. Si bien, se generan colas con el uso del monitor, es menos de la mitad de las colas que surgen sin el uso del monitor. Este problema surge debido a la implementación en el SPS S4, debido que los PEs no procesan la cantidad de eventos que deben procesar en un período de tiempo. Esto no significa que se pierden eventos, sino que en caso de no procesarlos los deja en cola para posteriormente procesarlos. Por lo que si no se envían más eventos de la fuente de datos, los eventos en cola se procesan hasta vaciar el *buffer*.

En el último PE, se observa que existe una baja cantidad de eventos entrantes, como se muestra en las Figuras 5.33 y 5.34, debido a su condición de operador auxiliar. Cabe recordar que se denomina operador auxiliar a los PEs predecesor y sucesores del posible operador sobrecargado, de esta manera, estos operadores se dedican a dividir la información para enviarla a las distintas réplicas del operador, y posteriormente juntar la información obtenida por las distintas réplicas de éste. La baja cantidad de eventos entrantes se debe a que los eventos entrantes sólo son enviados cada 10 segundos por el PE Counter. En el primer gráfico, se observa

que la tasa de llegada aumenta posterior a los 100 segundos, debido a la replicación del operador predecesor. En cambio, en el segundo gráfico, el flujo de entrada sólo se condiciona por una réplica, por lo que no existe un aumento de la tasa de llegada. Cabe destacar que el sistema con monitor si genera colas, a diferencia del sin monitor, y esto se debe a que al procesar mayor cantidad de eventos, surge el problema de procesamiento descrito anteriormente, debido a la implementación realizada en el SPS S4.

Finalmente, en las Figuras 5.35 y 5.36 se muestra la cantidad total de eventos procesados. En el primer gráfico se observa que la diferencia de la pendiente entre las rectas del primer y segundo PE, es menor que en el segundo gráfico. Esto se debe al aumento de la cantidad de réplicas, de esta manera puede procesar mayor cantidad de eventos, siendo un procesamiento de 275.290 eventos con uso el monitor contra 28.152 sin uso del monitor, habiendo una mejora de 8 veces más eventos. El tercer PE procesa pocos eventos, debido que sólo le llega un evento por réplica cada 10 segundos.

Dentro de las observaciones importantes está lo ocurrido en la Figura 5.35, donde no existe una mejora por parte del segundo PE de manera paralela al flujo de datos emanado por el primer PE. Como se había explicado anteriormente, independiente que se generen más réplicas, los operadores igualmente van a encolar cierta cantidad de eventos debido a la implementación del SPS S4.

En las Figuras 5.29 y 5.30 observan las estadísticas del PE Split con y sin monitor respectivamente con un flujo variable de eventos. Como se había explicado en el anterior experimento, en las estadísticas con monitor se puede ver ciertos *peaks*, los cuales son provocados por la replicación del siguiente operador. Aunque estos sean representados gráficamente, no presentan un problema a la hora de realizar una análisis por parte del sistema de monitoreo en este experimento. Debido que el PE posee un bajo nivel de cómputo, no existe una tasa de rendimiento que sea inestable, tanto para el sistema con y sin uso del monitoreo, por lo que no se presentan sobrecargas.

A diferencia del PE Split, en el PE Cpunter si existe un nivel de sobrecarga, como se observar en las Figuras 5.39 y 5.40. En los primeros 100 segundos existe una inestabilidad en

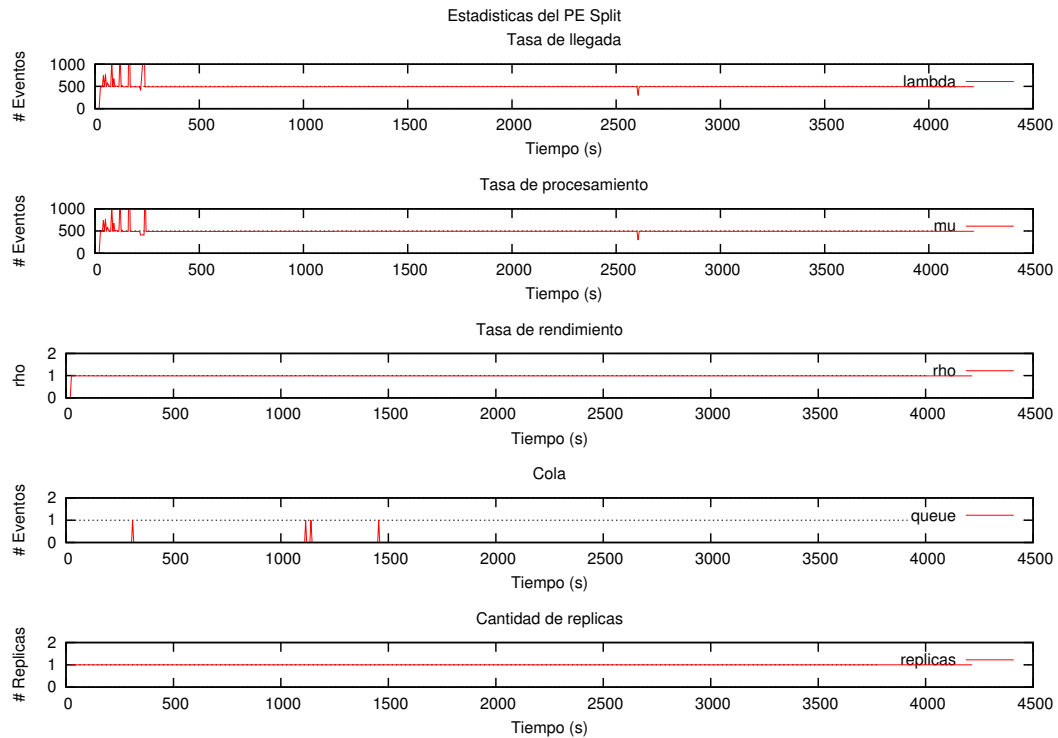


Figura 5.29: Estadísticas del PE Split en la segunda aplicación con un envío constante de la fuente de datos con uso del monitor.

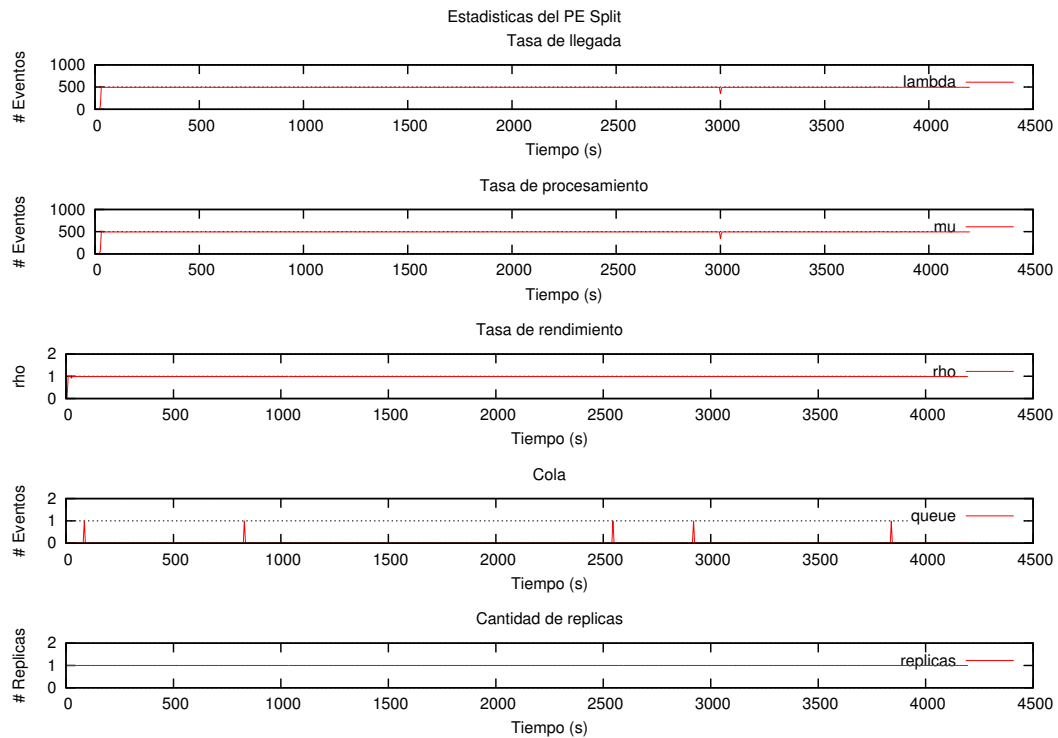


Figura 5.30: Estadísticas del PE Split en la segunda aplicación con un envío constante de la fuente de datos sin uso del monitor.

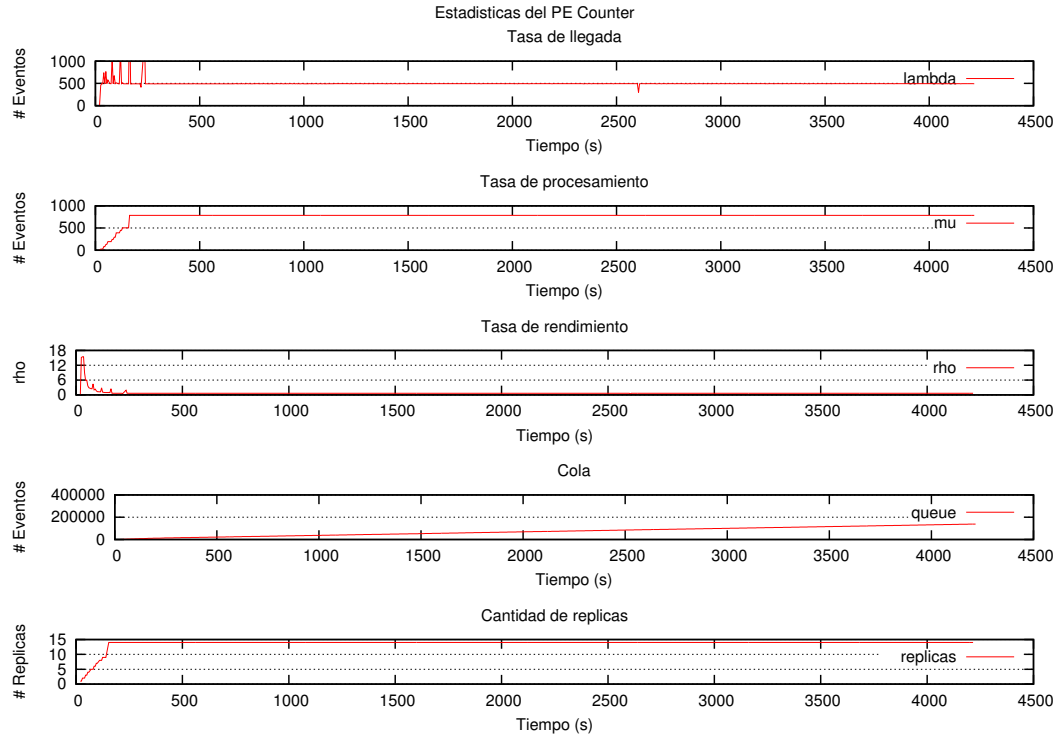


Figura 5.31: Estadísticas del PE Counter en la segunda aplicación con un envío constante de la fuente de datos con uso del monitor.

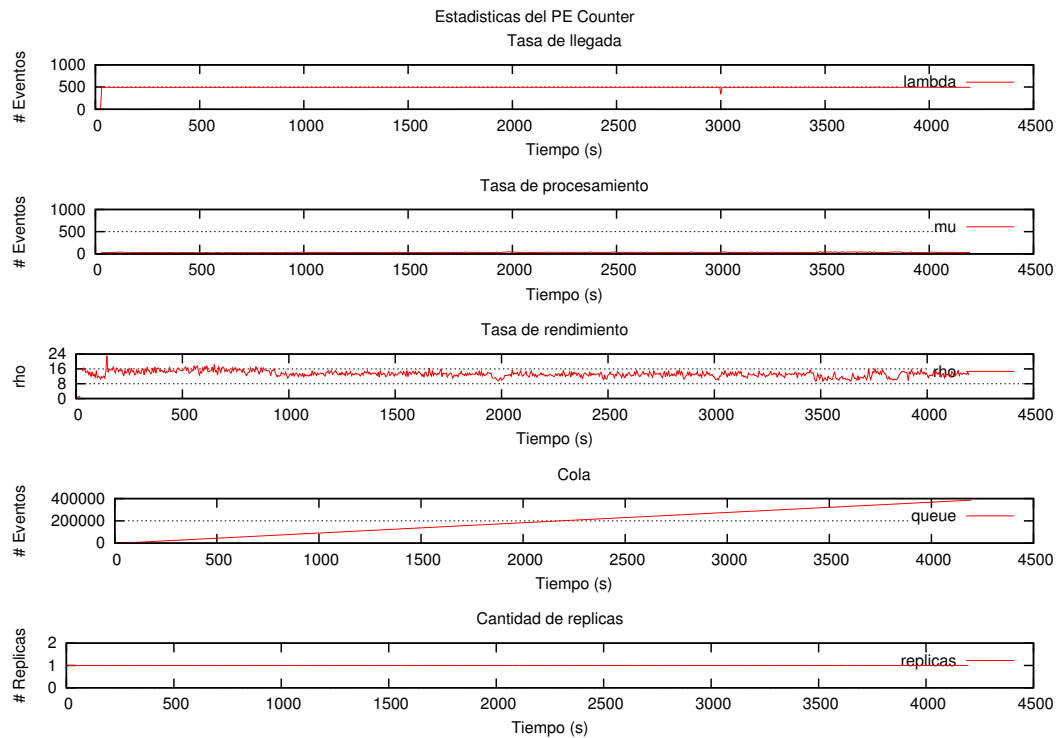


Figura 5.32: Estadísticas del PE Counter en la segunda aplicación con un envío constante de la fuente de datos sin uso del monitor.

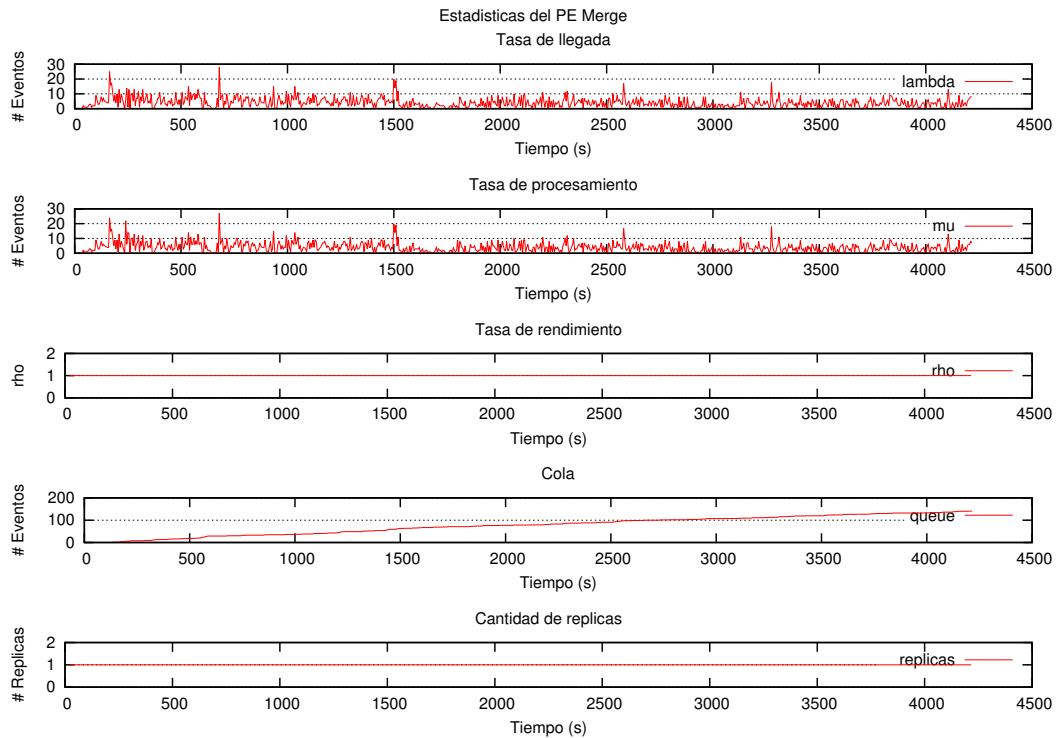


Figura 5.33: Estadísticas del PE Merge en la segunda aplicación con un envío constante de la fuente de datos con uso del monitor.

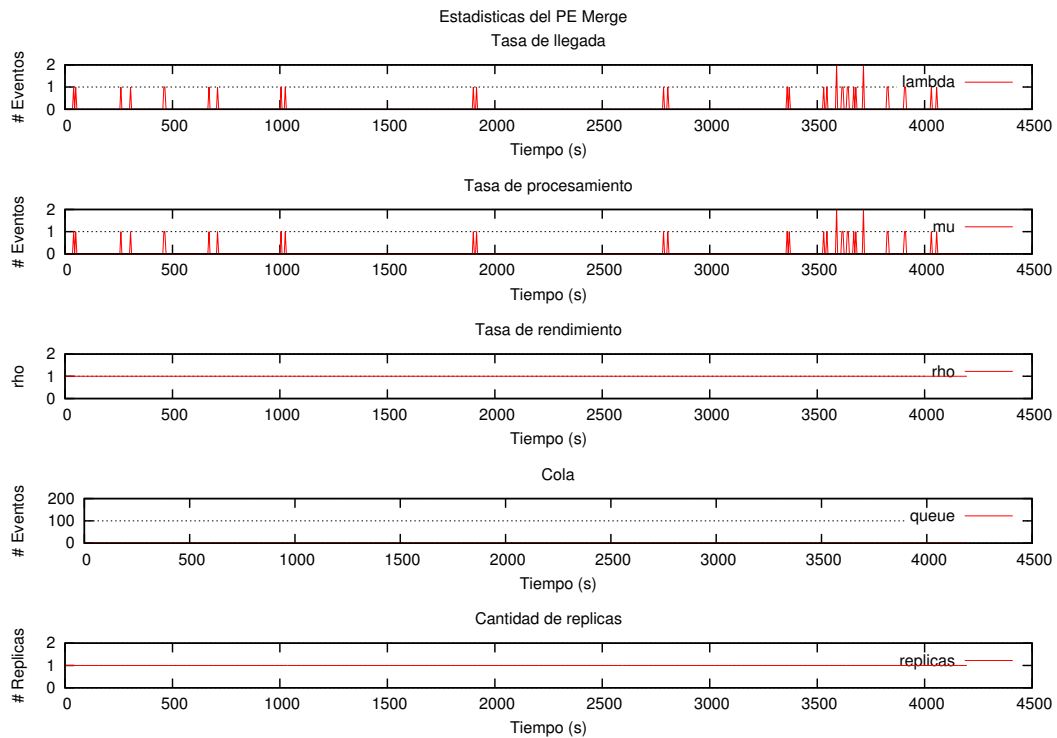


Figura 5.34: Estadísticas del PE Merge en la segunda aplicación con un envío constante de la fuente de datos sin uso del monitor.

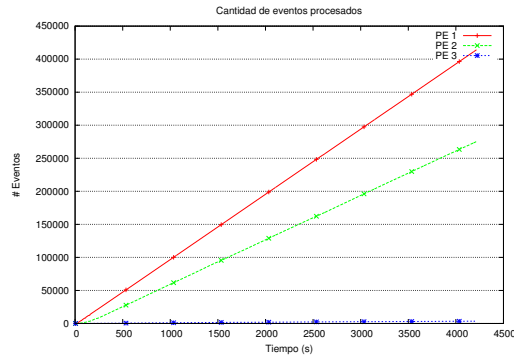


Figura 5.35: Cantidad total de eventos procesados en la segunda aplicación con un envío constante de la fuente de datos no usando monitor.

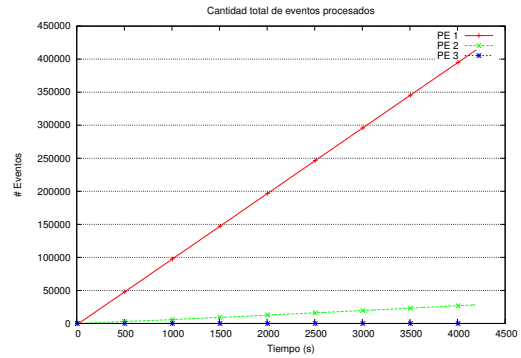


Figura 5.36: Cantidad total de eventos procesados en la segunda aplicación con un envío constante de la fuente de datos no usando no usando monitor.

el sistema, el cual es estabilizado posteriormente por el sistema con uso del monitor, dado que réplica el operador. Esta inestabilidad se vuelve apreciar en el segundo 1100, cuando aumenta el envío de eventos desde la fuente de datos, lo cual hace que la cantidad de réplicas existentes sean insuficientes, volviendo a replicar el operador. Y finalmente, en el último tramo disminuye la cantidad de réplicas en el segundo 3200, debido que el envío de datos disminuye.

Como se explicó en el experimento de envío variable de la fuente de datos en la aplicación 1, la cantidad óptima de operadores en el primer tramo es distinta a la del tercer tramo. Esto se debe a que en el primer tramo van aumentando la cantidad de réplicas para ir convergiendo ρ a un valor de 1, en cambio, en el tercer tramo se va disminuye la cantidad de réplicas para ir convergiendo ρ a 0.5, límite inferior para definir el estado estable.

Por otra parte, en este experimento no se ha activado el predictor, y esto se debe a que la replicación fue paulatina. Por lo tanto, el operador alcanza una convergencia de la cantidad de réplicas necesarias, por lo que al predecir se determina que el operador estará estable.

En el tercer PE, se analiza que la tasa de llegada es baja tanto en las Figuras 5.41 y 5.42, y esto se debe a que este PE es auxiliar como se explicó en el anterior experimento, por lo que sólo le llegan eventos de los emitidos por cada PE Counter en un período de tiempo dado. El análisis que se realiza en el PE Merge es el mismo explicado en el anterior experimento, donde la tasa de llegada va a depender de la cantidad de réplicas existentes en el PE Counter, por lo que la tasa de llegada es mayor en el sistema con monitor.

Finalmente, en las Figuras 5.35 y 5.36 se muestra la cantidad total de eventos procesados. En el primer gráfico se aprecia que la curva del primer PE y el segundo PE es más cercana que las del segundo gráfico, y esto se debe a la replicación que se ha efectuado en el sistema. Cabe destacar que el sistema con uso del monitor ha procesado un total de 228,942 eventos, mientras que la sistema sin monitor ha procesado 27,751 eventos. Por lo que nuestra solución permite aumentar en más de 8 veces la cantidad de eventos procesados.

5.3.3 Aplicación 3: Aplicación sintética

En la tercera aplicación se ha procedido a realizar dos experimentos, ambos con envío constante de 100 eventos por segundo de la fuente de datos, donde el SPS funciona con y sin uso del monitor.

Para el análisis de los experimentos se ha considerado el consumo de RAM, el uso de la CPU, la cantidad total de eventos y las estadísticas de cada PE en el transcurso de la ejecución de la aplicación.

Respecto a la utilización de CPU, se puede observar en las Figuras 5.45 y 5.46 el porcentaje de uso con y sin monitor. En el primer caso existe un 0,621 % de utilización de CPU, contra un 0,6091 % del segundo caso, habiendo un aumento del 0,0119 % de utilización promedio de CPU. Dentro de los primeros 10 segundos existe un alto uso de CPU en ambos gráficos, y eso se debe que es el *deploy* y compilación de la aplicación en el sistema de S4.

Por otra parte, el consumo de memoria RAM está dado por las Figuras 5.47 y 5.48, donde la primera es con uso de monitor y la segunda no. En el primer gráfico existe un consumo promedio de 264,8033 MB, contra 268,8667 MB del segundo gráfico, habiendo una disminución del 1,5187 % de consumo de memoria RAM. En el primer gráfico se puede observar un aumento del consumo de memoria en el segundo 200, a diferencia del segundo gráfico, debido al mayor consumo de eventos y creación de nuevos operadores. Pero posterior al segundo 600, por parte del sistema sin monitor, se muestra un aumento del consumo de memoria, lo cual se debe a la cantidad de eventos en cola que existen en el sistema, a diferencia del primer gráfico que hubo

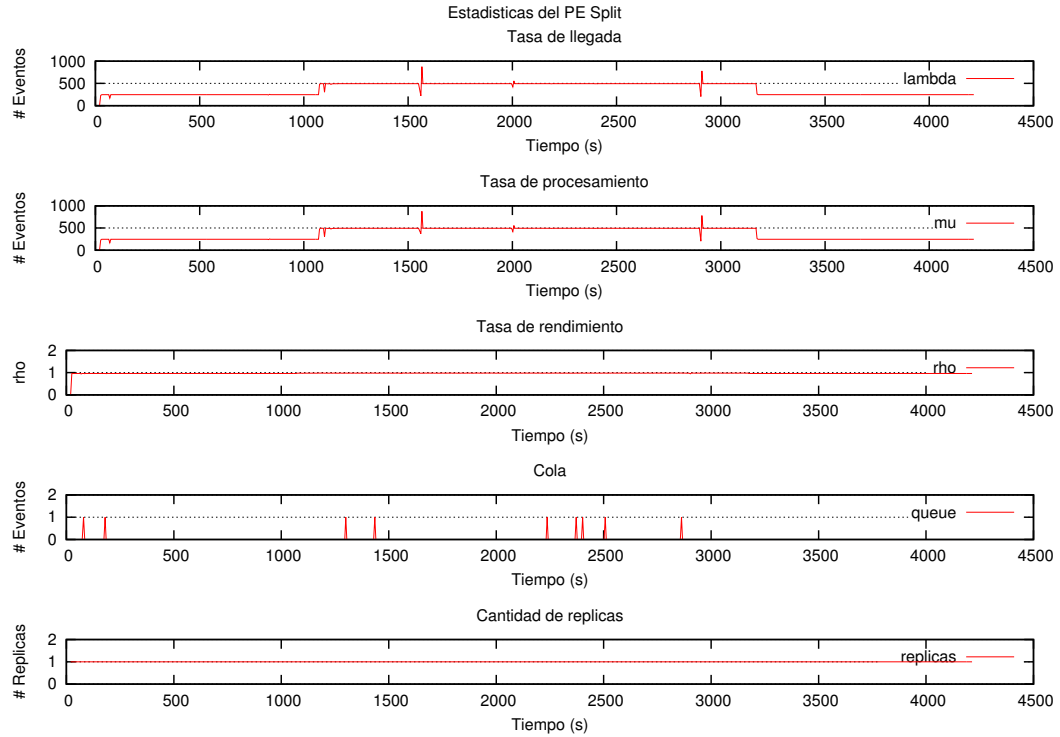


Figura 5.37: Estadísticas del PE Split en la segunda aplicación con un envío variable de la fuente de datos con uso del monitor.

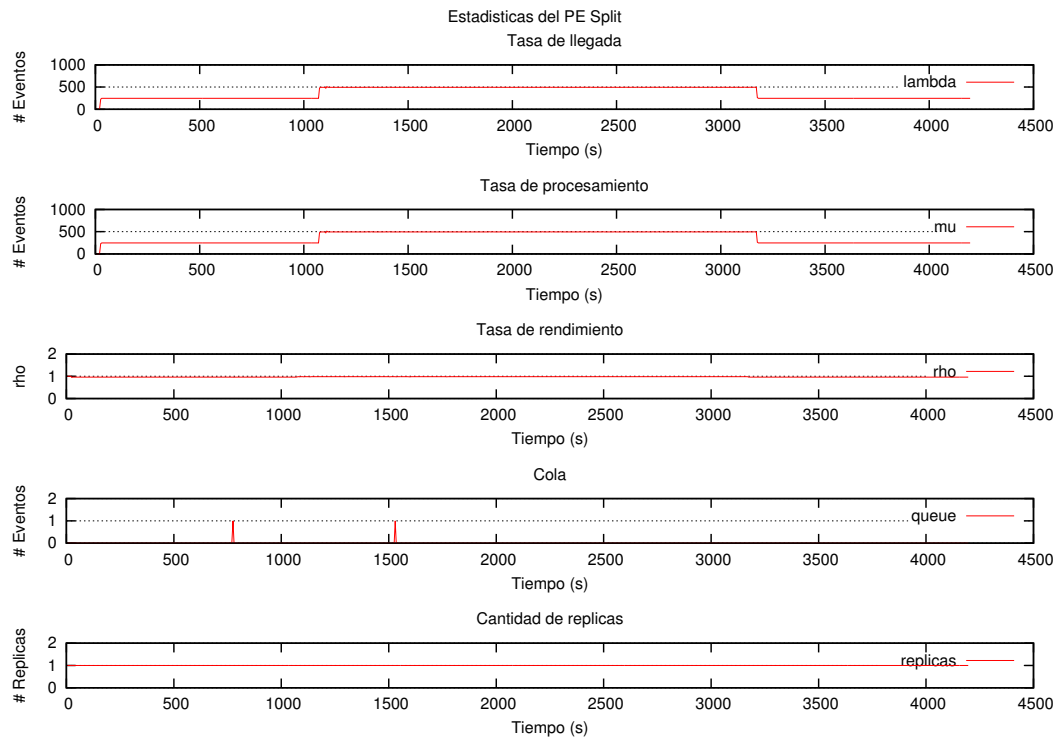


Figura 5.38: Estadísticas del PE Split en la segunda aplicación con un envío variable de la fuente de datos sin uso del monitor.

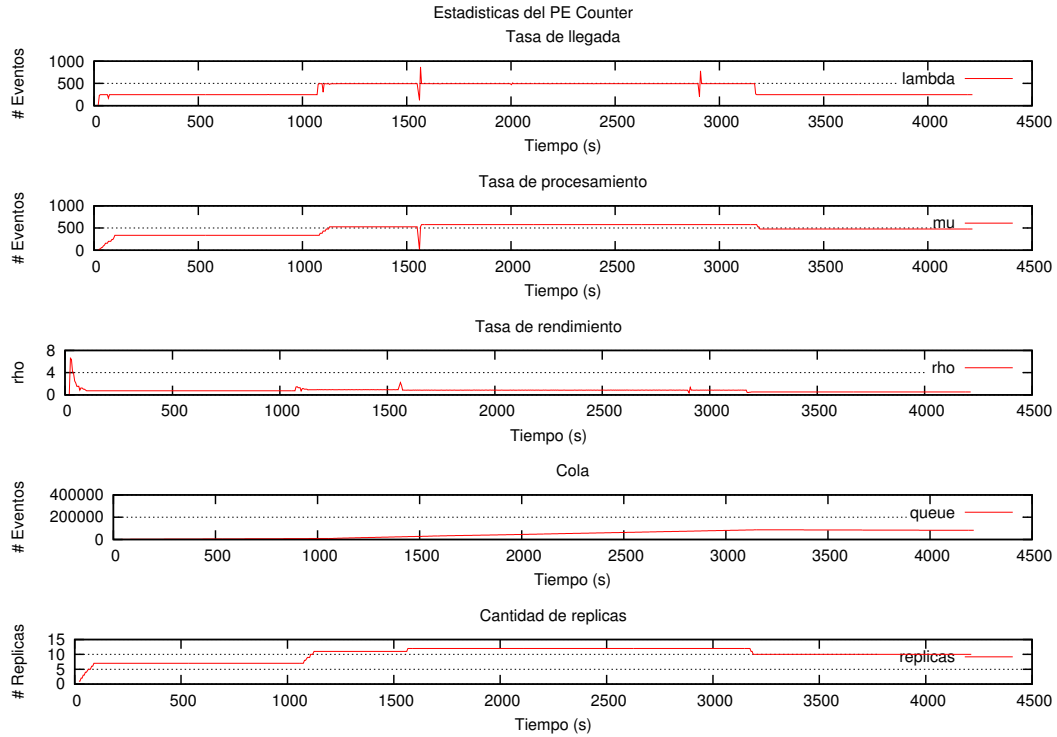


Figura 5.39: Estadísticas del PE Counter en la segunda aplicación con un envío variable de la fuente de datos con uso del monitor.

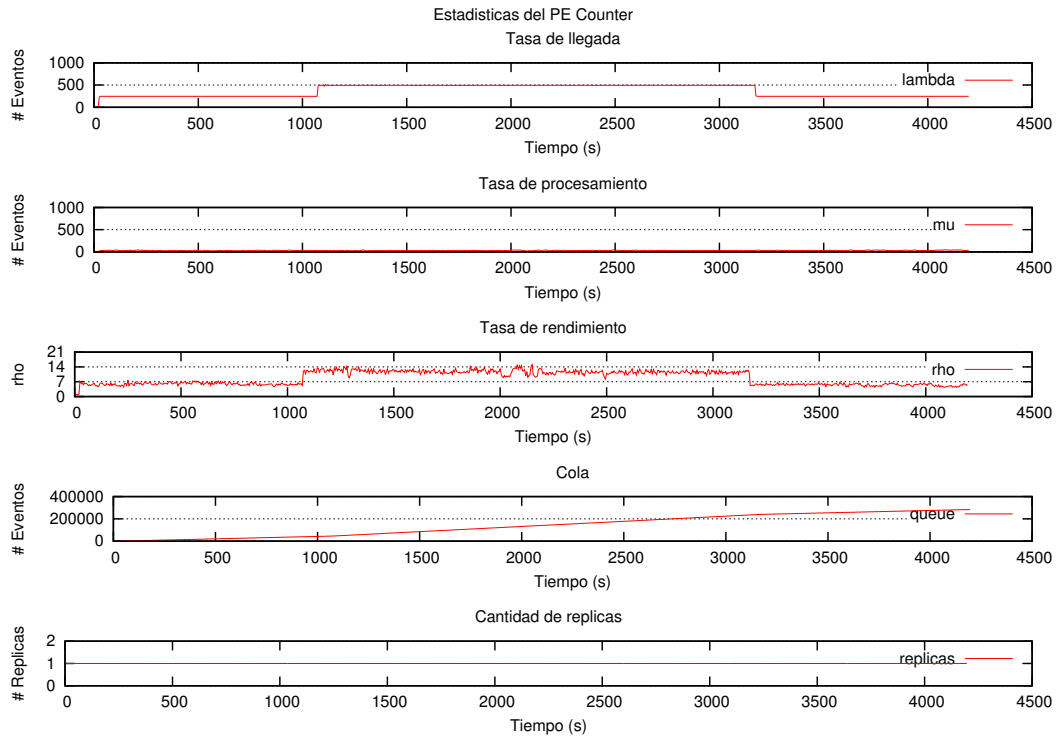


Figura 5.40: Estadísticas del PE Counter en la segunda aplicación con un envío variable de la fuente de datos sin uso del monitor.

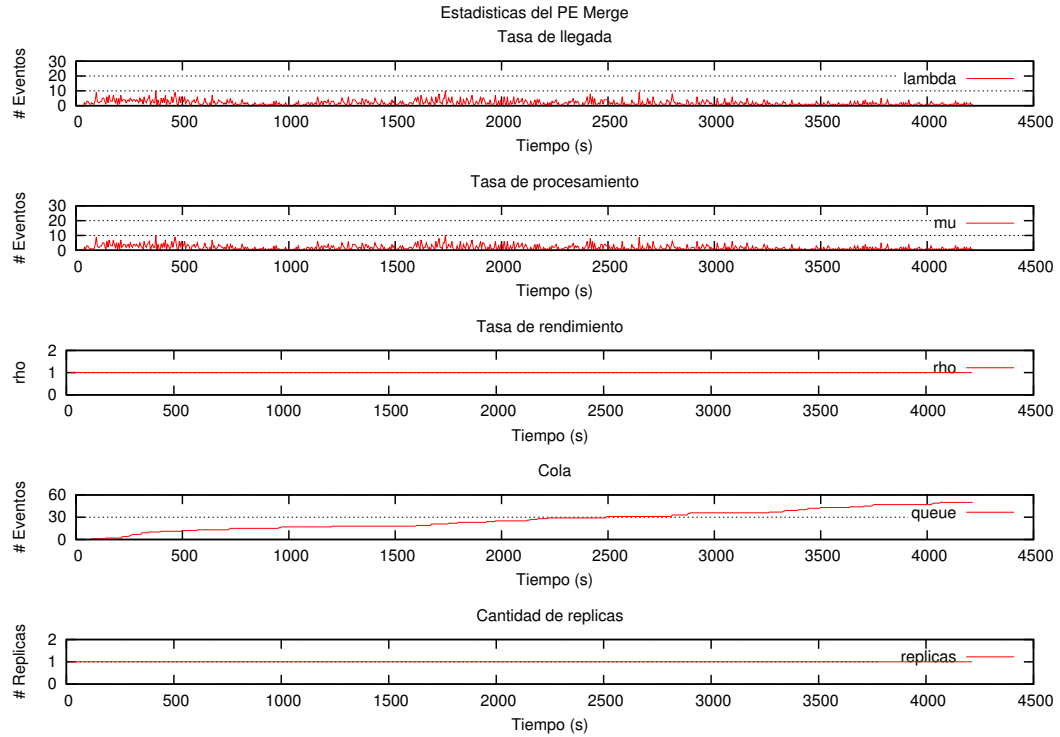


Figura 5.41: Estadísticas del PE Merge en la segunda aplicación con un envío variable de la fuente de datos con uso del monitor.

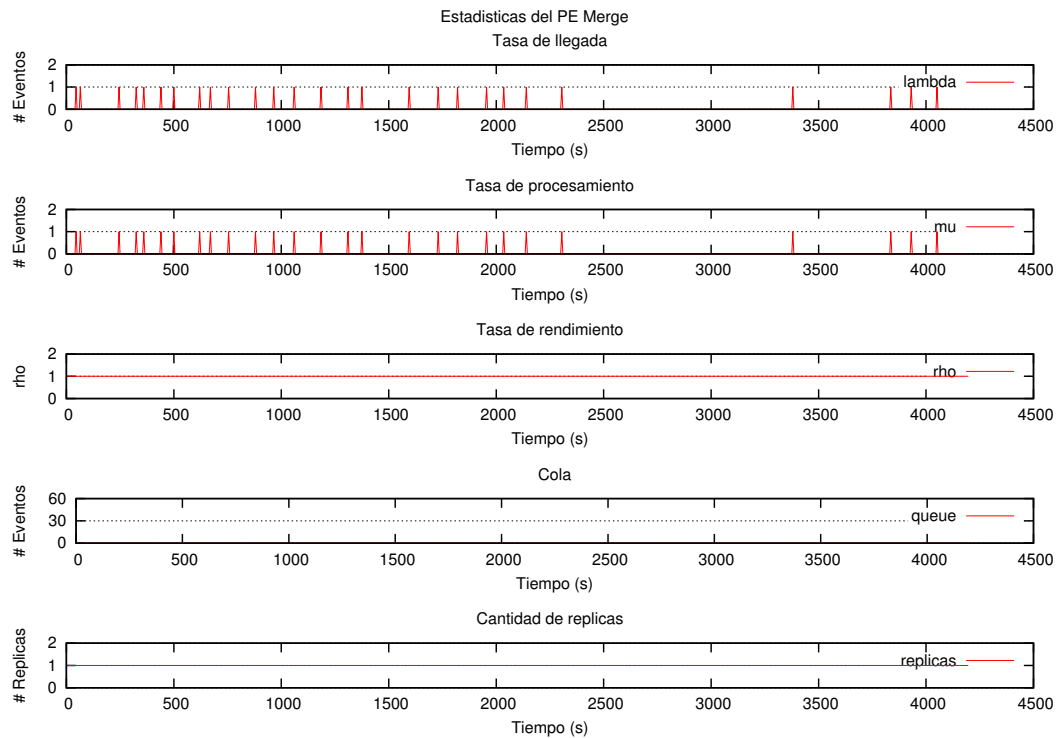


Figura 5.42: Estadísticas del PE Merge en la segunda aplicación con un envío variable de la fuente de datos sin uso del monitor.

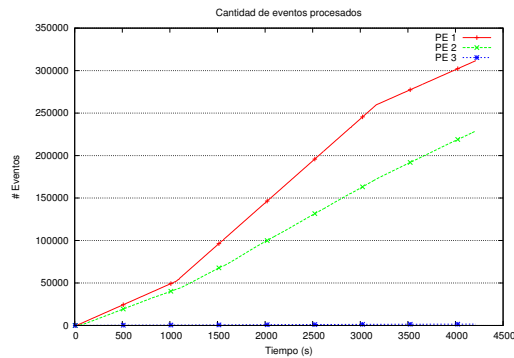


Figura 5.43: Cantidad total de eventos procesados en la segunda aplicación con un envío variable de la fuente de datos usando monitor.

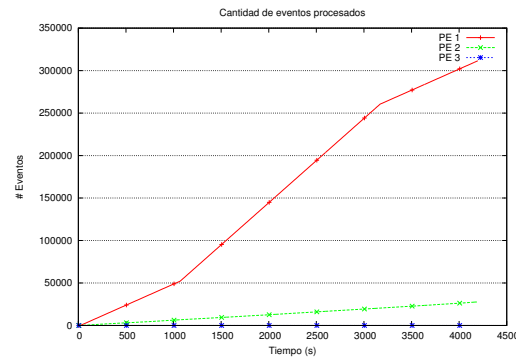


Figura 5.44: Cantidad total de eventos procesados en la segunda aplicación con un envío variable de la fuente de datos no usando monitor.

una convergencia en el consumo de la memoria, por lo que posteriormente el reducir las colas, reduce igualmente el consumo de memoria RAM en la ejecución.

En cuanto a la cantidad total de eventos procesados, en las Figuras 5.49 y 5.50 se aprecia que la cantidad de eventos procesados es mayor en el gráfico con uso del monitor. En el primer gráfico existe un total de 88,169 eventos procesados y en el segundo un total de 29,714 eventos procesados, existiendo una mejora de 3 veces la cantidad de eventos procesados

Finalmente, en las Figuras 5.51 y 5.52 se presentan las estadísticas del primer PE, el cual se muestra una diferencia en la tasa de procesamiento en los experimentos con y sin monitor, lo cual afecta en la tasa de llegada del segundo PE como muestra las Figura 5.53 y 5.54. Finalmente, en las Figuras 5.55 y 5.56 se presenta el tercer PE, en el cual no existe variación en su tasa de rendimiento en ninguno de los dos casos, debido que en el experimento sin monitor recibe una menor tasa de llegada, dada la tasa de procesamiento del PE anterior.

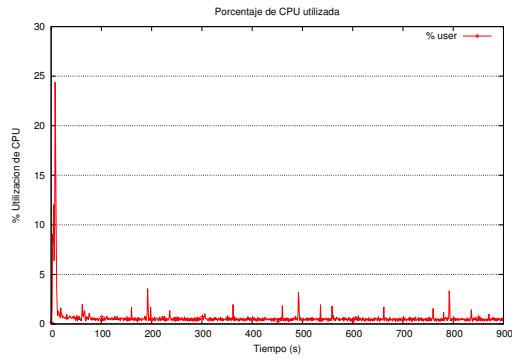


Figura 5.45: Porcentaje de utilización de la CPU en la tercera aplicación usando monitor.

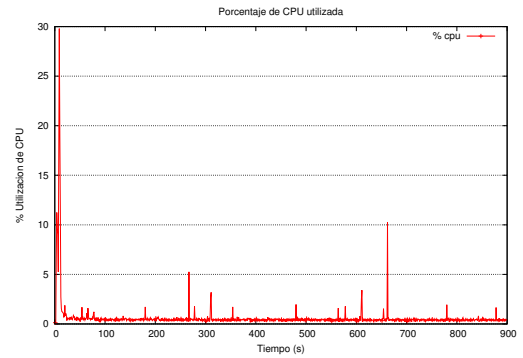


Figura 5.46: Porcentaje de utilización de la CPU en la tercera aplicación no usando monitor.

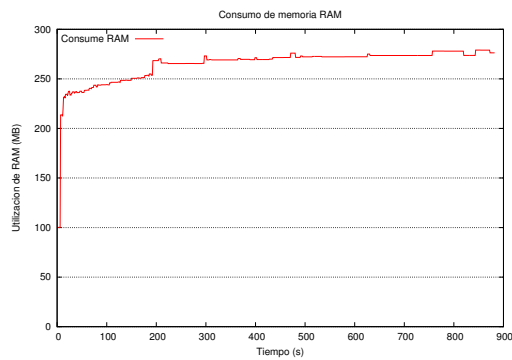


Figura 5.47: Consumo de memoria RAM en la tercera aplicación usando monitor.

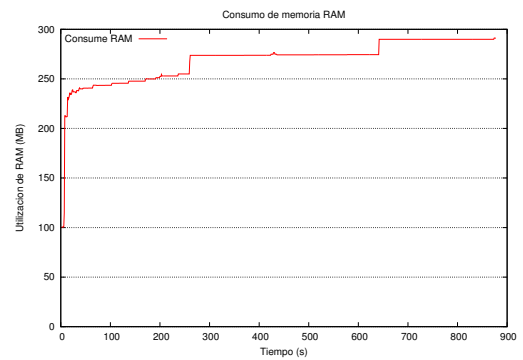


Figura 5.48: Consumo de memoria RAM en la tercera aplicación no usando monitor.

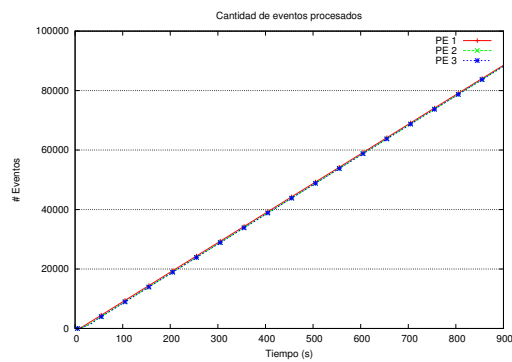


Figura 5.49: Cantidad de eventos procesados en la tercera aplicación usando monitor.

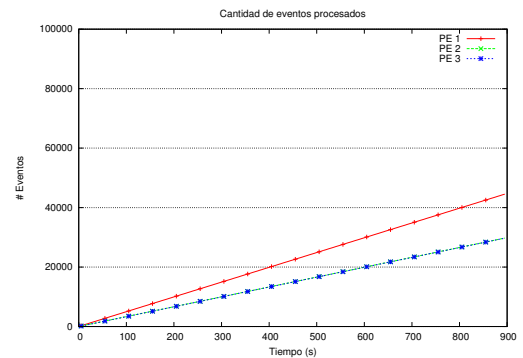


Figura 5.50: Cantidad de eventos procesados en la tercera aplicación no usando monitor.

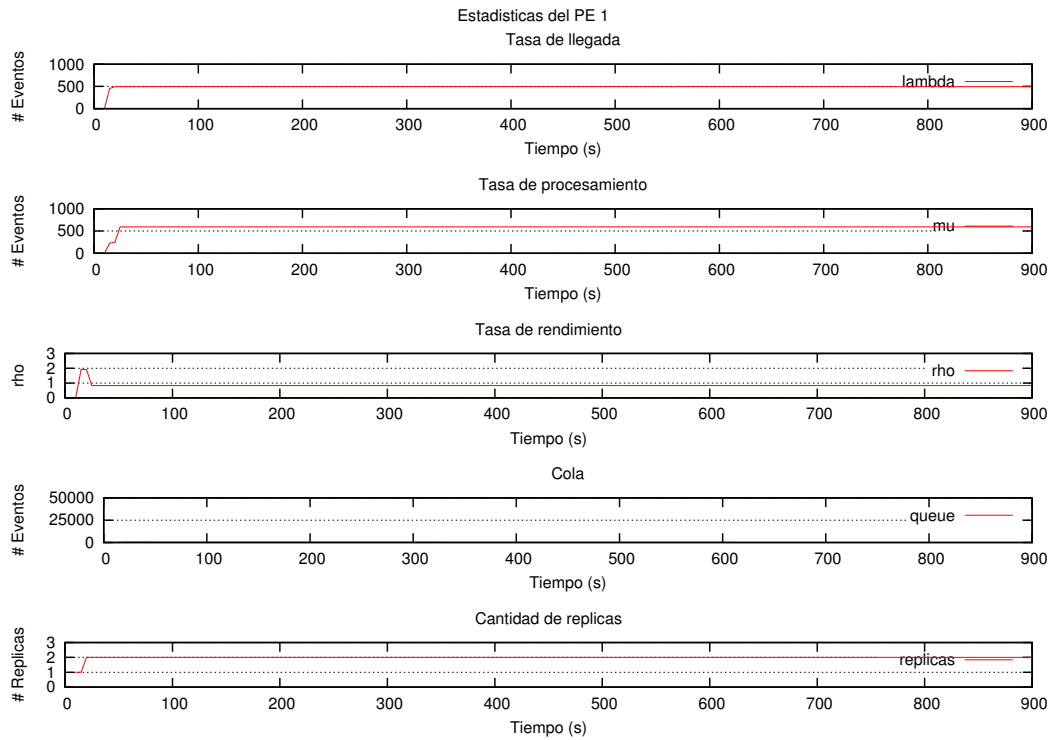


Figura 5.51: Estadísticas del primer PE en la tercera aplicación con un envío constante de la fuente de datos con uso del monitor.

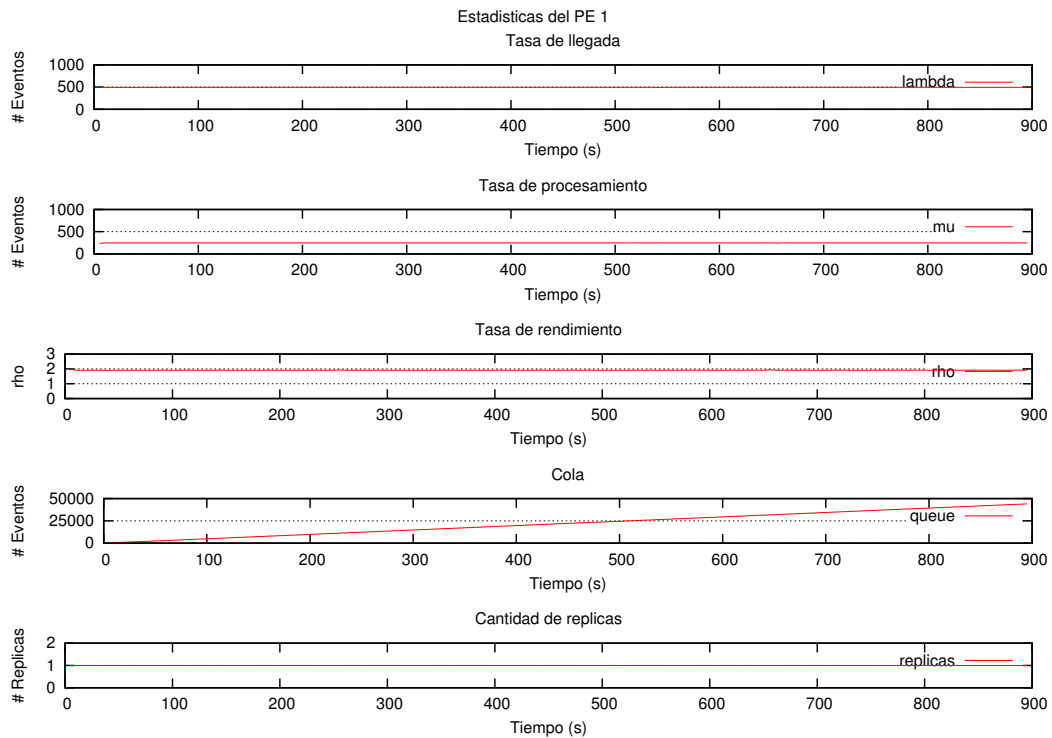


Figura 5.52: Estadísticas del primer PE en la tercera aplicación con un envío constante de la fuente de datos sin uso del monitor.

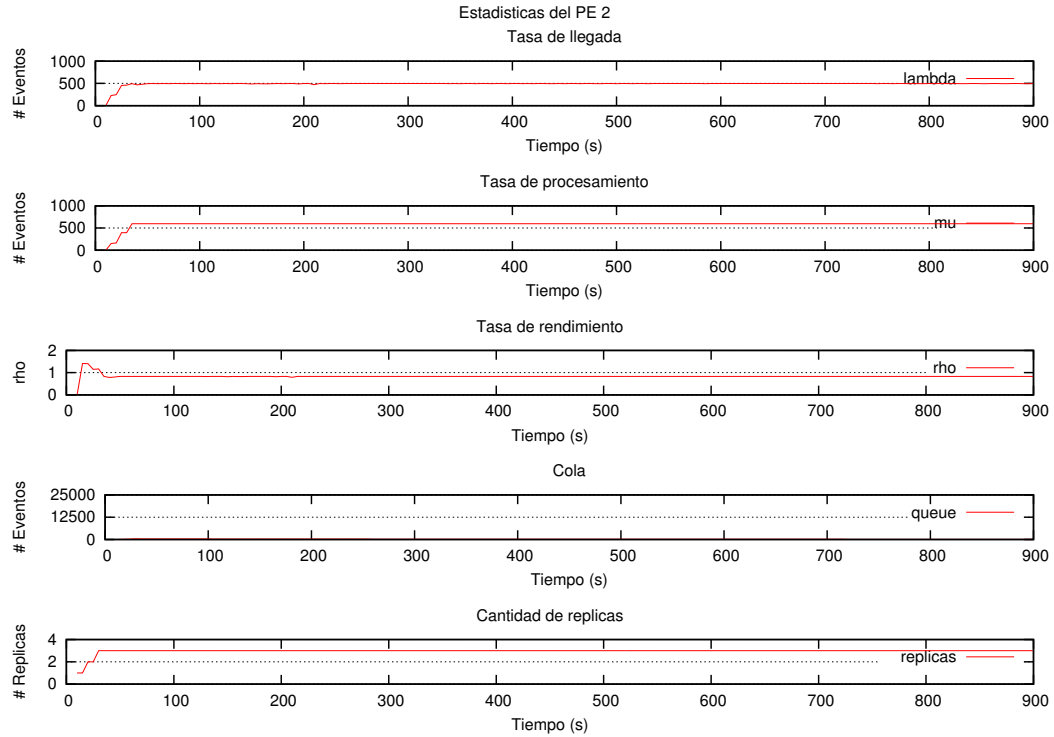


Figura 5.53: Estadísticas del segundo PE en la tercera aplicación con un envío constante de la fuente de datos con uso del monitor.

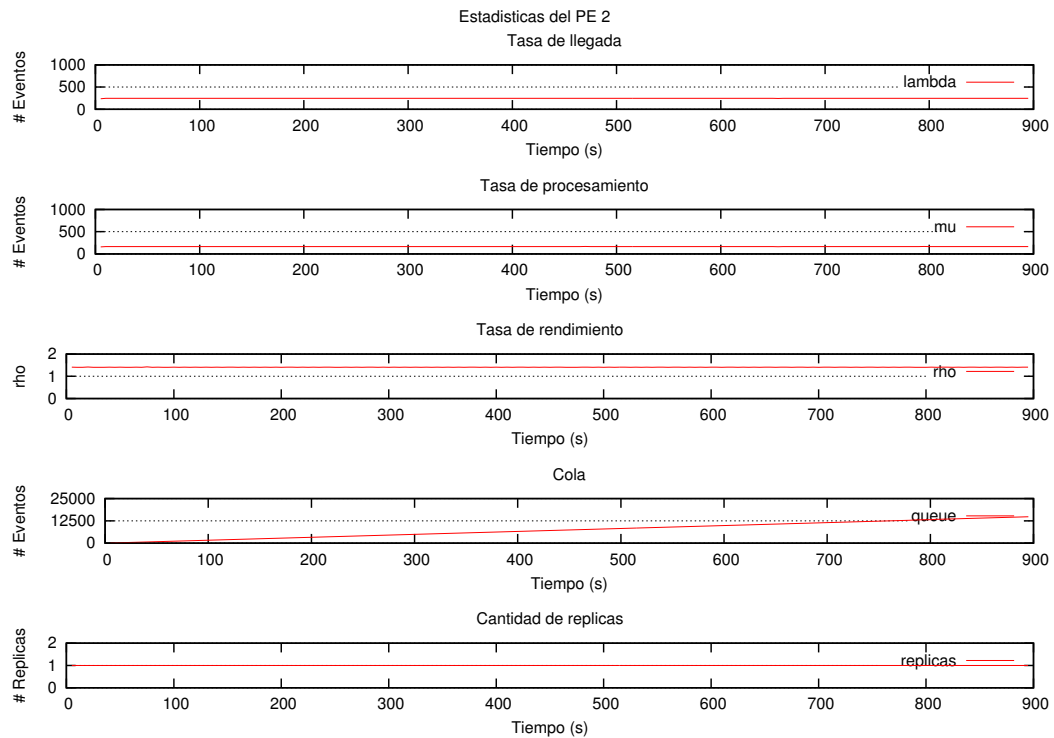


Figura 5.54: Estadísticas del segundo PE en la tercera aplicación con un envío constante de la fuente de datos sin uso del monitor.

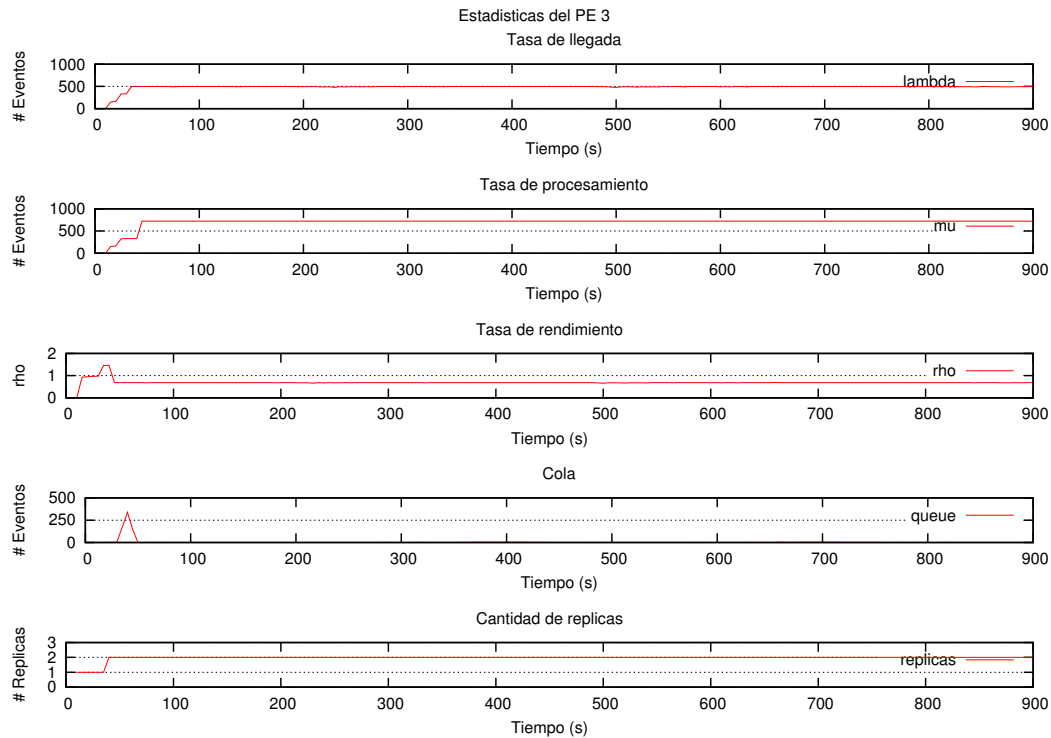


Figura 5.55: Estadísticas del tercer PE en la tercera aplicación con un envío constante de la fuente de datos con uso del monitor.

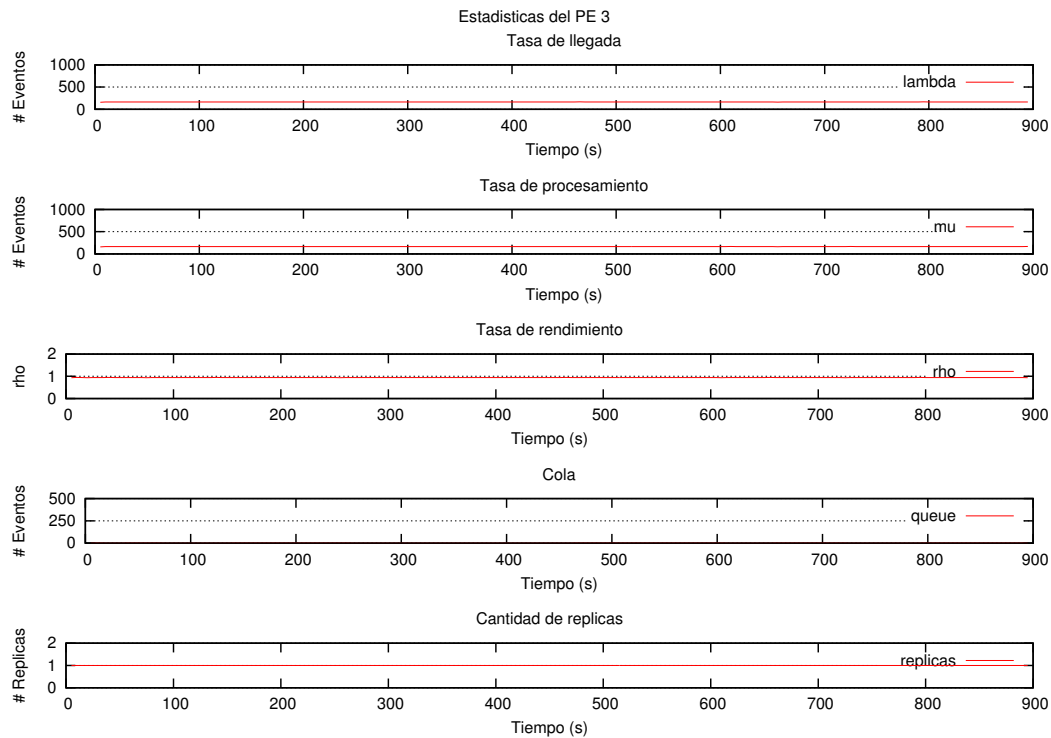


Figura 5.56: Estadísticas del tercer PE en la tercera aplicación con un envío constante de la fuente de datos sin uso del monitor.

CAPÍTULO 6. CONCLUSIONES

Dentro del trabajo realizado, se ha propuesto un modelo elástico de distribución de carga que permita una mejor utilización de los recursos disponibles y con ello un aumento en su capacidad de procesamiento. Debo a esto, se procesa mayor cantidad de información, lo cual es relevante para las aplicaciones soportadas por el SPS, puesto que mejora la precisión de los resultados entregados.

6.1 DETALLES DE LA CONTRIBUCIÓN

Las contribuciones realizadas en este trabajo se encuentran el diseño e implementación de un modelo elástico que pudiera lidiar con el dinamismo del flujo de un SPS. En este modelo se diseñaron cuatro módulos, los cuales estaban compuestos por un módulo de monitoreo, que estuviera recolectando las estadísticas, un módulo reactivo y predictivo, que indica la cantidad de carga de cada operador en el presente y a futuro, y un módulo de administración de réplicas.

El módulo reactivo y predictivo fueron diseñados e implementados con un algoritmo reactivo y predictivo respectivamente, donde estos pudieran determinar el estado del operador según la tarea asignada. Por parte del reactivo, su función es analizar en el momento la carga del operador, cumpliendo así el primer objetivo de este trabajo, el cual consiste en diseñar e implementar un algoritmo reactivo que permita analizar en el momento la carga de los operadores. Y por parte del predictivo, es estimar la carga del operador, cumpliendo el segundo objetivo, el cual consiste en diseñar e implementar un algoritmo de predicción que permita estimar la carga de los operadores.

Así mismo, se ha diseñado e implementado un módulo elástico que tuviera un módulo de administración de carga, donde éste se encarga de administrar la cantidad de réplicas de los operadores del SPS de forma elástica. Para esto, se ha diseñado e implementado un algoritmo de administración de carga, cumpliendo así el tercer objetivo del presente trabajo, el

cual consiste en diseñar e implementar un algoritmo que permita la administración del número de operadores del grafo de procesamiento de forma elástica.

Por otra parte, se han diseñado y construido distintos experimentos que permita validar la hipótesis planteada, cuyo planteamiento es la utilización de modelo elástico de tal manera que mejore el rendimiento del SPS y se procese mayor cantidad de eventos, cumpliendo así el cuarto objetivo planteado.

Y finalmente, se ha evaluado y analizado el rendimiento del sistema a través de distintas aplicaciones generadas sobre un SPS, en este caso sobre S4. En todas las aplicaciones ha mejorado la cantidad de eventos procesados, dependiendo del tipo de aplicación se ha detectado un aumento de hasta 8 veces más eventos procesados. Como se había mencionado anterior, al poseer mayor cantidad de datos procesados, se posee mayor precisión en la información obtenida. Por otra parte, el costo asociado por la implementación del modelo elástico es de un aumento de 0,0119%, pero con una disminución del uso de la memoria RAM, la cual es de un 1,5187%, lo cual significa que el sistema si bien puede aumentar el consumo de CPU, disminuye el uso de la RAM.

Por lo que no sólo se lograron todos los objetivos planteados, sino que se ha demostrado la hipótesis planteada en el inicio del trabajo, donde según los distintos experimentos realizados, se ha determinado que el modelo cumple con una mejora en el SPS, aumentando la cantidad de datos procesados. Pero además de esto, se ha concluido que el sistema posee un bajo costo de implementación, además de una ganancia en el consumo de memoria.

6.2 DISCUSIONES

Uno de los problemas detectados fue la implementación realizada en S4, debido que el SPS posee ciertas falacias para implementación del modelo diseñado. Esto se debe a que la cantidad de eventos entrantes no eran todos procesados, independiente si se genera una mayor cantidad de réplicas. Este problema fue detectado en la fase de experimentación, donde al tratar de realizar pruebas con un tiempo de ejecución mayor, existe una disminución considerablemente

de la tasa de rendimiento de un operador después de un largo tiempo de ejecución, debido a que el *buffer* del operador se llena al no procesar todos los datos entrantes, bloqueando el envío de eventos a éste.

Dentro de las limitaciones del trabajo estaba la homogeneidad de los eventos procesados. Como se había presentando en las limitaciones, este modelo está pensando de tal manera que la tasa de procesamiento fuera similar para cada uno de los eventos entrantes. Esto era importante a considerar, porque de ser heterogéneos los eventos entrantes, existe un problema con la tasa de procesamiento, debido que es considerar un valor de referencia según la historia del operador. Pero esto no garantiza que los próximos eventos posean la misma tasa de procesamiento, debido que puede darse el caso que su tasa de procesamiento sea más alta, por lo que el cálculo de la tasa de rendimiento sería errónea. Debido a esto, es que se consideran datos homogéneos, de tal manera que pueda obtenerse una tasa de procesamiento única para el sistema, y no encontrar ambigüedades en los cálculos realizados.

Si bien el trabajo realizado hace un buen análisis del sistema lógico, no realiza un buena análisis según los recursos disponibles por parte del sistema. Es por esto, que tuvo que limitarse la cantidad de operadores que pueden replicarse, dado que no existen recursos ilimitados en la máquina. Por lo tanto, puede generarse ahora otro tipo de sobrecarga, que ya no es a nivel lógico, sino físico, para lo cual el sistema no está diseñado.

Por otra parte, el sistema no detecta patrones estacionarios que puedan existir en el día, lo cual es una desventaja en la implementación del sistema. Esto se debe a que el algoritmo predictivo analiza procesos estocásticos, y no un aprendizaje del comportamiento del flujo de datos, como lo realizan así modelos predictivos como *machine learning* (Mohri et al., 2012).

Pero independiente de las limitantes o desventajas existentes, el sistema diseñado posee la ventaja de poseer un bajo cómputo en el cálculo de los distintos algoritmos diseñados, teniendo un bajo *overhead* de implementación. También se destaca el rápido análisis de los operadores, ya sea en la distribución de carga en cada uno de los operadores, o en el estado que se encuentra el operador, de tal manera de modificar la cantidad de réplicas existentes. De esta manera, al poseer un sistema elástico, se posee la ventaja de optimizar la cantidad de recursos

existentes y adquirir un dinamismo en el grafo de la aplicación ejecutada sobre el SPS.

6.3 TRABAJO FUTURO

Dentro de las mejoras que se puede realizar al sistema son fundamental tres: un modelo elástico que trabaje con más de un nodo físico, un predictor que indique dinámicamente cuantas son las réplicas necesarias según el historial y la implementación del sistema diseñado en otro SPS.

En el primer caso, se podría realizar un sistema de monitoreo, en el cual se posea una máquina para analizar los datos de cada una de las máquinas disponibles, y ésta posea además las réplicas primarias de cada operador. En caso que exista una sobrecarga por parte de un operador, es necesario realizar una réplica por parte del monitor centralizado, y que este determine a cual de las máquinas disponibles debe enviar los datos según la cantidad de recursos disponibles, tasa de procesamiento por parte del operador, entre otras variables. De esta manera, se posee un sistema escalable, debido que se puede implementar un SPS en un servicio de *Cloud Computing*, de tal manera que en caso que sea necesario mayor cantidad de máquinas, se añadan y el monitor pueda distribuir mayor carga a estas nuevas máquinas, en caso de ser requerido.

En el segundo caso, se podría realizar un análisis más detallado de la historia, de tal manera que según el comportamiento que éste posea, indica cuantas son las réplicas que se desean aumentar o disminuir según su historia. Por ejemplo, en el caso que la tasa de rendimiento sea muy alta en la historia, significa que posee una gran cantidad de réplicas, pero si la tasa de rendimiento es alta, pero no excesivamente, la cantidad de réplicas debe ser menor. En el caso propuesto, se realizó con valores constantes, por lo que podría generarse una mejora a futuro con este tipo de análisis.

Así mismo, se podría realizar un estudio respecto a *peak* que se encuentren de forma estacionaria según cierto flujo de datos, y que el sistema se adapte dinámicamente a esos *peak*. Por ejemplo, en el caso de *Twitter* existen períodos del día que los usuarios comentan más, por

lo tanto, en esos períodos aumentar la cantidad de recursos, y en los períodos que no comentan tanto, se podría disminuir la cantidad de recursos, por lo que se podría evaluar alternativas para el predictor como *machine learning* (Mohri et al., 2012).

Finalmente, el tercer caso, es poder implementar el sistema de distribución de carga en otro SPS, ya sea Storm (Storm, 2014) o StreamIt (Thies et al., 2002), debido a los distintos problemas que surgieron al utilizar el S4. De esta manera, se podría realizar una comparación de cual son los distintos pro y contra de los SPS con el sistema implementando, y en que casos es mejor utilizar uno u otro.

BIBLIOGRAFÍA

- Abadi, D. J., Carney, D., Çetintemel, U., Cherniack, M., Convey, C., Lee, S., Stonebraker, M., Tatbul, N., & Zdonik, S. B. (2003). Aurora: a new model and architecture for data stream management. *VLDB J.*, 12(2), 120–139.
- Alves, D., Bizarro, P., & Marques, P. (2010). Flood: Elastic streaming mapreduce. In *Proceedings of the Fourth ACM International Conference on Distributed Event-Based Systems*, (pp. 113–114).
- Andrade, H., Gedik, B., & Turaga, D. (2014). *Fundamentals of Stream Processing: Application Design, Systems, and Analytics*. Cambridge University Press.
- Appel, S., Frischbier, S., Freudenreich, T., & Buchmann, A. P. (2012). Eventlets: Components for the integration of event streams with SOA. In *2012 Fifth IEEE International Conference on Service-Oriented Computing and Applications (SOCA), Taipei, Taiwan, Diciembre 17-19, 2012*, (pp. 1–9).
- Bhuvanagiri, L., Ganguly, S., Kesh, D., & Saha, C. (2006). Simpler algorithm for estimating frequency moments of data streams. In *Proceedings of the Seventeenth Annual ACM-SIAM Symposium on Discrete Algorithms, SODA 2006, Miami, Florida, USA, January 22-26, 2006*, (pp. 708–713).
- Birman, K. P. (2012). *Guide to Reliable Distributed Systems - Building High-Assurance Applications and Cloud-Hosted Services*. Texts in Computer Science. Springer.
- Bose, S. K. (2013). *An introduction to queueing systems*. Springer Science & Business Media.
- Breuer, L., & Baum, D. (2005). *An introduction to queueing theory and matrix-analytic methods*. Springer.
- Brucker, P. (2004). *Scheduling algorithms*. Springer.
- Casavant, T. L., & Kuhl, J. G. (1988). A taxonomy of scheduling in general-purpose distributed computing systems. *IEEE Trans. Software Eng.*, 14(2), 141–154.
- Chakravarthy, S., & Jiang, Q. (2009). *Stream Data Processing: A Quality of Service Perspective - Modeling, Scheduling, Load Shedding, and Complex Event Processing*, vol. 36 of *Advances in Database Systems*. Kluwer.
- Chen, C. L. P., & Zhang, C. (2014). Data-intensive applications, challenges, techniques and technologies: A survey on Big Data. *Inf. Sci.*, 275, 314–347.
- Ching, W. K., & Ng, M. K. (2006). *Markov chains*. Springer.
- Chodorow, K. (2013). *MongoDB: the definitive guide*. .o'Reilly Media, Inc.”.
- De Sapio, R. (1978). *Calculus for the life sciences*.
- Dong, F., & Akl, S. G. (2006). Scheduling algorithms for grid computing: State of the art and open problems.
- Dong, M., Tong, L., & Sadler, B. M. (2007). Information retrieval and processing in sensor networks: Deterministic scheduling versus random access. *IEEE Transactions on Signal Processing*, 55(12), 5806–5820.
- Falk, M., Marohn, F., Michel, R., Hofmann, D., Macke, M., Tewes, B., & Dinges, P. (2012). A first course on time series analysis: examples with sas.
- Fernandez, R. C., Migliavacca, M., Kalyvianaki, E., & Pietzuch, P. (2013). Integrating scale out and fault tolerance in stream processing using operator state management. In *Proceedings of the ACM SIGMOD International Conference on Management of Data, SIGMOD 2013, New York, NY, USA, June 22-27, 2013*, (pp. 725–736).

- Ganguly, S. (2009). Deterministically estimating data stream frequencies. In *Combinatorial Optimization and Applications, Third International Conference, COCOA 2009, Huangshan, China, June 10-12, 2009. Proceedings*, (pp. 301–312).
- Gedik, B., Schneider, S., Hirzel, M., & Wu, K. (2014). Elastic scaling for data stream processing. *IEEE Trans. Parallel Distrib. Syst.*, 25(6), 1447–1463.
- Gong, Z., Gu, X., & Wilkes, J. (2010). PRESS: predictive elastic resource scaling for cloud systems. In *Proceedings of the 6th International Conference on Network and Service Management, CNSM 2010, Niagara Falls, Canada, October 25-29, 2010*, (pp. 9–16).
- Gulisano, V., Jiménez-Peris, R., Patiño-Martínez, M., Soriente, C., & Valdúez, P. (2012). Streamcloud: An elastic and scalable data streaming system. *IEEE Trans. Parallel Distrib. Syst.*, 23(12), 2351–2365.
- Gupta, D., & Bepari, P. (1999). Load sharing in distributed systems. In *Proceedings of the National Workshop on Distributed Computing*.
- Hawwash, B., & Nasraoui, O. (2014). From tweets to stories: Using stream-dashboard to weave the twitter data stream into dynamic cluster models. In *Proceedings of the 3rd International Workshop on Big Data, Streams and Heterogeneous Source Mining: Algorithms, Systems, Programming Models and Applications, BigMine 2014, New York City, USA, Agosto 24, 2014*, (pp. 182–197).
- Hernández Sampieri, R., Fernández Collado, C., & Baptista Lucio, P. (2010). Metodología de la investigación. México: Editorial Mc Graw Hill.
- Hirzel, M., Soulé, R., Schneider, S., Gedik, B., & Grimm, R. (2013). A catalog of stream processing optimizations. *ACM Comput. Surv.*, 46(4), 46:1–46:34.
- Hunt, P., Konar, M., Junqueira, F. P., & Reed, B. (2010). Zookeeper: Wait-free coordination for internet-scale systems. In *2010 USENIX Annual Technical Conference, Boston, MA, USA, June 23-25, 2010*.
- Ishii, A., & Suzumura, T. (2011). Elastic stream computing with clouds. In *IEEE International Conference on Cloud Computing, CLOUD 2011, Washington, DC, USA, 4-9 July, 2011*, (pp. 195–202).
- Karp, R. M., Shenker, S., & Papadimitriou, C. H. (2003). A simple algorithm for finding frequent elements in streams and bags. *ACM Trans. Database Syst.*, 28, 51–55.
- Lehrig, S., Eikerling, H., & Becker, S. (2015). Scalability, elasticity, and efficiency in cloud computing: a systematic literature review of definitions and metrics. In *Proceedings of the 11th International ACM SIGSOFT Conference on Quality of Software Architectures, QoSA'15 (part of CompArch 2015), Montreal, QC, Canada, May 4-8, 2015*, (pp. 83–92).
- Leibiusky, J., Eisbruch, G., & Simonassi, D. (2012). *Getting Started with Storm - Continuous Streaming Computation with Twitter's Cluster Technology*. O'Reilly.
- Lin, J., & Dyer, C. (2010). *Data-Intensive Text Processing with MapReduce*. Synthesis Lectures on Human Language Technologies. Morgan & Claypool Publishers.
- Madsen, K. G. S., Thyssen, P., & Zhou, Y. (2014). Integrating fault-tolerance and elasticity in a distributed data stream processing system. In *Conference on Scientific and Statistical Database Management, SSDBM '14, Aalborg, Denmark, June 30 - July 02, 2014*, (p. 48).
- Mattmann, C., & Zitting, J. (2011). *Tika in action*. Manning Publications Co.
- Menin, E. (2002). *The Streaming Media Handbook*. Pearson Education.

- Miao, R., Yu, M., & Jain, N. (2014). NIMBUS: cloud-scale attack detection and mitigation. In *ACM SIGCOMM 2014 Conference, SIGCOMM'14, Chicago, IL, USA, August 17-22, 2014*, (pp. 121–122).
- Mohri, M., Rostamizadeh, A., & Talwalkar, A. (2012). *Foundations of Machine Learning*. Adaptive computation and machine learning. MIT Press.
- Neumeyer, L., Robbins, B., Nair, A., & Kesari, A. (2010). S4: distributed stream computing platform. In *ICDMW 2010, The 10th IEEE International Conference on Data Mining Workshops, Sydney, Australia, 14 December 2010*, (pp. 170–177).
- Nguyen, H., Shen, Z., Gu, X., Subbiah, S., & Wilkes, J. (2013). AGILE: elastic distributed resource scaling for infrastructure-as-a-service. In *10th International Conference on Autonomic Computing, ICAC'13, San Jose, CA, USA, June 26-28, 2013*, (pp. 69–82).
- Oberhelman, D. (2007). Coming to terms with Web 2.0. *Reference Reviews*, 21, 5–6.
- Papoulis, A. (1984). *Probability, Random Variables, and Stochastic Processes*. Mc-Graw Hill.
- Pittau, M., Alimonda, A., Carta, S., & Acquaviva, A. (2007). Impact of task migration on streaming multimedia for embedded multiprocessors: A quantitative evaluation. In *Proceedings of the 2007 5th Workshop on Embedded Systems for Real-Time Multimedia, ESTMedia 2007, October 4-5, Salzburg, Austria, conjunction with CODES+ISSS 2007*, (pp. 59–64).
- Rushton, A. (2010). *The handbook of logistics and distribution management*. Kogan Page Publishers.
- S4 (2014). Distributed stream computing platform. [Online] <http://incubator.apache.org/s4/>.
- Samza, A. (2014). Samza. [Online] <http://samza.incubator.apache.org/>.
- Schneider, S., Andrade, H., Gedik, B., Biem, A., & Wu, K. (2009). Elastic scaling of data parallel operators in stream processing. In *23rd IEEE International Symposium on Parallel and Distributed Processing, IPDPS 2009, Rome, Italy, May 23-29, 2009*, (pp. 1–12).
- Services, A. W. (2015). Amazon elastic compute cloud (ec2). [Online] <https://aws.amazon.com/ec2/>.
- Shahrivari, S. (2014). Beyond batch processing: Towards real-time and streaming big data. *Computing Research Repository*, abs/1403.3375.
- Sheu, T., & Chi, Y. (2009). Intelligent stale-frame discards for real-time video streaming over wireless ad hoc networks. *EURASIP J. Wireless Comm. and Networking*, 2009.
- Soong, T. T. (2004). *Fundamentals of probability and statistics for engineers*. John Wiley & Sons.
- Stonebraker, M., Çetintemel, U., & Zdonik, S. B. (2005). The 8 requirements of real-time stream processing. *SIGMOD Record*, 34(4), 42–47.
- Storm (2014). Distributed and fault-tolerant realtime computation. [Online] <http://storm.incubator.apache.org/>.
- Sturm, R., Morris, W., & Jander, M. (2000). *Foundations of Service Level Management*.
- Tanenbaum, A. S., & van Steen, M. (2007). *Distributed Systems - Principles and paradigms*. Pearson Education.
- Taylor, H. M., & Karlin, S. (2014). *An introduction to stochastic modeling*. Academic press.

- Thies, W., Karczmarek, M., & Amarasinghe, S. P. (2002). Streamit: A language for streaming applications. In *Compiler Construction, 11th International Conference, CC 2002, Held as Part of the Joint European Conferences on Theory and Practice of Software, ETAPS 2002, Grenoble, France, April 8-12, 2002, Proceedings*, (pp. 179–196).
- Wang, X., & Loguinov, D. (2007). Load-balancing performance of consistent hashing: asymptotic analysis of random node join. *IEEE/ACM Trans. Netw.*, 15(4), 892–905.
- Wenzel, S. (2014). App'ification of enterprise software: A multiple-case study of big data business applications. In *Business Information Systems - 17th International Conference, BIS 2014, Larnaca, Cyprus, Mayo 22-23, 2014. Proceedings*, (pp. 61–72).
- Xing, Y., Zdonik, S. B., & Hwang, J. (2005). Dynamic load distribution in the borealis stream processor. In *Proceedings of the 21st International Conference on Data Engineering, ICDE 2005, 5-8 April 2005, Tokyo, Japan*, (pp. 791–802).
- Xu, J., Chen, Z., Tang, J., & Su, S. (2014). T-storm: Traffic-aware online scheduling in storm. In *IEEE 34th International Conference on Distributed Computing Systems, ICDCS 2014, Madrid, Spain, June 30 - July 3, 2014*, (pp. 535–544).

ANEXO A. CONFORMACIÓN DE MATRIZ DE TRANSICIÓN

En el Algoritmo A.1 se puede apreciar la conformación de la matriz de transición dado la historia de un operador determinado.

Algoritmo A.1: Algoritmo para la conformación de la matriz de transición.

Entrada: ρ Historial de procesamiento de tamaño n del operador ϕ .

Salida: Γ Matriz de transición del operador ϕ .

```
1:  $\Gamma \leftarrow Matriz[3 \times 3]$  //Matriz de transición
2:  $\tau \leftarrow Arreglo[3]$  //Contador para la normalización de los datos
3: for  $i = 1$  a  $n$  do
4:   if  $\rho_i < 0,5$  and  $\rho_{i+1} < 0,5$  then
5:      $\Gamma_{1,1}++$ 
6:      $\tau_1++$ 
7:   else if  $\rho_i < 0,5$  and  $0,5 \leq \rho_{i+1} \leq 1$  then
8:      $\Gamma_{1,2}++$ 
9:      $\tau_1++$ 
10:  else if  $\rho_i < 0,5$  and  $\rho_{i+1} > 1$  then
11:     $\Gamma_{1,3}++$ 
12:     $\tau_1++$ 
13:  else if  $0,5 \leq \rho_i \leq 1,5$  and  $\rho_{i+1} < 0,5$  then
14:     $\Gamma_{2,1}++$ 
15:     $\tau_2++$ 
16:  else if  $0,5 \leq \rho_i \leq 1,5$  and  $0,5 \leq \rho_{i+1} \leq 1,5$  then
17:     $\Gamma_{2,2}++$ 
18:     $\tau_2++$ 
19:  else if  $0,5 \leq \rho_i \leq 1,5$  and  $\rho_{i+1} > 1,5$  then
20:     $\Gamma_{2,3}++$ 
21:     $\tau_2++$ 
22:  else if  $\rho_i > 1$  and  $\rho_{i+1} < 0,5$  then
23:     $\Gamma_{3,1}++$ 
24:     $\tau_3++$ 
25:  else if  $\rho_i > 1$  and  $0,5 \leq \rho_{i+1} \leq 1,5$  then
26:     $\Gamma_{3,2}++$ 
27:     $\tau_3++$ 
28:  else
29:     $\Gamma_{3,3}++$ 
30:     $\tau_3++$ 
31:  end if
32: end for
33: for  $i = 1$  a  $3$  do
34:   if  $\tau_i \neq 0$  then
35:    for  $j = 1$  a  $3$  do
36:       $\Gamma_{i,j} \leftarrow \Gamma_{i,j} / \tau_i$ 
37:    end for
38:   end if
39: end for
40: return  $\Gamma$  //Retorno de la Matriz de transición normalizada, la cual define la cadena de Markov
```

ANEXO B. CLASES PARA LA IMPLEMENTACIÓN DEL SISTEMA DE MONITOREO

En el Código B.1 se muestra las estadísticas de un PE en específico, donde se guarda el nombre del *stream* asociado al PE, la tasa de llegada (λ), tasa de servicio ($\mu * s$), tasa de servicio unitaria (μ), tasa de rendimiento (ρ), cola, historial del PE para el cálculo predictivo, clase del PE, cantidad de réplicas, historial de alertas para la replicación según el algoritmo reactivo y cantidad total de eventos procesados.

Estas estadísticas son las que se utilizan como entrada para el algoritmo reactivo o predictivo, de tal manera que puedan realizar los cálculos correspondientes.

```
1 public class StatusPE {
2
3     private String stream;
4
5     private long recibeEvent;
6     private long sendEvent;
7     private double sendEventUnit;
8     private double processEvent;
9     private long queueEvent;
10    private Queue<Double> history;
11    private Class<? extends ProcessingElement> pe;
12    private int replication;
13    private Queue<Integer> markMap;
14    private long eventCount;
15
16    public StatusPE() {
17        stream = null;
18        recibeEvent = 0;
19        sendEvent = 0;
20        sendEventUnit = 0;
21        processEvent = 0;
22        queueEvent = 0;
23        history = new CircularFifoQueue<Double>(100);
24        pe = null;
25        replication = 0;
26        markMap = new CircularFifoQueue<Integer>(2);
27        eventCount = 0;
28    }
29
30    public String getStream() {
31        return stream;
32    }
33
34    public void setStream(String stream) {
35        this.stream = stream;
36    }
37
38    public long getRecibeEvent() {
39        return recibeEvent;
40    }
41
42    public void setRecibeEvent(long recibeEvent) {
43        this.recibeEvent = recibeEvent;
44    }
45
46    public long getSendEvent() {
47        return sendEvent;
```

```
48     }
49
50     public void setSendEvent(long sendEvent) {
51         this.sendEvent = sendEvent;
52     }
53
54     public double getSendEventUnit() {
55         return sendEventUnit;
56     }
57
58     public void setSendEventUnit(double sendEventUnit) {
59         this.sendEventUnit = sendEventUnit;
60     }
61
62     public double getProcessEvent() {
63         return processEvent;
64     }
65
66     public void setProcessEvent(double processEvent) {
67         this.processEvent = processEvent;
68     }
69
70     public long getQueueEvent() {
71         return queueEvent;
72     }
73
74     public void setQueueEvent(long queueEvent) {
75         this.queueEvent = queueEvent;
76     }
77
78     public Queue<Double> getHistory() {
79         return history;
80     }
81
82     public void setHistory(Queue<Double> history) {
83         this.history = history;
84     }
85
86     public Class<? extends ProcessingElement> getPE() {
87         return pe;
88     }
89
90     public void setPE(Class<? extends ProcessingElement> pe) {
91         this.pe = pe;
92     }
93
94     public int getReplication() {
95         return replication;
96     }
97
98     public void setReplication(int replication) {
99         this.replication = replication;
100     }
101
102     public Queue<Integer> getMarkMap() {
103         return markMap;
104     }
105
106     public void setMarkMap(Queue<Integer> markMap) {
```



```

107     this.markMap = markMap;
108 }
109
110 public long getEventCount() {
111     return eventCount;
112 }
113
114 public void setEventCount(long eventCount) {
115     this.eventCount = eventCount;
116 }
117
118 @Override
119 public String toString() {
120     return "[PE : " + pe.toString() + " | Recibe: " + recibeEvent
121         + " | Send: " + sendEvent + " | Replication: " + replication
122         + "]";
123 }
124
125 }

```

Código B.1: Clase StatusPE, el cual contiene las estadísticas de un PE específico.

En el Código B.2 se muestra la clase que almacena una arista con sus respectivos vértices del grafo, de esta manera, se posee un mapa del grafo, siendo utilizado para saber la topología que utilizó el usuario en el grafo. De esta manera, se puede tratar la replicación por parte de un operador a otro, viendo los distintos cambios que surgen en la topología del grafo.

```

1 public class TopologyApp {
2     private Class<? extends AdapterApp> adapter;
3     private Class<? extends ProcessingElement> peSend;
4     private Class<? extends ProcessingElement> peRecibe;
5     private long eventSend;
6
7     public TopologyApp() {
8         adapter = null;
9         peSend = null;
10        peRecibe = null;
11        eventSend = 0;
12    }
13
14    public Class<? extends AdapterApp> getAdapter() {
15        return adapter;
16    }
17
18    public void setAdapter(Class<? extends AdapterApp> adapter) {
19        this.adapter = adapter;
20    }
21
22    public Class<? extends ProcessingElement> getPeSend() {
23        return peSend;
24    }
25
26    public void setPeSend(Class<? extends ProcessingElement> peSend) {
27        this.peSend = peSend;
28    }
29
30    public Class<? extends ProcessingElement> getPeRecibe() {
31        return peRecibe;
32    }
33
34 }

```

```
34 public void setPeRecibe(Class<? extends ProcessingElement> peRecibe) {
35     this.peRecibe = peRecibe;
36 }
37
38 public long getEventSend() {
39     return eventSend;
40 }
41
42 public void setEventSend(long eventSend) {
43     this.eventSend = eventSend;
44 }
45
46 @Override
47 public String toString() {
48     return this.adapter == null ? "[PE Send: " + peSend.toString() + " | PE
49         Recibe: "
50         + peRecibe.toString() + " | Event: " + eventSend + "]" : "[
51         Adapter: " + adapter.toString() + " | PE Recibe: "
52         + peRecibe.toString() + " | Event: " + eventSend + "]" ;
53 }
```

Código B.2: Clase TopologyApp, el cual contiene las topología del grafo diseñado por el usuario.

ANEXO C. MODIFICACIONES AL CÓDIGO FUENTE DE S4

En el Código C.1 se presenta la implementanci3n de las tareas que est3n a cargo del env3o de estad3sticas al sistema de distribuci3n de carga, donde una de ellas est3 a cargo de obtener las muestras para el historial, y la otra est3 a cargo de enviar las estad3sticas de los PE existentes en el sistema. Adem3s de esto, para la ejecuci3n del sistema, se debe esperar que el *Adapter* est3 ejecut3ndose, por lo que espera la notificaci3n por parte de 3ste para la ejecuci3n de las tareas.

```
1 private void startMonitor() {
2     if (runMonitor) {
3         synchronized (getBlockAdapter()) {
4             try {
5                 getBlockAdapter().wait();
6             } catch (InterruptedException e) {
7                 getLogger().error(e.getMessage());
8             }
9
10            ScheduledExecutorService getEventCount = Executors
11                .newSingleThreadScheduledExecutor();
12            getEventCount.scheduleAtFixedRate(new OnTimeGetEventCount(),
13                1000, 1000, TimeUnit.MILLISECONDS);
14
15            ScheduledExecutorService sendStatus = Executors
16                .newSingleThreadScheduledExecutor();
17            sendStatus.scheduleAtFixedRate(new OnTimeSendStatus(), 6000,
18                5000, TimeUnit.MILLISECONDS);
19        }
20    } else {
21        ScheduledExecutorService sendStatus = Executors
22            .newSingleThreadScheduledExecutor();
23        sendStatus.scheduleAtFixedRate(new OnTimeSendStatus(), 6000, 5000,
24            TimeUnit.MILLISECONDS);
25    }
26 }
27 }
```

C3digo C.1: Tareas que ejecutan el sistema de distribuci3n de carga.

En el C3digo C.2 se muestra la implementaci3n que realizada para a3adir una r3plica a un PE en espec3fico. El tipo *StatusPE* hace referencia un objeto creado en la implementaci3n, para almacenar los datos y estad3sticas correspondientes al PE en el an3lisis de carga seg3n el sistema de distribuci3n de carga, como la cantidad de r3plicas deseadas.

```
1 public void addReplication(StatusPE statusPE) {
2     for (Streamable<Event> stream : getStreams()) {
3         for (ProcessingElement PEPrototype : stream.getTargetPEs()) {
4             if (PEPrototype.getClass().equals(statusPE.getPE())) {
5                 for (long i = PEPrototype.getNumPEInstances(); i < statusPE
6                     .getReplication(); i++) {
7                     PEPrototype.getInstanceForKey(Long.toString(i));
8                 }
9             }
10        }
11    }
12 }
```

C3digo C.2: A3adir r3plicas a un PE en S4.

En el Código C.3 se muestra la implementanci3n que realizada para eliminar una r3plica a un PE en espec3fico.

```
1 public void removeReplication(StatusPE statusPE) {  
2     for (Streamable<Event> stream : getStreams()) {  
3         for (ProcessingElement PEPrototype : stream.getTargetPEs()) {  
4             if (statusPE.getPE().equals(PEPrototype.getClass())) {  
5                 for (int i = statusPE.getReplication(); i < PEPrototype  
6                     .getInstances().size(); i++) {  
7                     ProcessingElement peCurrent = PEPrototype  
8                         .getInstanceForKey(Integer.toString(i));  
9                     peCurrent.close();  
10                }  
11            }  
12        }  
13    }  
14 }
```

C3digo C.3: Eliminar r3plicas a un PE en S4.

ANEXO D. CONFIGURACIÓN PARA LA COMUNICACIÓN DE S4

En la tabla D.1 se muestra los parámetros utilizados para la configuración para la comunicación de S4. La descripción de cada uno de los parámetros está en el proyecto de S4 en la carpeta de comunicación.

Tabla D.1: Parámetros de la configuración para la comunicación de S4.

| Parámetro | Valor |
|-------------------------------|---|
| s4.comm.emitter.class | org.apache.s4.comm.tcp.TCPEmitter |
| s4.comm.emitter.remote.class | org.apache.s4.comm.tcp.TCPRemoteEmitter |
| s4.comm.listener.class | org.apache.s4.comm.tcp.TCPListener |
| s4.comm.timeout | 1000 |
| s4.sender.parallelism | 5 |
| s4.sender.workQueueSize | 10000 |
| s4.sender.maxRate | 10000 |
| s4.remoteSender.parallelism | 5 |
| s4.remoteSender.workQueueSize | 100000 |
| s4.remoteSender.maxRate | 10000 |
| s4.emitter.maxPendingWrites | 1000 |
| s4.stream.workQueueSize | 1000000 |